

**ΥΠΟΥΡΓΕΙΟ ΠΕΡΙΒΑΛΛΟΝΤΟΣ ΚΑΙ ΕΝΕΡΓΕΙΑΣ
ΓΕΝ. Δ/ΝΣΗ ΠΕΡΙΒΑΛΛΟΝΤΙΚΗΣ ΠΟΛΙΤΙΚΗΣ
Δ/ΝΣΗ ΚΛΙΜΑΤΙΚΗΣ ΑΛΛΑΓΗΣ & ΠΟΙΟΤΗΤΑΣ ΑΤΜΟΣΦΑΙΡΑΣ
ΤΜΗΜΑ ΠΟΙΟΤΗΤΑΣ ΤΗΣ ΑΤΜΟΣΦΑΙΡΑΣ**

**ΕΤΗΣΙΑ ΕΚΘΕΣΗ ΠΟΙΟΤΗΤΑΣ ΤΗΣ ΑΤΜΟΣΦΑΙΡΑΣ
2018**

ΜΑΪΟΣ 2019

ΠΕΡΙΕΧΟΜΕΝΑ

ΕΙΣΑΓΩΓΗ	4
1. ΔΙΚΤΥΟ ΣΤΑΘΜΩΝ ΜΕΤΡΗΣΗΣ ΑΤΜΟΣΦΑΙΡΙΚΗΣ ΡΥΠΑΝΣΗΣ, ΠΟΥ ΤΗΝ ΕΥΘΥΝΗ ΛΕΙΤΟΥΡΓΙΑΣ ΤΟΥ ΕΧΕΙ ΤΟ ΥΠΕΝ	6
1.1 Σταθμοί μέτρησης.....	6
1.2 Μετρούμενοι ρύποι.....	8
1.3 Βαθμονόμηση αυτομάτων αναλυτών στους σταθμούς.....	8
1.4 Εθνικό Εργαστήριο Αναφοράς για την Ποιότητα της Ατμόσφαιρας.....	9
1.5 Συμμετοχή της Ελλάδας στη διεργαστηριακή άσκηση των εθνικών εργαστηρίων αναφοράς της ΕΕ	10
2. ΧΡΟΝΙΚΕΣ ΔΙΑΚΥΜΑΝΣΕΙΣ ΤΩΝ ΤΙΜΩΝ ΣΥΓΚΕΝΤΡΩΣΕΩΝ ΤΩΝ ΜΕΤΡΟΥΜΕΝΩΝ ΡΥΠΩΝ	12
2.1 Διαχρονική μεταβολή των συγκεντρώσεων των ρύπων	12
2.2 Μηνιαία μεταβολή των συγκεντρώσεων των ρύπων.....	20
2.3 Ημερήσια μεταβολή των συγκεντρώσεων των ρύπων	25
2.4 Ωριαία μεταβολή των συγκεντρώσεων των ρύπων	26
3. ΕΠΙΔΡΑΣΗ ΜΕΤΕΩΡΟΛΟΓΙΚΩΝ ΠΑΡΑΜΕΤΡΩΝ ΣΤΗ ΡΥΠΑΝΣΗ	31
4. ΝΟΜΟΘΕΣΙΑ ΣΧΕΤΙΚΑ ΜΕ ΤΗΝ ΠΟΙΟΤΗΤΑ ΑΤΜΟΣΦΑΙΡΑΣ	37
4.1 Αντιμετώπιση επεισοδίων ατμοσφαιρικής ρύπανσης.....	37
5. ΣΥΓΚΡΙΣΗ ΤΙΜΩΝ ΑΤΜΟΣΦΑΙΡΙΚΗΣ ΡΥΠΑΝΣΗΣ ΜΕ ΟΡΙΑ	39
5.1 Σωματίδια (ΑΣ ₁₀).....	39
5.2 Σωματίδια (ΑΣ _{2,5})	40
5.3 Διοξείδιο του θείου.....	40
5.4 Διοξείδιο του αζώτου.....	41
5.5 Όζον.....	41
5.6 Μονοξείδιο του άνθρακα	42
5.7 Βενζόλιο	42
6. ΑΞΙΟΛΟΓΗΣΗ ΤΗΣ ΑΤΜΟΣΦΑΙΡΙΚΗΣ ΡΥΠΑΝΣΗΣ ΤΗΣ ΑΘΗΝΑΣ	43
ΠΑΡΑΡΤΗΜΑ Ι	44
ΚΥΡΙΟΙ ΑΤΜΟΣΦΑΙΡΙΚΟΙ ΡΥΠΟΙ: ΠΕΡΙΓΡΑΦΗ, ΠΗΓΕΣ, ΕΠΙΔΡΑΣΕΙΣ.....	44
ΠΑΡΑΡΤΗΜΑ ΙΙ	50
ΔΙΑΧΡΟΝΙΚΗ ΜΕΤΑΒΟΛΗ ΜΕΣΩΝ ΕΤΗΣΙΩΝ ΤΙΜΩΝ ΑΤΜΟΣΦΑΙΡΙΚΗΣ ΡΥΠΑΝΣΗΣ	50
ΠΑΡΑΡΤΗΜΑ ΙΙΙ	60
ΜΕΣΕΣ ΜΗΝΙΑΙΕΣ ΤΙΜΕΣ ΑΤΜΟΣΦΑΙΡΙΚΗΣ ΡΥΠΑΝΣΗΣ ΓΙΑ ΤΟ ΕΤΟΣ 2018	60
ΠΑΡΑΡΤΗΜΑ ΙV	63
ΟΡΙΑ ΠΟΙΟΤΗΤΑΣ ΑΤΜΟΣΦΑΙΡΑΣ.....	63
ΠΑΡΑΡΤΗΜΑ V	66
ΣΥΝΟΠΤΙΚΑ ΣΤΑΤΙΣΤΙΚΑ ΣΤΟΙΧΕΙΑ ΑΤΜΟΣΦΑΙΡΙΚΗΣ ΡΥΠΑΝΣΗΣ ΓΙΑ ΤΟ ΕΤΟΣ 2018	66

ΠΑΡΑΡΤΗΜΑ VI.....	70
ΣΤΟΙΧΕΙΑ ΣΤΑΘΜΟΥ ΟΙΝΟΦΥΤΩΝ	70
ΠΑΡΑΡΤΗΜΑ VII.....	71
ΠΡΟΓΡΑΜΜΑ ΔΙΑΣΥΝΟΡΙΑΚΗΣ ΜΕΤΑΦΟΡΑΣ ΡΥΠΑΝΣΗΣ	71
(ΣΤΟΙΧΕΙΑ ΣΤΑΘΜΟΥ ΑΛΙΑΡΤΟΥ)	71
ΠΑΡΑΡΤΗΜΑ VIII.....	73
Σταθμοί μέτρησης ατμοσφαιρικής ρύπανσης του ΕΔΠΑΡ που την ευθύνη λειτουργία τους έχουν οι Περιφέρειες	73
Σύγκριση τιμών ατμοσφαιρικής ρύπανσης με όρια και διαχρονική εξέλιξη τιμών	77
1. Αιωρούμενα Σωματίδια (ΑΣ ₁₀).....	77
2. Διοξείδιο του θείου.....	78
3. Διοξείδιο του αζώτου.....	79
4. Οζόν.....	79
5. Μονοξείδιο του άνθρακα.....	80
6. Βενζόλιο.....	81
7. Αιωρούμενα Σωματίδια (ΑΣ _{2,5})	81
ΠΑΡΑΡΤΗΜΑ ΙΧ.....	85
ΧΑΡΤΟΓΡΑΦΙΚΗ ΑΠΕΙΚΟΝΙΣΗ ΠΟΙΟΤΗΤΑΣ ΤΟΥ ΑΕΡΑ.....	85
ΠΑΡΑΡΤΗΜΑ Χ.....	99
ΧΑΡΤΗΣ ΣΤΑΘΜΩΝ ΜΕΤΡΗΣΗΣ ΑΤΜΟΣΦΑΙΡΙΚΗΣ ΡΥΠΑΝΣΗΣ ΤΟΥ ΕΔΠΑΡ	99
LIST OF CAPTIONS.....	100
SUMMARY	102

ΕΙΣΑΓΩΓΗ

Σύμφωνα με την εθνική και κοινοτική νομοθεσία αποτελεί υποχρέωση της χώρας η λειτουργία δικτύου σταθμών μέτρησης της ατμοσφαιρικής ρύπανσης.

Για το σκοπό αυτό και με πόρους του Β΄ ΚΠΣ, στο πλαίσιο του Επιχειρησιακού προγράμματος «ΠΕΡΙΒΑΛΛΟΝ», το ΥΠΕΝ ως ΥΠΕΧΩΔΕ αναβάθμισε σταθμούς του λεκανοπεδίου των Αθηνών και άλλων πόλεων, που ήδη λειτουργούσαν, και παράλληλα εγκατέστησε νέους σταθμούς σε μεγάλες πόλεις, δημιουργώντας το Εθνικό Δίκτυο Παρακολούθησης της Ατμοσφαιρικής Ρύπανσης (ΕΔΠΑΡ). Το ΕΔΠΑΡ ξεκίνησε να λειτουργεί από το 2000. Στο Παράρτημα Χ βρίσκεται σχετικός χάρτης με τους σταθμούς μέτρησης του ΕΔΠΑΡ.

Το 2015, με πόρους του ΕΣΠΑ 2007-2013 στο πλαίσιο του ΕΠΠΕΡΑΑ αναβαθμίστηκαν οι σταθμοί του ΕΔΠΑΡ που λειτουργεί το ΥΠΕΝ με νέους αναλυτές μέτρησης ατμοσφαιρικής ρύπανσης, πιστοποιημένους σύμφωνα με τα ευρωπαϊκά πρότυπα και αυξήθηκαν οι θέσεις μέτρησης αιωρούμενων σωματιδίων (ΑΣ₁₀ και ΑΣ_{2.5}) και βενζολίου.

Το Τμήμα Ποιότητας Ατμόσφαιρας, που ανήκει στη Δ/ση Κλιματικής Αλλαγής και Ποιότητας Ατμόσφαιρας (ΚΑΠΑ) του ΥΠΕΝ είναι υπεύθυνο για τη λειτουργία του δικτύου μέτρησης ατμοσφαιρικής ρύπανσης της περιοχής Αττικής.

Την ευθύνη της λειτουργίας των υπόλοιπων σταθμών του ΕΔΠΑΡ είχαν οι υπηρεσίες των πρώην Περιφερειών, σύμφωνα με το Ν. 2647/1998 (ΦΕΚ 237/Α). Ειδικότερα για τους σταθμούς που είναι εγκατεστημένοι στο Βόλο και τη Λάρισα τη λειτουργία τους είχαν αναλάβει οι αντίστοιχες Νομαρχιακές Αυτοδιοικήσεις, μέχρι το 2010. Με την εφαρμογή του Προγράμματος Καλλικράτης με το Ν. 3852/2010 (ΦΕΚ 87/Α) και της ΚΥΑ ΗΠ 14122/549/Ε.103/2011 (ΦΕΚ 488/Β) οι αρμοδιότητες που αφορούν στην εγκατάσταση και τη λειτουργία σταθμών παρακολούθησης της ποιότητας της ατμόσφαιρας μεταβιβάστηκαν από τις Αποκεντρωμένες Διοικήσεις στις Περιφέρειες της χώρας.

Στην παρούσα έκθεση περιέχεται η ανάλυση των στοιχείων μετρήσεων από τους σταθμούς του ΕΔΠΑΡ, που την ευθύνη λειτουργίας τους έχει το ΥΠΕΝ, για το 2018, καθώς και η διαχρονική εξέλιξη από το 1984.

Επίσης, στο ΠΑΡΑΡΤΗΜΑ VIII περιέχονται στοιχεία από τους σταθμούς μέτρησης του ΕΔΠΑΡ, που την ευθύνη λειτουργίας τους έχουν οι υπηρεσίες των Περιφερειών ενώ στο ΠΑΡΑΡΤΗΜΑ ΙΧ παρουσιάζονται μετρήσεις σε όλη τη χώρα για το 2015 καθώς και αποτελέσματα μοντέλου στο πλαίσιο χαρτογραφικής απεικόνισης της ποιότητας της ατμόσφαιρας στον Ελλαδικό χώρο.

Η έκθεση είναι διαθέσιμη σε ηλεκτρονική μορφή στην ιστοσελίδα του ΥΠΕΝ, <http://www.ypeka.gr>.

Τα αναλυτικά στοιχεία των μετρήσεων ατμοσφαιρικής ρύπανσης για το 2018 είναι διαθέσιμα στην ιστοσελίδα του Υπουργείου <http://www.ypeka.gr>. Στις ιστοσελίδες αυτές είναι επίσης διαθέσιμα τα αναλυτικά στοιχεία των προηγούμενων ετών από το 1984.

Σύνταξη και επιμέλεια έκθεσης:

Ειρήνη Τσιλιμπάρη
Αναστάσιος Αδαμόπουλος
Βασιλική Ματθαίου
Ελευθερία Σαμαρά

Ποιοτικός έλεγχος και τελική επεξεργασία των στοιχείων μετρήσεων:

Ειρήνη Τσιλιμπάρη
Αναστάσιος Αδαμόπουλος

Τεχνική υποστήριξη του δικτύου μετρήσεων (όπου την ευθύνη λειτουργίας του έχει το ΥΠΕΝ):

Διονύσιος Κωνσταντινίδης
Κων/νος Χαλάς
Γιώργος Μπακαλούδης

Υποστήριξη IT:

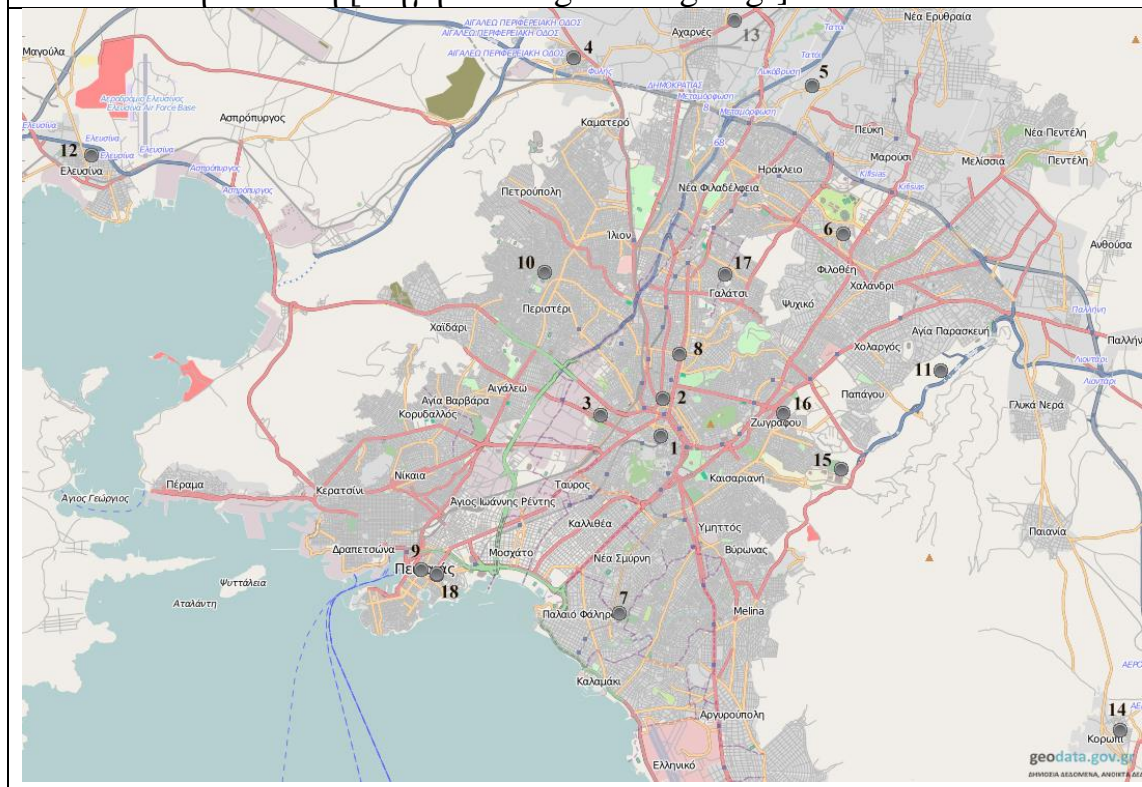
Αθανάσιος Βάρσος

1. Δίκτυο σταθμών μέτρησης ατμοσφαιρικής ρύπανσης, που την ευθύνη λειτουργίας του έχει το ΥΠΕΝ

1.1 Σταθμοί μέτρησης

Το 2018, η Δ/ση ΚΑΠΑ (Τμήμα Ποιότητας Ατμόσφαιρας), λειτούργησε δεκατέσσερις σταθμούς μέτρησης ατμοσφαιρικής ρύπανσης στην περιοχή Αττικής (βλ. χάρτης 1.1), καθώς και ένα σταθμό στην Αλιάρτο Βοιωτίας για τις ανάγκες του Προγράμματος Διασυνοριακής Μεταφοράς της Ρύπανσης (EMEP).

Χάρτης 1.1 Χάρτης σταθμών μέτρησης ατμοσφαιρικής ρύπανσης του ΕΔΠΑΡ στην Αττική [Πηγή: www.geodata.gov.gr]



Στον Πίνακα 1.1 εμφανίζονται οι θέσεις των σταθμών αυτών, ο χαρακτηρισμός τους και οι ρύποι που μετρούνται ανά σταθμό.

Πίνακας 1.1. Χαρακτηριστικά σταθμών μέτρησης ατμοσφαιρικής ρύπανσης του ΕΔΠΑΡ, που την ευθύνη λειτουργίας τους έχει το ΥΠΕΝ

Σταθμός						Μετρούμενοι ρύποι							
Όνομα	Θέση				Υψόμετρο (m –asl)	Χαρακτηρισμός	SO ₂	NO _x	CO	O ₃	ΑΣ ₁₀	ΑΣ _{2,5}	C ₆ H ₆
	WGS84		ΕΓΣΑ87										
	Γεωγρ. Μήκος	Γεωγρ. Πλάτος	X (m)	Y(m)									
Αθηνάς [1]	23° 43' 30'',56	37° 58' 32'',19	475861,4	4203144,21	75	Αστικός-Κυκλοφορίας	v	v	v	v			
Αριστοτέλους [2]	23° 43' 33'',34	37° 59' 07'',67	475932,35	4204237,61	75	Αστικός-Κυκλοφορίας	v	v			v	v	
Γεωπονική [3]	23° 42' 12'',44	37° 58' 53'',42	473957,7	4203804,36	40	Περισστικός- Βιομηχανικός		v	v	v			
Λιόσια [4]	23° 41' 45'',93	38° 04' 26'',92	473344,48	4214085,13	165	Περισστικός-Υποβάθρου		v		v	v		
Λυκόβρυση* [5]	23° 47' 14'',24	38° 03' 54'',72	481341,08	4213070,48	234	Περισστικός-Υποβάθρου		v		v	v	v	
Μαρούσι [6]	23° 47' 08'',41	38° 01' 41'',68	481189,53	4208970,47	170	Αστικός-Κυκλοφορίας		v	v	v	v		
Νέα Σμύρνη [7]	23° 42' 40'',77	37° 55' 45'',83	474630,7	4198020,95	50	Αστικός-Υποβάθρου		v	v	v	v		v
Πατησίων [8]	23° 43' 52'',87	37° 59' 49'',17	476412,51	4205515,17	105	Αστικός-Κυκλοφορίας	v	v	v	v			v
Πειραιάς I** [9]	23° 38' 36'',75	37° 56' 31'',40	468679,3	4199445,93	4	Αστικός-Κυκλοφορίας	v	v	v	v	v	v	v
Περιστερί [10]	23° 41' 12'',01	38° 01' 05'',56	472497,21	4207882,04	80	Αστικός-Υποβάθρου		v		v	v		
Αγ. Παρασκευή [11]	23° 49' 03'',82	37° 59' 33'',05	483995,32	4205000,11	290	Περισστικός-Υποβάθρου		v		v	v	v	
Ελευσίνα [12]	23° 32' 12'',27	38° 02' 55'',39	459353,92	4211321,8	20	Περισστικός- Βιομηχανικός	v	v		v	v	v	v
Θρακομα- κεδόνες [13]	23° 45' 23'',37	38° 08' 27'',34	478661,66	4221479,46	550	Περισστικός-Υποβάθρου		v		v	v	v	
Κορωπί [14]	23° 52' 38'',40	37° 53' 55'',36	489215,4	4194584,06	140	Περισστικός-Υποβάθρου	v	v		v	v		
Οινόφυτα	23° 38' 14'',22	38° 18' 12'',85	468286,03	4239559,63	100	Περισστικός- Βιομηχανικός	v	v		v	v		
Αλιάρτος	23° 06' 31'',02	38° 22' 21'',68	422136,04	4247542,97	110	Υποβάθρου	v	v		v	v	v	
Παλαιότεροι σταθμοί													
Ζωγράφου [15]	23° 47' 06'',26	37° 58' 01'',37	481121,43	4202180,74	245	Περισστικός-Υποβάθρου		v		v	v		
Γουδή [16]	23° 45' 56'',41	37° 58' 53'',90	479421,17	4203803,65	155	Αστικός-Κυκλοφορίας		v			v	v	
Γαλάτσι [17]	23° 44' 49'',08	38° 01' 11'',60	477790,29	4208051,96	154	Περισστικός-Υποβάθρου	v	v		v			
Πειραιάς II [18]	23° 39' 03'',80	37° 56' 21'',80	469338,25	4199147,56	25	Αστικός-Υποβάθρου	v	v		v			

*Από τον Απρίλιο του 2011 ο σταθμός λειτουργεί σε νέα θέση ** Από το Σεπτέμβριο του 2012 ο σταθμός λειτουργεί σε νέα θέση

1.2 Μετρούμενοι ρύποι

Οι μετρούμενοι ρύποι καθώς και οι μέθοδοι που χρησιμοποιούνται φαίνονται στον Πίνακα 1.2. Η μέτρηση των ρύπων γίνεται σε συνεχή βάση καθ' όλη τη διάρκεια του 24ώρου. Ο χρόνος απόκρισης των αυτομάτων αναλυτών είναι της τάξης του ενός λεπτού, δηλαδή ο κάθε αναλυτής δίνει μια τιμή περίπου κάθε λεπτό. Με ένα μικροεπεξεργαστή, που βρίσκεται σε κάθε αυτόματο σταθμό και που είναι συνδεδεμένος με τους αυτόματους αναλυτές, υπολογίζονται κάθε ώρα οι μέσες ωριαίες τιμές ρύπανσης. Οι τιμές αυτές μεταβιβάζονται στον κεντρικό υπολογιστή της Υπηρεσίας, μέσω τηλεφωνικής γραμμής και με αυτό τον τρόπο είναι δυνατή η συνεχής παρακολούθηση των επιπέδων ατμοσφαιρικής ρύπανσης της περιοχής.

Πίνακας 1.2. Μετρούμενοι ρύποι και μέθοδοι μέτρησης.

Ρύπος	Μέθοδος μέτρησης
Μονοξειδίο του άνθρακα (CO)	Απορρόφηση στο υπέρυθρο (NDIR)
Οξειδία του αζώτου (NO, NO ₂)	Χημειοφωταύγεια
Όζον (O ₃)	Απορρόφηση στο υπεριώδες
Διοξείδιο του θείου (SO ₂)	Φθορισμομετρία
Αιωρούμενα σωματίδια (AΣ ₁₀ ¹ -AΣ _{2,5} ²)	Απορρόφηση β ακτινοβολίας
Βενζόλιο (C ₆ H ₆)	Αέρια χρωματογραφία (GC)
Βαρέα μέταλλα	Ατομική απορρόφηση

1.3 Βαθμονόμηση αυτομάτων αναλυτών στους σταθμούς

Οι αναλυτές των αερίων ελέγχονται σύμφωνα με τα αντίστοιχα ευρωπαϊκά τεχνικά πρότυπα EN ή και ISO ως προς τη γραμμικότητα, την ολίσθηση μηδενός και κλίμακας και την επαναληψιμότητα.

Η βαθμονόμηση περιλαμβάνει τον έλεγχο της καλής λειτουργίας των οργάνων και τη ρύθμισή τους. Η βαθμονόμηση βασίζεται στη διαβίβαση μέσω του οργάνου αερίου, με γνωστή συγκέντρωση του αντίστοιχου ρύπου. Η παρασκευή αυτή του πρότυπου αερίου, γίνεται με διάταξη δυναμικής αραίωσης, που συνδέεται αφενός με μία πηγή "καθαρού" αέρα και αφετέρου με φιάλη που περιέχει μίγμα του εν λόγω αερίου με άζωτο σε γνωστή πρότυπη συγκέντρωση. Ο "καθαρός αέρας", δηλαδή αέρας απαλλαγμένος από τους κύριους ρύπους, παράγεται διαβιβάζοντας αέρα μέσα από ειδικά φίλτρα συγκράτησης των ρύπων. Μεταβάλλοντας την παροχή του "καθαρού" αέρα και του αερίου της φιάλης είναι δυνατή η επίτευξη μιγμάτων αερίων που περιέχουν τον αντίστοιχο ρύπο σε γνωστές συγκεντρώσεις.

Η βαθμονόμηση των αναλυτών όζοντος πραγματοποιείται με μεταφερόμενο πρότυπο Β' βαθμίδας στους σταθμούς με τη μέθοδο της σύγκρισης.

¹ AΣ₁₀: Αιωρούμενα σωματίδια με ισοδύναμη αεροδυναμική διάμετρο έως 10μm(PM₁₀)

² AΣ_{2,5}: Αιωρούμενα σωματίδια με ισοδύναμη αεροδυναμική διάμετρο έως 2,5μm(PM_{2,5})

Η βαθμονόμηση των αναλυτών αιωρούμενων σωματιδίων βασίζεται στην απορρόφηση της β-ακτινοβολίας από πρότυπο δείγμα γνωστής συγκέντρωσης.

Οι διαδικασίες της βαθμονόμησης γίνονται σε τακτά χρονικά διαστήματα, όπως αυτά αναφέρονται στα ισχύοντα τεχνικά πρότυπα, ή μετά τη συντήρηση ή επισκευή ενός αναλυτή.

1.4 Εθνικό Εργαστήριο Αναφοράς για την Ποιότητα της Ατμόσφαιρας

Πρόκειται για εργαστήριο αναφοράς για διακριβώσεις και μετρήσεις ατμοσφαιρικής ρύπανσης που καλύπτει με τον πρότυπο εξοπλισμό του τις απαιτήσεις σε διακριβώσεις, βαθμονομήσεις Α΄ βαθμίδας και ελέγχους το Εθνικό Δίκτυο Παρακολούθησης Ατμοσφαιρικής Ρύπανσης (ΕΔΠΑΡ). Είναι διαπιστευμένο εργαστήριο διακριβώσεων και δοκιμών (αρ. πιστοπ. 960) κατά ΕΛΟΤ EN ISO 17025 από τον εθνικό φορέα διαπίστευσης, το ΕΣΥΔ.



Δοκιμές/Διακριβώσεις
Αρ. Πιστ. 960

Τα πεδίο διαπίστευσης αφορά τις εξής διακριβώσεις:

- Προσδιορισμός της σύστασης αερίων μιγμάτων (CO, NO, SO₂) σε φιάλες αερίων με τη μέθοδο της στατικής αραίωσης (ΕΛΟΤ EN ISO 6143 και ΕΛΟΤ EN ISO 6144)
- Ροή αερίου (ΕΛΟΤ EN ISO 6145-1)

Τα πεδίο διαπίστευσης αφορά τις εξής δοκιμές:

- Βαθμονόμηση αναλυτών όζοντος και μεταφρερόμενων προτύπων με τη φωτομετρική μέθοδο αναφοράς (ISO 13964)
- Δειγματοληψία και προσδιορισμός των κλασμάτων PM₁₀ και PM_{2,5} των αιωρούμενων σωματιδίων (ΕΛΟΤ EN 12341)

1.4.1 Προσδιορισμός της σύστασης αερίων μιγμάτων (CO, NO, SO₂) σε φιάλες αερίων με τη μέθοδο της στατικής αραίωσης

Για τη βαθμονόμηση των αναλυτών SO₂, NO_x και CO στους σταθμούς μέτρησης, απαιτείται παρασκευή πρότυπου αερίου. Αυτή επιτυγχάνεται με διάταξη δυναμικής αραίωσης, που συνδέεται αφενός με μία πηγή "καθαρού" αέρα και αφετέρου με φιάλη που περιέχει μίγμα του εν λόγω αερίου με άζωτο σε γνωστή πρότυπη συγκέντρωση.

Η συγκέντρωση της φιάλης, όμως, πρέπει να επαναπροσδιορίζεται. Για το λόγο αυτό, οι φιάλες όλων των σταθμών μέτρησης συλλέγονται στο εργαστήριο κάθε εξάμηνο. Η διαδικασία προσδιορισμού της συγκέντρωσης του αερίου περιλαμβάνει παραγωγή μίγματος SO₂, NO ή CO (ανάλογα με το αέριο της υπό διακρίβωση φιάλης) σε καθαρό αέρα στη μονάδα στατικής αραίωσης του εργαστηρίου με τη μέθοδο στατικής αραίωσης κατά τα πρότυπα ΕΛΟΤ EN ISO 6143 και ΕΛΟΤ EN ISO 6144. Για τον έλεγχο του μηδενός στον αναλυτή του αερίου, διαβιβάζεται καθαρός αέρας από το θάλαμο της

μονάδας στατικής αραίωσης ο οποίος έχει πληρωθεί από τη μονάδα καθαρού αέρα. Στη συνέχεια, σε ατμοσφαιρικές συνθήκες πίεσης και θερμοκρασίας, πραγματοποιείται έγχυση του προτύπου αερίου συγκεκριμένου όγκου με βαθμονομημένη σύριγγα στο θάλαμο γνωστού όγκου της μονάδας στατικής αραίωσης, πληρωμένου με καθαρό αέρα. Μεταβάλλοντας την πίεση του αερίου μίγματος εντός του θαλάμου δημιουργείται η συγκέντρωση SPAN στο 90% της κλίμακας του αναλυτή και το αέριο μίγμα διαβιβάζεται στον αναλυτή για τη βαθμονόμησή του. Η επαλήθευση της βαθμονόμησης πραγματοποιείται με τρεις επαναλήψεις.

Ο προσδιορισμός της σύστασης του αερίου μίγματος της φιάλης πραγματοποιείται με τον βαθμονομημένο αναλυτή αερίου με μέθοδο δυναμικής αραίωσης. Για τη δυναμική αραίωση χρησιμοποιείται βαθμονομητής δυο ροομέτρων τα οποία έχουν διακριβωθεί με τα πρότυπα ροόμετρα του εργαστηρίου. Η επαλήθευση της διακρίβωσης πραγματοποιείται με τρεις επαναλήψεις.

1.4.2 Διακρίβωση ροομέτρων αερίου

Τα βαθμονομητικά των σταθμών συλλέγονται ετησίως στο Εργαστήριο Ποιότητας Ατμόσφαιρας με σκοπό τη διακρίβωση των δυο ροομέτρων που διαθέτουν.

Τα υπό διακρίβωση ροόμετρα παραμένουν στο χώρο της διακρίβωσης για εξισορρόπηση της θερμοκρασίας τους για τουλάχιστον 24 ώρες. Η διαδικασία περιλαμβάνει διαβίβαση καθαρού αέρα, ο οποίος παράγεται από μονάδα καθαρού αέρα, στο πρότυπο ροόμετρο αναφοράς του εργαστηρίου και στο ροόμετρο του βαθμονομητή (ΕΛΟΤ EN ISO 6145-1 και ΕΛΟΤ EN ISO 6145-7). Η διακρίβωση της ροής πραγματοποιείται με σύγκριση των τιμών των πρότυπων εργαστηριακών ροομέτρων με τα υπό διακρίβωση ροόμετρα του βαθμονομητή. Οι ενδείξεις των πρότυπων ροομέτρων καθώς και των ροομέτρων υπό διακρίβωση ανάγονται σε κανονικές συνθήκες πίεσης και θερμοκρασίας (1013,25hPa και 0°C). Η διακρίβωση περιλαμβάνει έλεγχο των ροομέτρων σε όλο το εύρος λειτουργίας τους. Η επαλήθευση της διακρίβωσης πραγματοποιείται με δέκα επαναλήψεις για κάθε τιμή ροής.

1.4.3 Βαθμονόμηση αναλυτών όζοντος και μεταφερόμενων προτύπων με τη φωτομετρική μέθοδο αναφοράς

Το μεταφερόμενο πρότυπο όζοντος με το οποίο πραγματοποιείται η βαθμονόμηση αναλυτών όζοντος στους σταθμούς, βαθμονομείται στο εργαστήριο με πρότυπο φωτόμετρο όζοντος (βαθμονόμηση Α΄ βαθμίδας-primary UV calibration) με τη φωτομετρική μέθοδο αναφοράς (ISO 13964). Το πρότυπο αυτό φωτόμετρο μετρά το κλάσμα της υπεριώδους ακτινοβολίας, εκπεμπόμενης από λάμπα Hg, το οποίο απορροφήθηκε από το όζον σε οπτική διαδρομή 3 μέτρων. Η βαθμονόμηση πραγματοποιείται σε όλο το εύρος έντασης της λάμπας και η επαλήθευση της σύγκρισης πραγματοποιείται με τρεις επαναλήψεις για κάθε μια συγκέντρωση που παράγει η γεννήτρια όζοντος.

1.5 Συμμετοχή της Ελλάδας στη διεργαστηριακή άσκηση των εθνικών εργαστηρίων αναφοράς της ΕΕ

Το Εθνικό Εργαστήριο Αναφοράς για την Ποιότητα της Ατμόσφαιρας είναι μέλος του δικτύου AQUILA των Ευρωπαϊκών Εργαστηρίων Αναφοράς, το οποίο είναι όργανο της Ευρωπαϊκής Επιτροπής που διοργανώνει διεργαστηριακές ασκήσεις με σκοπό τον έλεγχο, την ομογενοποίηση και της διασφάλιση της ποιότητας των δεδομένων

ατμοσφαιρικής ρύπανσης σε όλα τα κράτη μέλη της ΕΕ. Έτσι, υλοποιώντας την υποχρέωση της χώρας σύμφωνα με την Ευρωπαϊκή Οδηγία 2008/50/ΕΚ, το Εθνικό Εργαστήριο Αναφοράς για την Ποιότητα της Ατμόσφαιρας συμμετείχε με προσωπικό και μετρητικό εξοπλισμό στη διεργαστηριακή άσκηση των εργαστηρίων αναφοράς που πραγματοποιήθηκε το χρονικό διάστημα 13-16 Ιουνίου 2016 στο Ευρωπαϊκό Εργαστήριο Αναφοράς ERLAP/Joint Research Center στο Ίσπρα της Ιταλίας.

Συγκριτικές δοκιμασίες πραγματοποιήθηκαν σε ένα εύρος διαφορετικών συγκεντρώσεων για τους αέριους ρύπους (CO, NO, NO₂, SO₂, O₃) με επιτυχή αποτελέσματα για τη χώρα.

2. Χρονικές διακυμάνσεις των τιμών συγκεντρώσεων των μετρούμενων ρύπων

2.1 Διαχρονική μεταβολή των συγκεντρώσεων των ρύπων

Στο Παράρτημα II, δίνονται οι αναλυτικοί Πίνακες, με τις διαχρονικές μεταβολές των μέσων ετησίων τιμών, των συγκεντρώσεων όλων των μετρούμενων ρύπων, ανά σταθμό μέτρησης, ενώ οι αντίστοιχες γραφικές παραστάσεις, δίνονται στα επόμενα Σχήματα. Η διαχρονική εξέλιξη των τιμών δείχνει ότι, παρόλο που υπάρχουν στις διάφορες θέσεις, αυξομειώσεις των μέσων ετήσιων τιμών ρύπανσης από χρόνο σε χρόνο, υπάρχει τάση πτωτική ή τάση σταθεροποίησης, ανάλογα με το ρύπο. Η εξέλιξη αυτή μπορεί να αποδοθεί, κυρίως στην τεχνολογική αναβάθμιση του στόλου των Ι.Χ. αυτοκινήτων και των Μέσων Μαζικής Μεταφοράς, στην εφαρμογή του μέτρου της κάρτας ελέγχου καυσαερίων (ΚΕΚ), στα μέτρα ελέγχου εκπομπής ρύπων από διάφορες πηγές, στη χρήση καυσίμων με καλύτερες τεχνικές προδιαγραφές, στη λειτουργία των μέσων σταθερής τροχιάς, στη διευκόλυνση της κυκλοφορίας των Μέσων Μαζικής Μεταφοράς, στη διεύθυνση του φυσικού αερίου στον οικιακό, βιομηχανικό και τριτογενή τομέα, στην ολοκλήρωση των μεγάλων κυκλοφοριακών έργων κ.λ.π.

Ειδικά για κάθε ρύπο παρατηρούμε τα εξής:

I. Για το μονοξείδιο του άνθρακα (Σχήματα 2.1α & β), παρουσιάζεται γενικά τάση μείωσης των τιμών.

II. Για το διοξείδιο του θείου (Σχήματα 2.2α & β), υπάρχει σημαντική τάση μείωσης των τιμών που συνδέεται με τις μειώσεις της περιεκτικότητας του θείου τόσο στο πετρέλαιο κίνησης και θέρμανσης όσο και στην αμόλυβδη βενζίνη.

III. Για το βενζόλιο (Σχήμα 2.3), μέχρι το 2014 παρατηρείται τάση μείωσης των συγκεντρώσεων σε σχέση με τα προηγούμενα χρόνια, ενώ το 2015 παρατηρήθηκε αύξηση της τιμής συγκέντρωσης και στη συνέχεια τάση σταθεροποίησης.

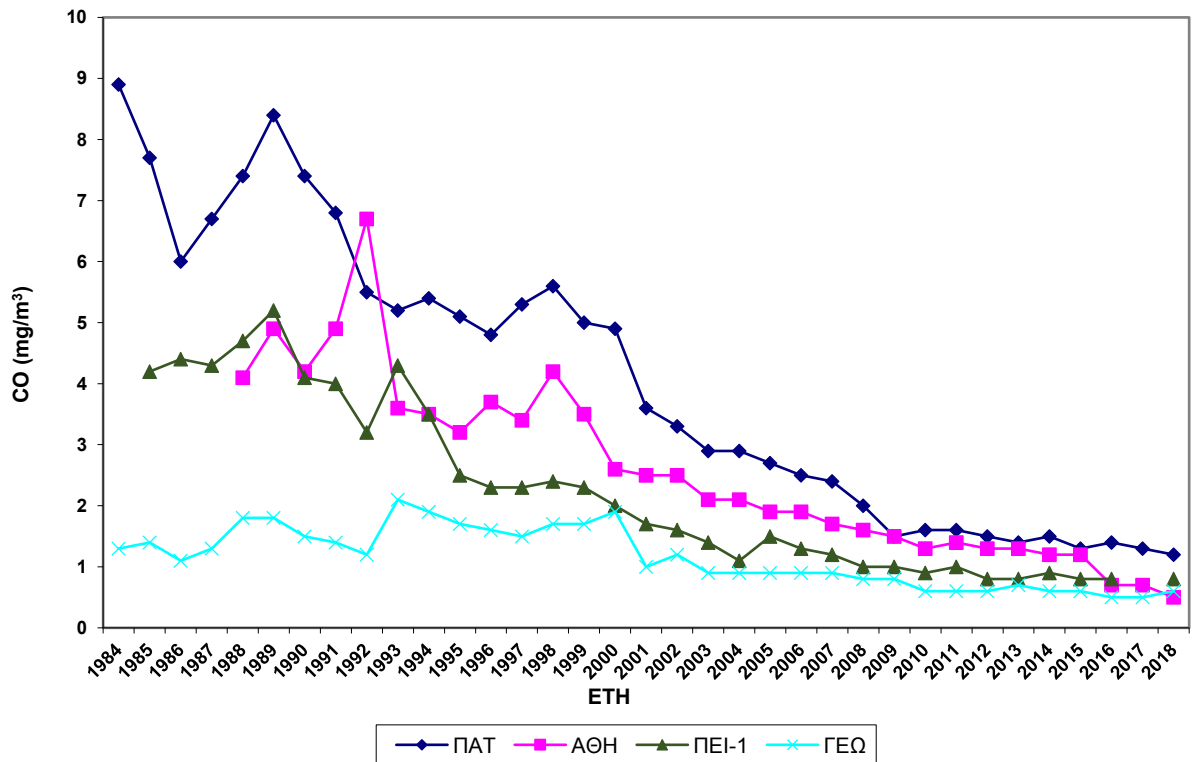
IV. Για το μονοξείδιο του αζώτου (Σχήματα 2.4α & β), υπάρχει τάση μικρής μείωσης των τιμών.

V. Για το διοξείδιο του αζώτου (Σχήματα 2.5α & β), υπάρχει τάση μείωσης ή σταθεροποίησης των τιμών τα τελευταία χρόνια, ανάλογα με τη θέση μέτρησης.

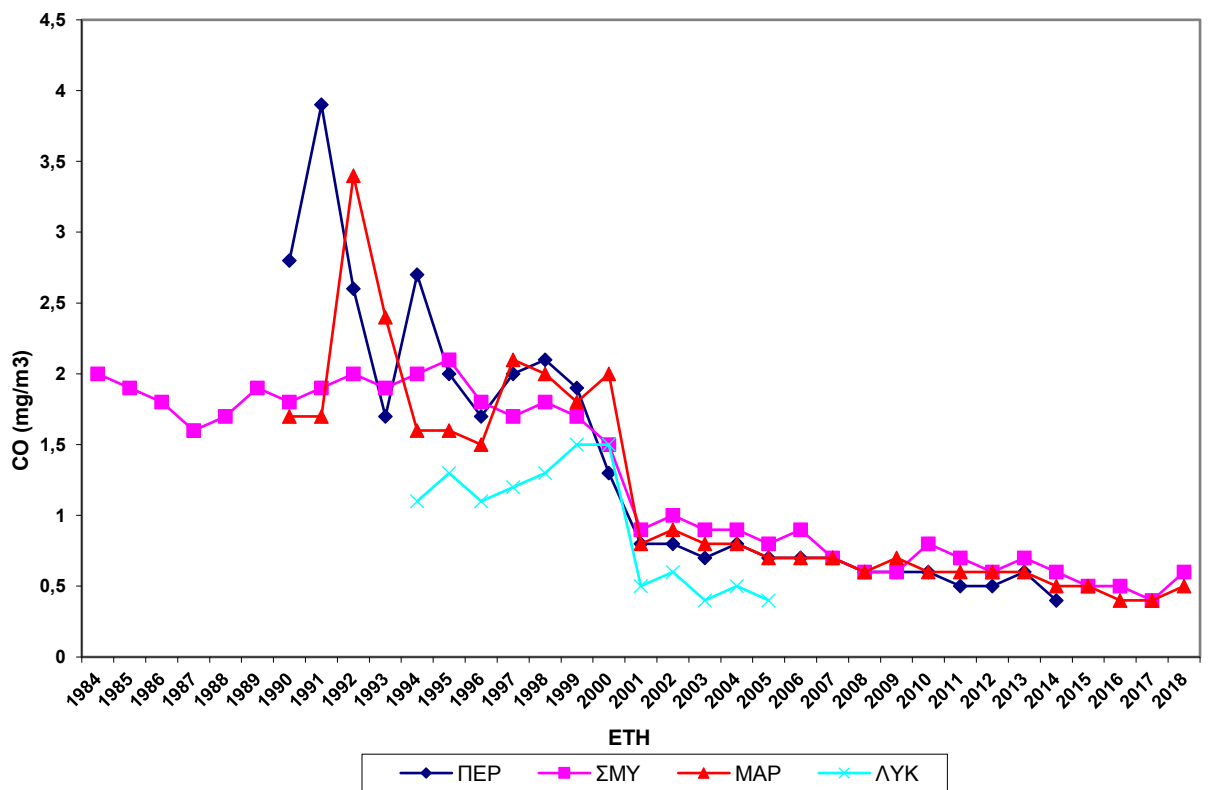
VI. Για το όζον (Σχήματα 2.6α & β) υπάρχει γενικώς μια τάση σταθεροποίησης των τιμών με έντονη διακύμανση από έτος σε έτος σε κάποιους σταθμούς, λόγω της φύσης του ρύπου.

VII. Για τα αιωρούμενα σωματίδια (AS_{10}) (Σχήματα 2.7α & β), γενικά παρατηρείται μικρή μείωση στις τιμές ρύπανσης από το ρύπο αυτό ή σταθεροποίηση.

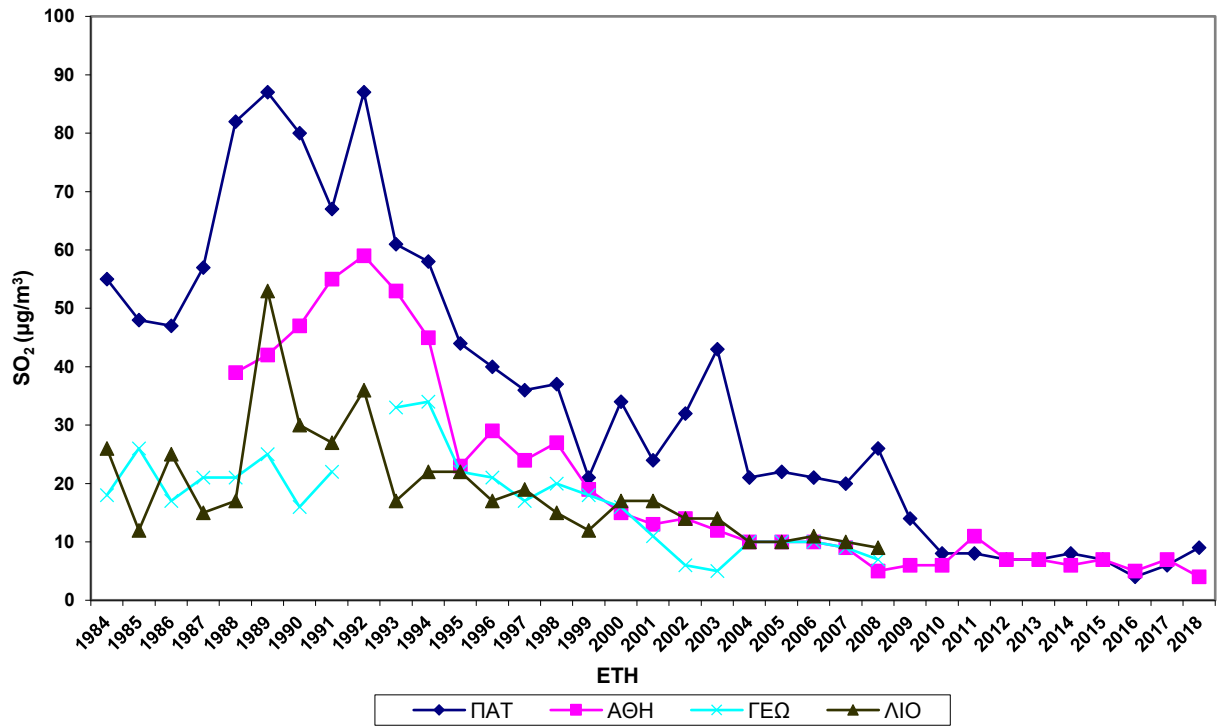
VIII. Για τα αιωρούμενα σωματίδια ($AS_{2,5}$) (Σχήμα 2.8) παρατηρείται μικρή τάση μείωσης των τιμών ή σταθεροποίησης.



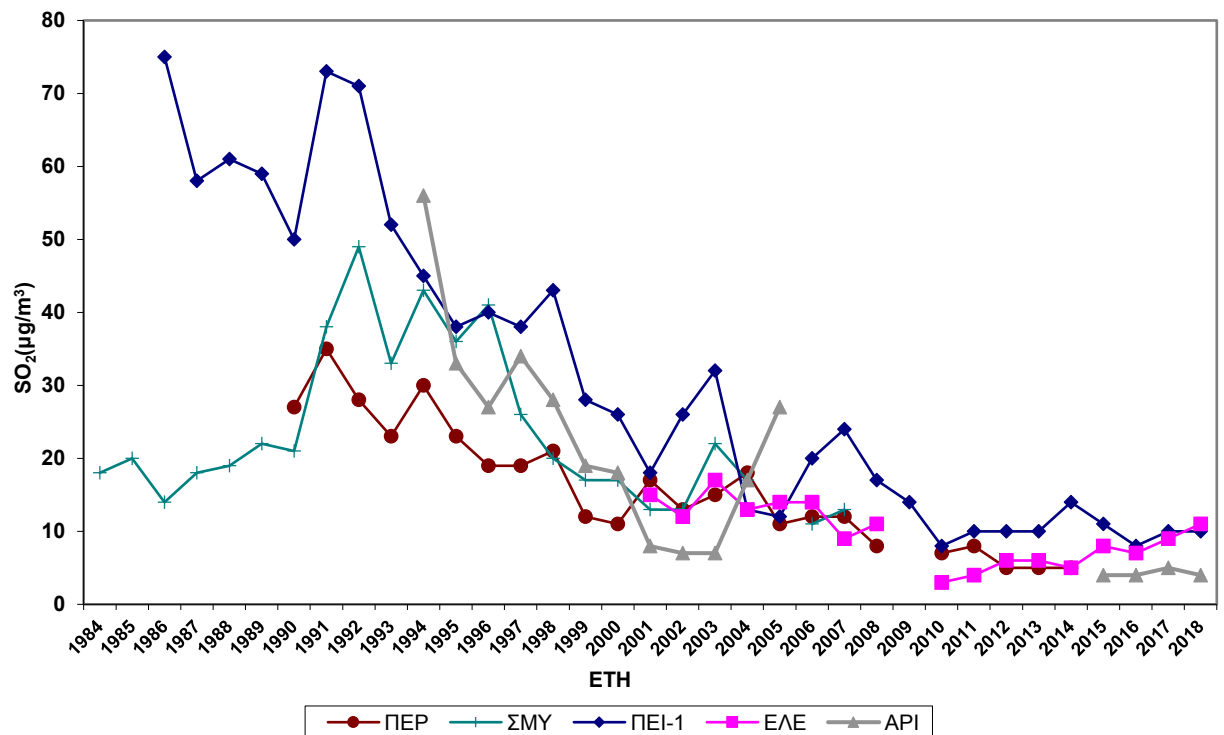
Σχήμα 2.1.α Διαχρονική μεταβολή μέσωσν ετησίων τιμών CO, σε mg/m³.



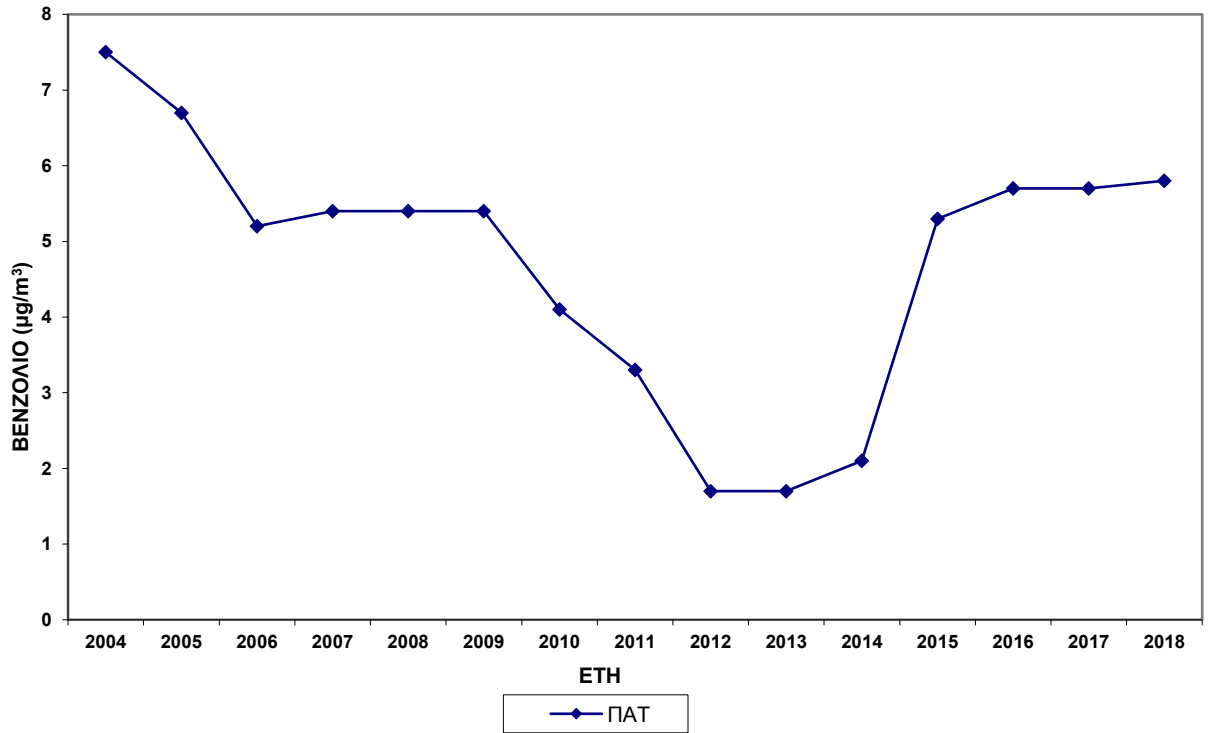
Σχήμα 2.1.β Διαχρονική μεταβολή μέσωσν ετησίων τιμών CO, σε mg/m³.



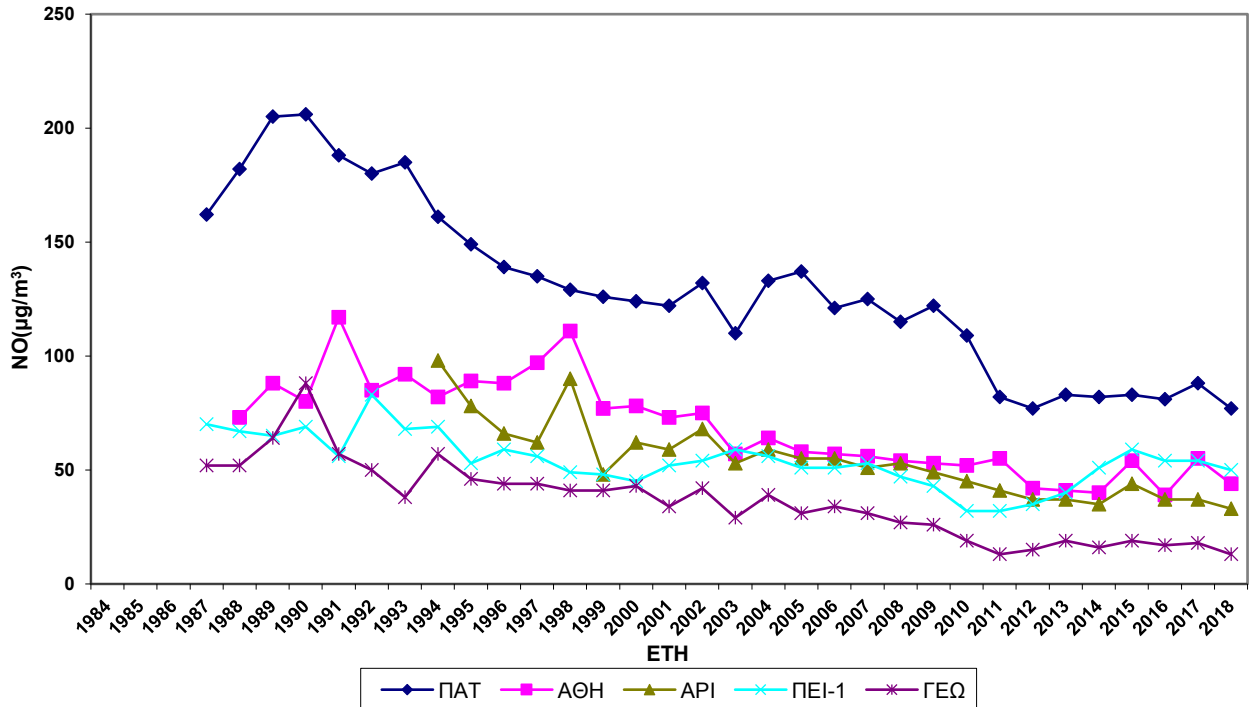
Σχήμα 2.2.α Διαχρονική μεταβολή μέσω των ετήσιων τιμών SO₂, σε µg/m³.



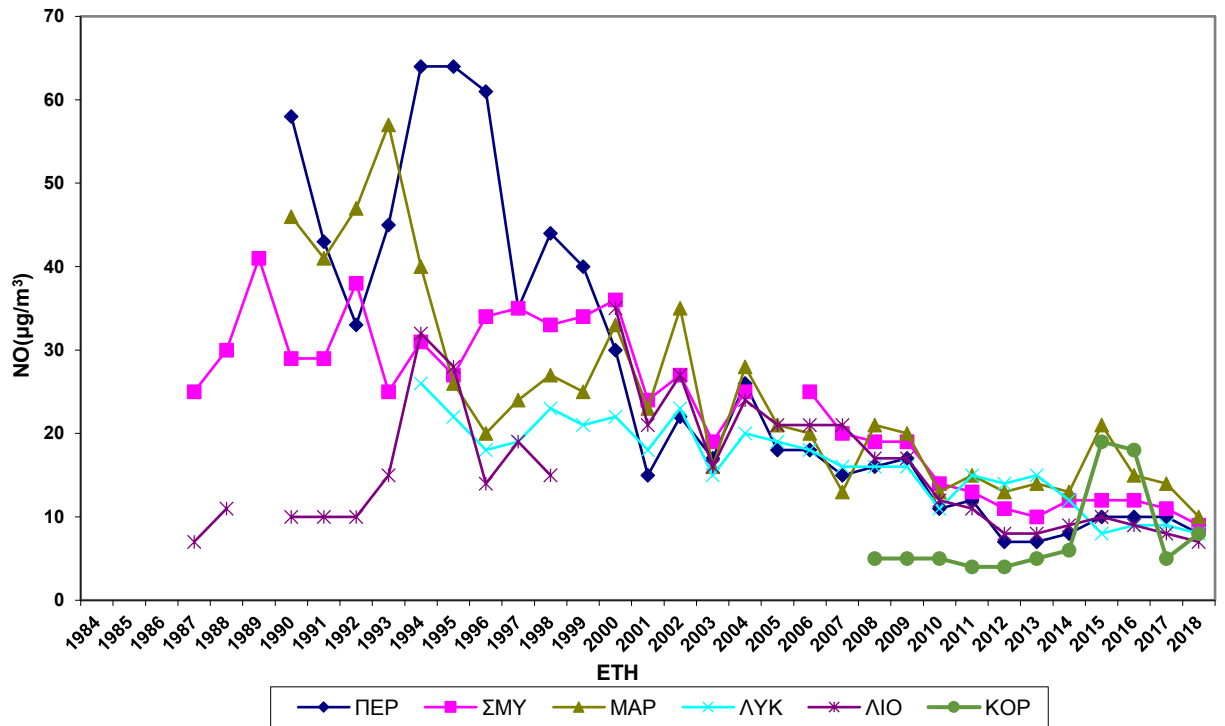
Σχήμα 2.2.β Διαχρονική μεταβολή μέσω των ετήσιων τιμών SO₂, σε µg/m³.



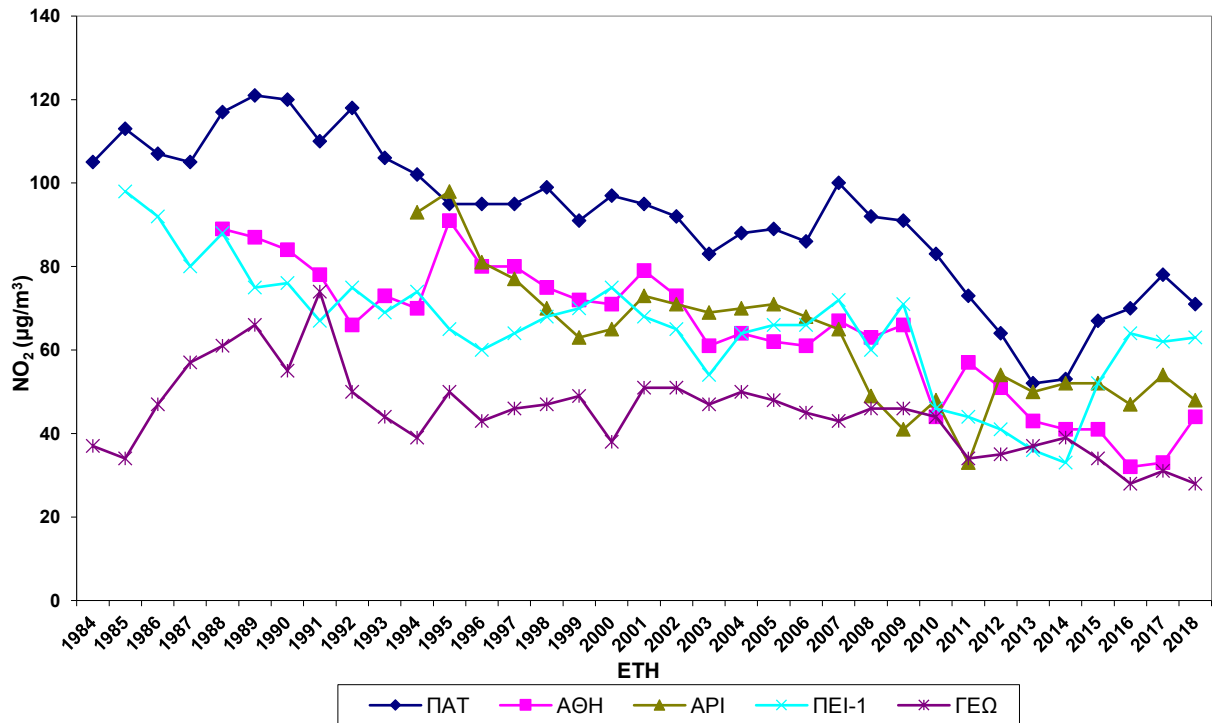
Σχήμα 2.3 Διαχρονική μεταβολή μέσωσν ετήσιων τιμών βενζολίου, σε µg/m³.



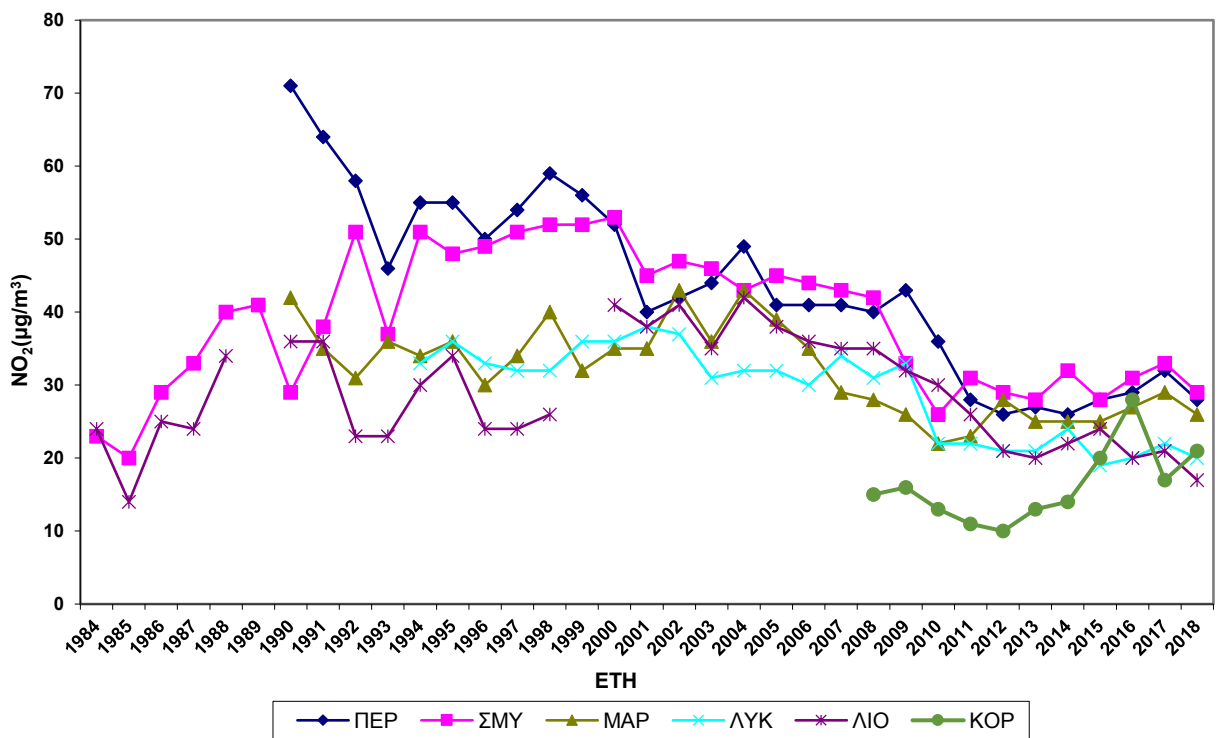
Σχήμα 2.4.α Διαχρονική μεταβολή μέσωσν ετήσιων τιμών NO, σε µg/m³.



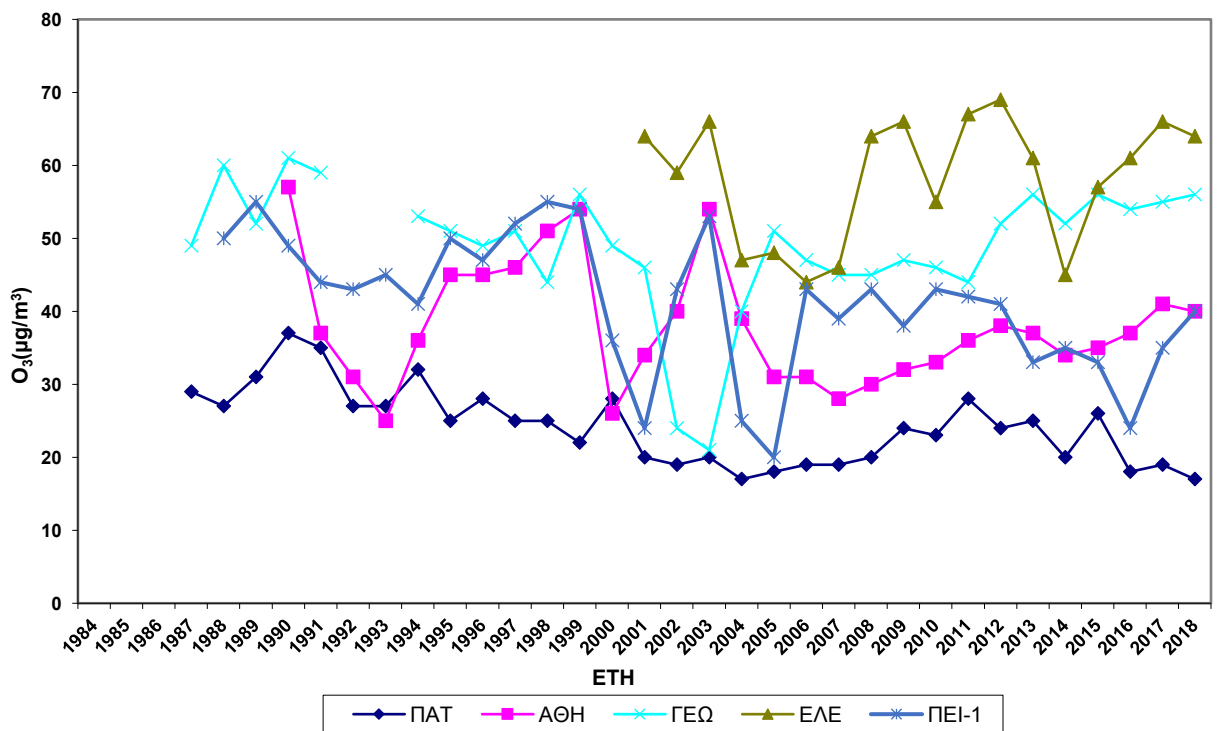
Σχήμα 2.4.β Διαχρονική μεταβολή μέσων ετήσιων τιμών NO, σε µg/m³.



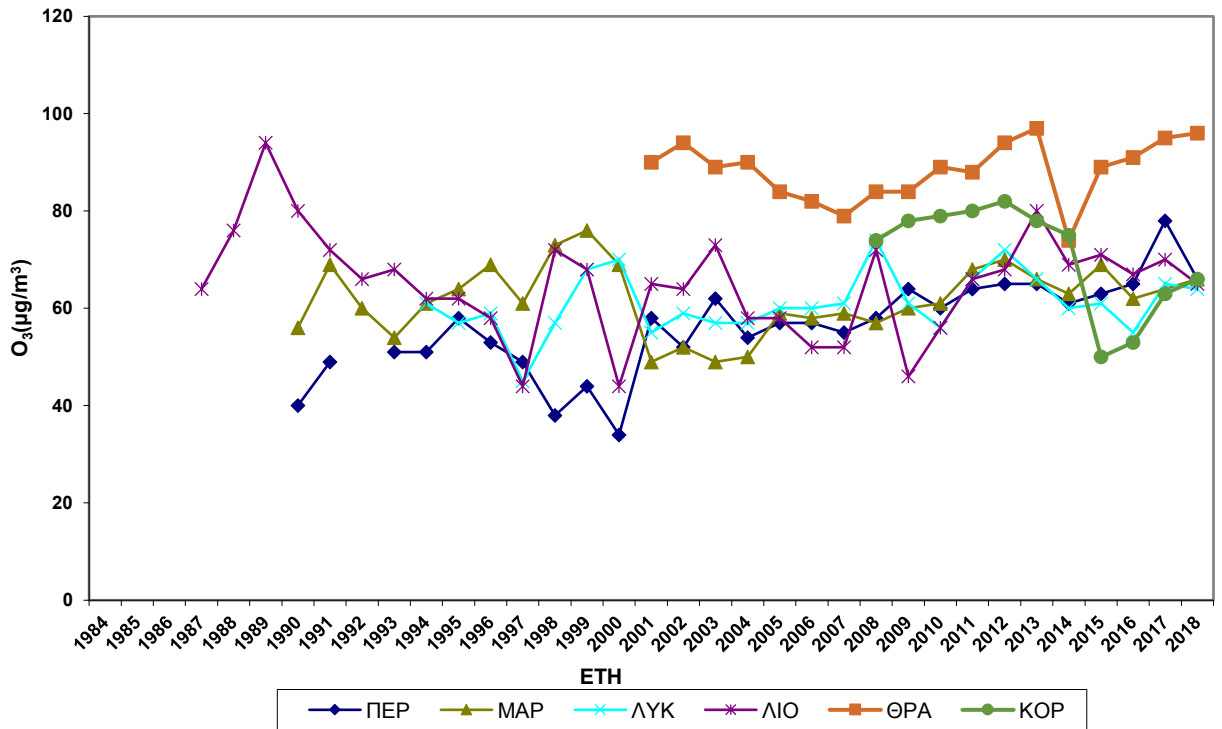
Σχήμα 2.5.α Διαχρονική μεταβολή μέσων ετήσιων τιμών NO₂, σε µg/m³.



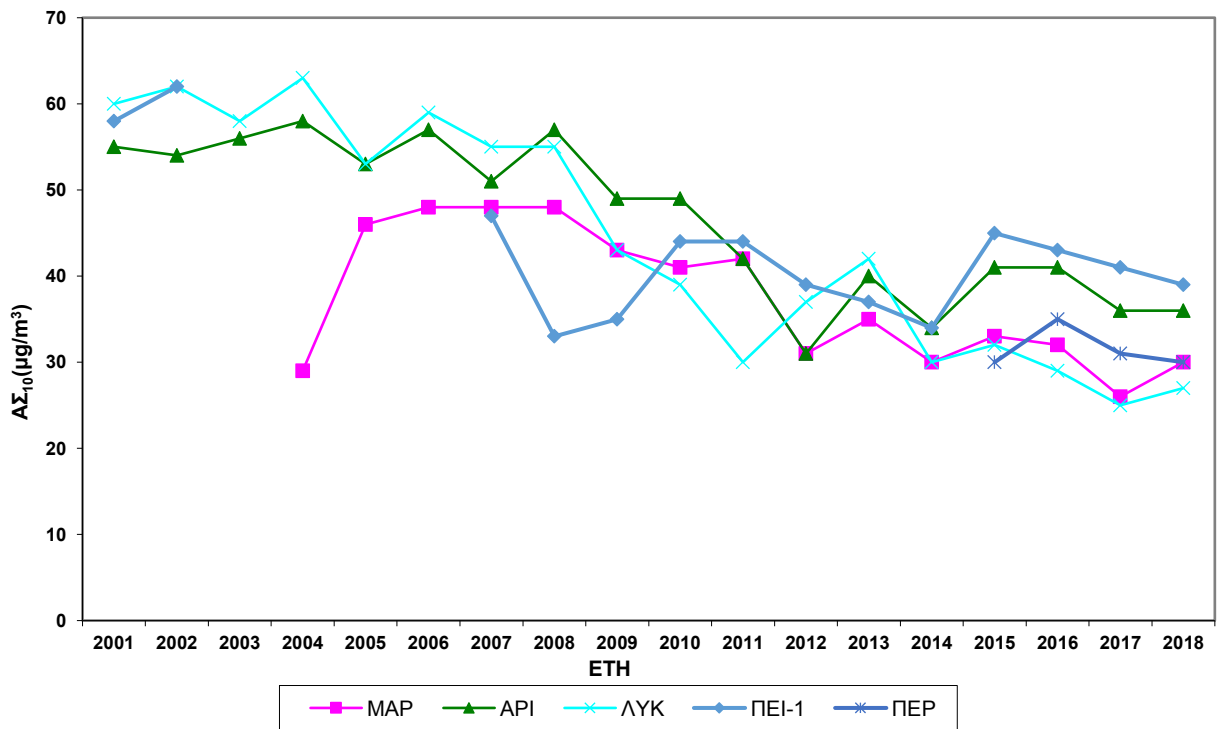
Σχήμα 2.5.β Διαχρονική μεταβολή μέσω ετήσιων τιμών NO_2 , σε $\mu g/m^3$.



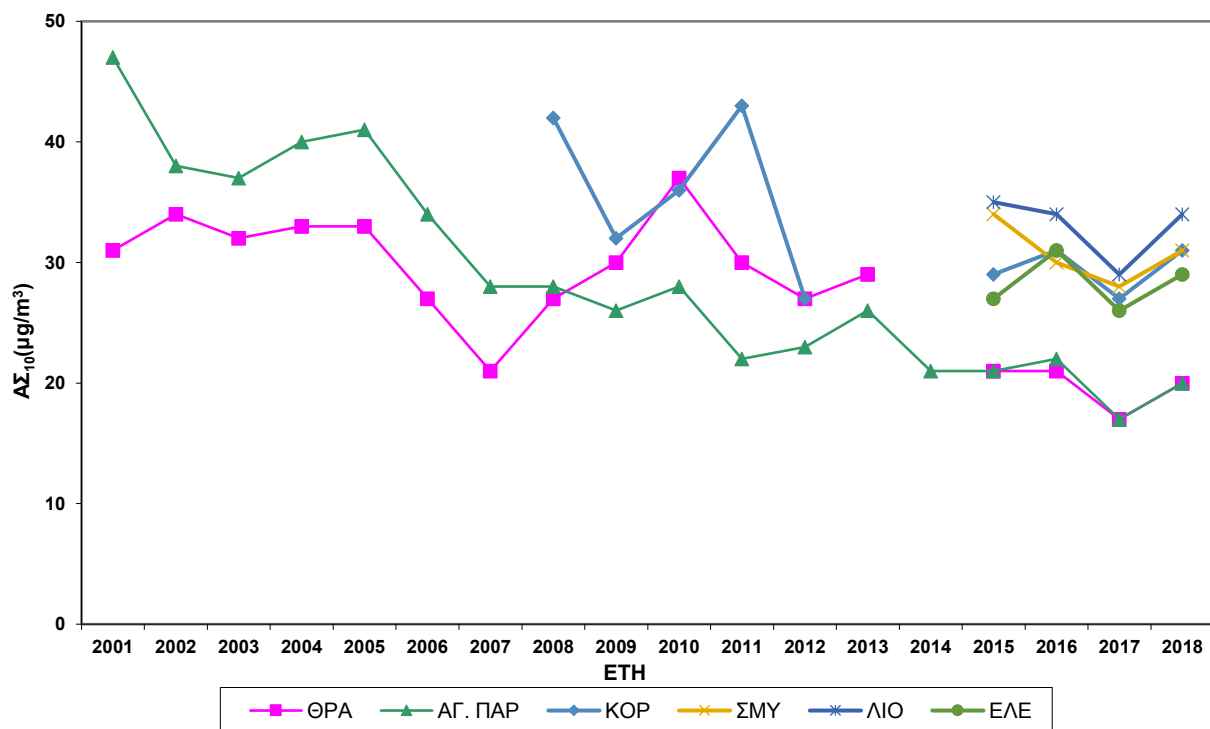
Σχήμα 2.6.α Διαχρονική μεταβολή μέσω ετήσιων τιμών O_3 , σε $\mu g/m^3$.



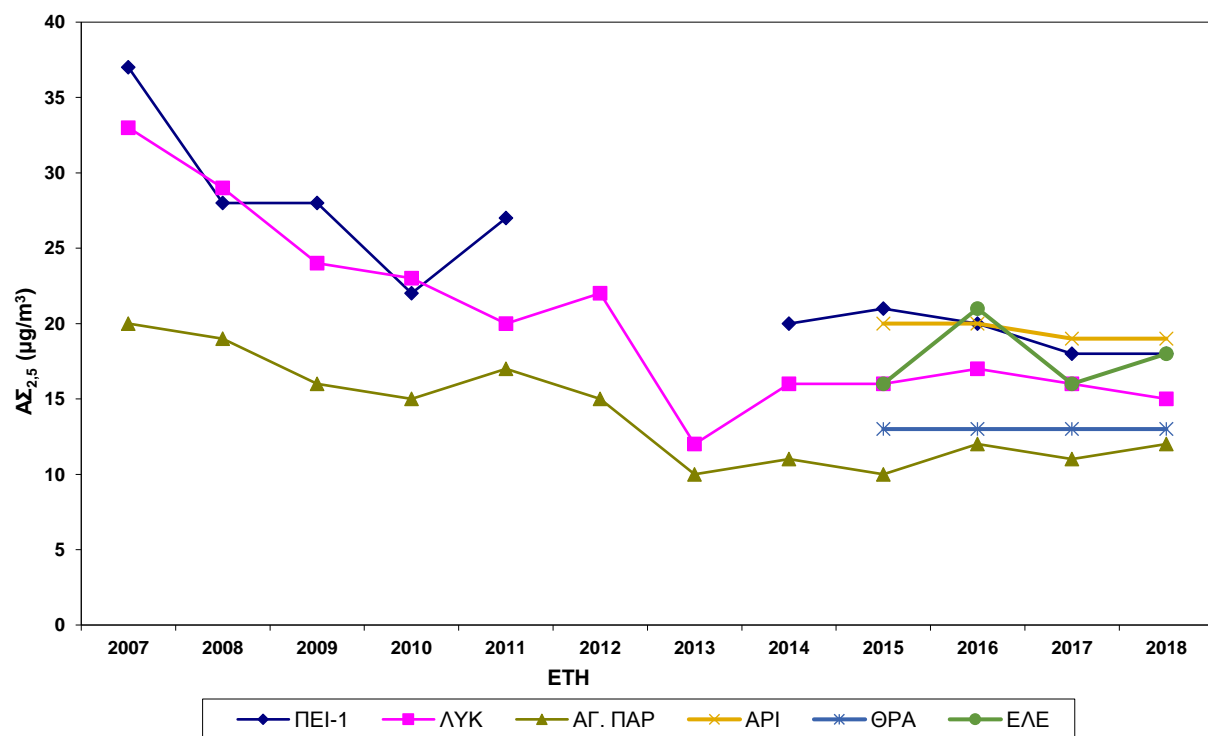
Σχήμα 2.6.β Διαχρονική μεταβολή μέσω των ετήσιων τιμών O₃, σε µg/m³.



Σχήμα 2.7.α Διαχρονική μεταβολή μέσω των ετήσιων τιμών AΣ₁₀, σε µg/m³.



Σχήμα 2.7.β Διαχρονική μεταβολή μέσωσν ετήσιων τιμών ΑΣ₁₀, σε µg/m³.

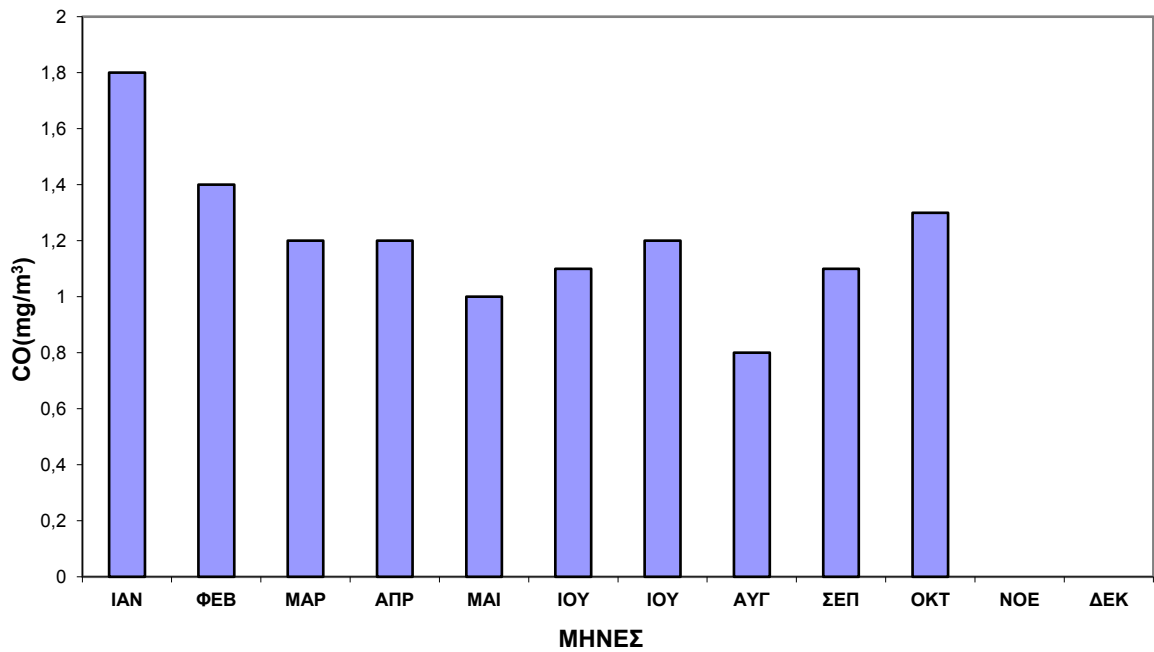


Σχήμα 2.8. Διαχρονική μεταβολή μέσωσν ετήσιων τιμών ΑΣ_{2.5}, σε µg/m³.

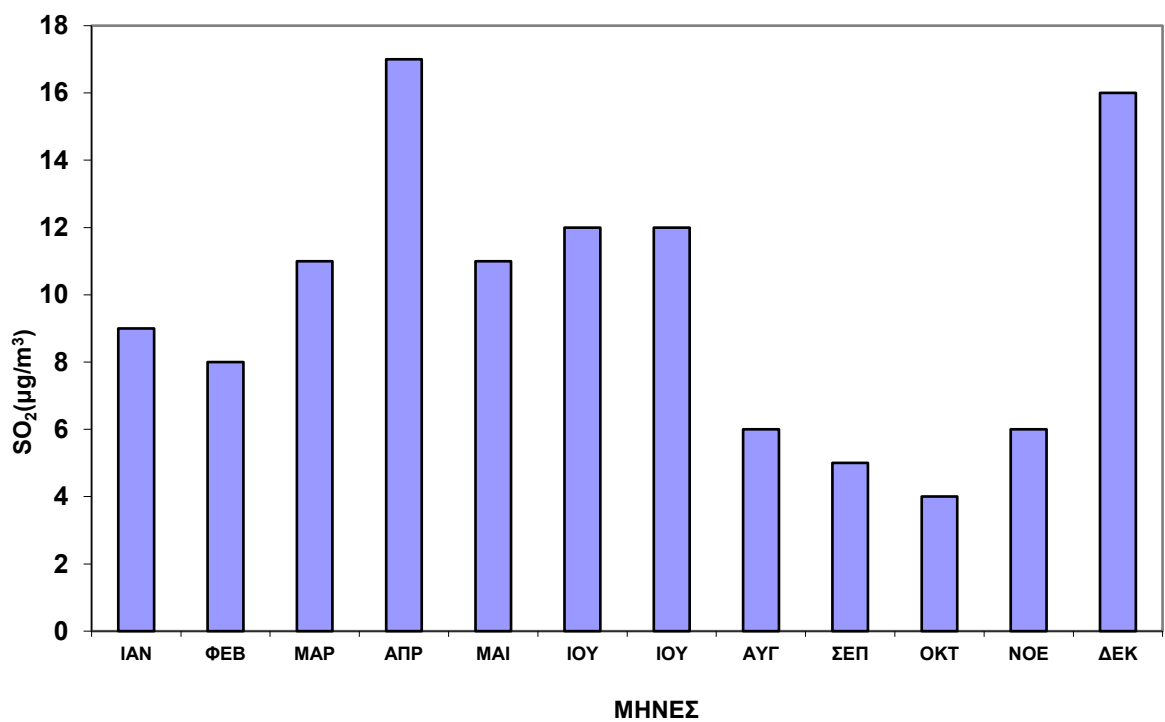
2.2 Μηνιαία μεταβολή των συγκεντρώσεων των ρύπων

Στο Παράρτημα III, δίνονται οι διακυμάνσεις των μέσων μηνιαίων τιμών των συγκεντρώσεων για όλους τους μετρούμενους ρύπους και τους σταθμούς για το 2018, ενώ στα επόμενα Σχήματα εμφανίζεται η μηνιαία μεταβολή για ρύπους σε κάποιους χαρακτηριστικούς σταθμούς. Οι πρωτογενείς ρύποι (CO, NO, SO₂, C₆H₆), παρουσιάζουν μεγαλύτερες τιμές τους μήνες του χειμώνα. Αναφορικά με το SO₂, αυτό οφείλεται κατά κύριο λόγο στη λειτουργία της κεντρικής θέρμανσης (αν και οι πολύ χαμηλές τιμές συγκεντρώσεων δεν επιτρέπουν την εξαγωγή στατιστικά σημαντικών συμπερασμάτων). Για το CO και το NO, οφείλεται κυρίως στην εντονότερη κυκλοφορία που παρατηρείται τους χειμερινούς μήνες και τις χειρότερες συνθήκες λειτουργίας των μηχανών των αυτοκινήτων (χαμηλή απόδοση καταλύτη στο ξεκίνημα με κρύα μηχανή). Σημαντικό ρόλο παίζει και η καύση βιομάζας για θέρμανση ενώ συμμετέχει στις εκπομπές και η κεντρική θέρμανση. Το βενζόλιο εμφανίζει τις μέγιστες συγκεντρώσεις του το χειμώνα όπως και το CO και το NO καθώς σχετίζεται και αυτό με την κυκλοφορία (βενζινοκίνητα) και την καύση βιομάζας αλλά η διαφορά στα επίπεδα μεταξύ χειμώνα και καλοκαιριού είναι εμφανώς μικρότερη από ότι στους δυο άλλους ρύπους, επειδή σημαντική πηγή εκπομπής του στην ατμόσφαιρα αποτελεί και η εξάτμιση από χώρους αποθήκευσης καυσίμων (βενζινάδικα, ρεζερβουάρ οχημάτων) αλλά και από χρήση διαλυτών λόγω της υψηλής πτητικότητάς του.

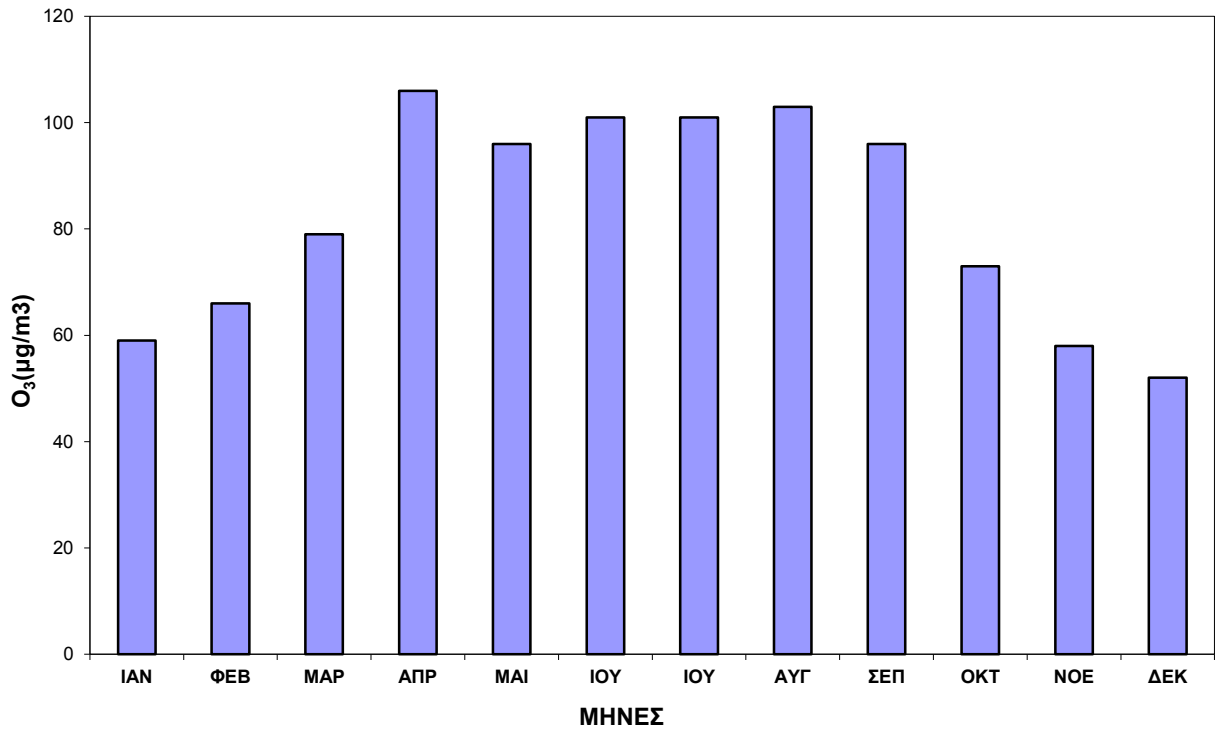
Ο δευτερογενής ρύπος όζον (O₃) παρουσιάζει μεγαλύτερες τιμές τη θερινή περίοδο του έτους. Οι αυξημένες τιμές της συγκέντρωσης του όζοντος τους καλοκαιρινούς μήνες οφείλονται στην αυξημένη ηλιοφάνεια σε διάρκεια και ένταση των μηνών αυτών, δεδομένου ότι αυτός ο ρύπος σχηματίζεται από φωτοχημικές διεργασίες στις οποίες καθοριστικό ρόλο παίζει η ηλιακή ακτινοβολία. Το διοξείδιο του αζώτου (NO₂) παρουσιάζει μέγιστη τιμή τον Ιούνιο (μέγιστη διάρκεια ηλιοφάνειας και μεγάλη συχνότητα ισχυρών θερμοκρασιακών αναστροφών). Η μηνιαία μεταβολή των τιμών των αιωρούμενων σωματιδίων (A_{Σ10}, A_{Σ2,5}), ποικίλει από σταθμό σε σταθμό και εξαρτάται από τον χαρακτηρισμό του σταθμού. Η μηνιαία μεταβολή τους μπορεί να αλλάζει από έτος σε έτος λόγω κυρίως των φυσικών πηγών τους (μεταφορά σκόνης από ξηρές περιοχές εντός και εκτός χώρας, θαλάσσια αερολύματα κ.ά.). Επιπλέον, απότομη αύξηση παρουσιάζεται στις τιμές των αιωρούμενων σωματιδίων από το Δεκέμβριο του 2012 και μετά, κατά τη χειμερινή περίοδο του έτους, λόγω της αύξησης χρήσης βιομάζας ως θερμαντικού μέσου.



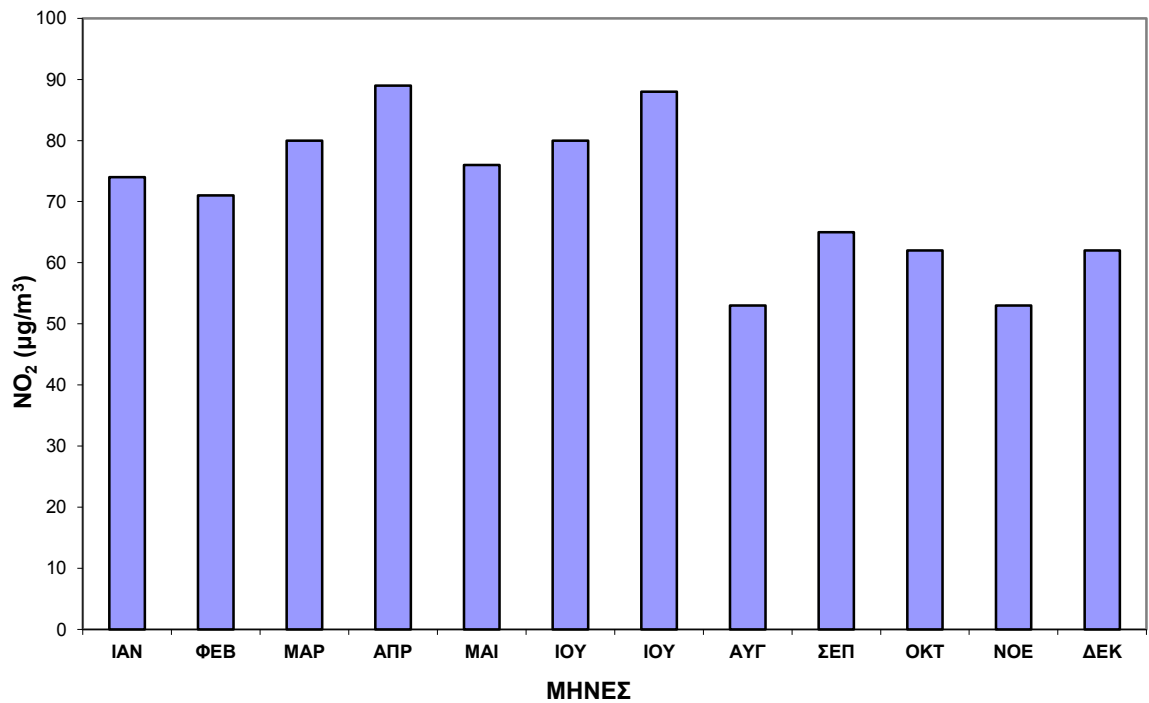
Σχήμα 2.9. Μέσες μηνιαίες τιμές CO στο σταθμό Πατησίων για το έτος 2018.



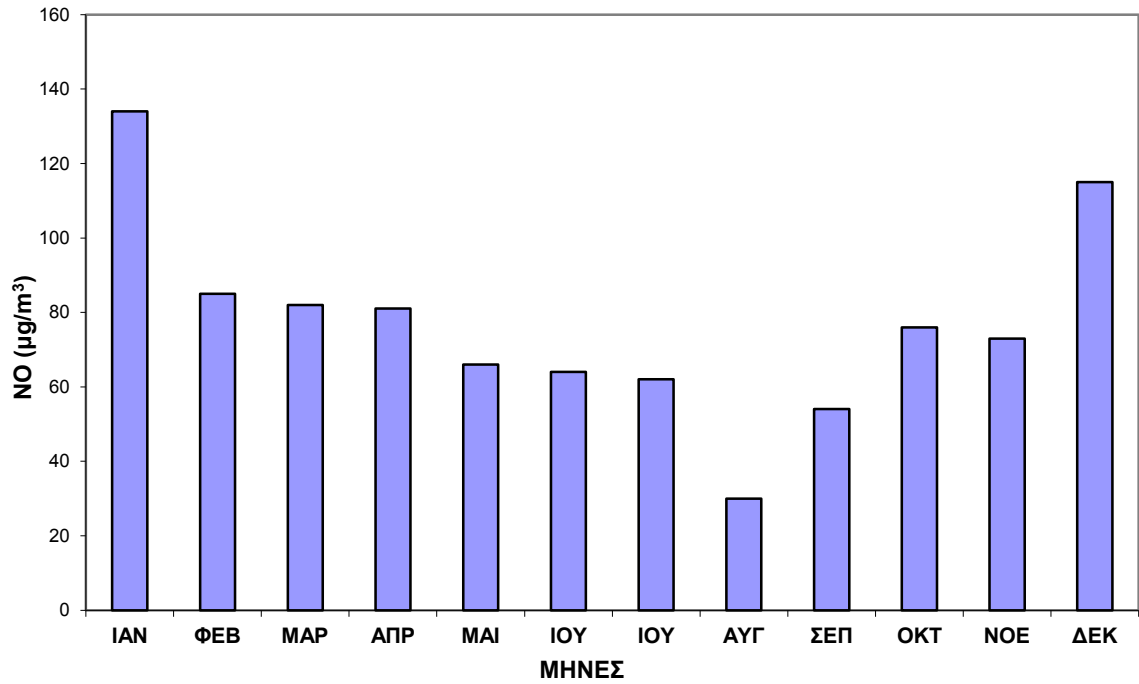
Σχήμα 2.10. Μέσες μηνιαίες τιμές SO₂ στο σταθμό Πειραιάς για το έτος 2018.



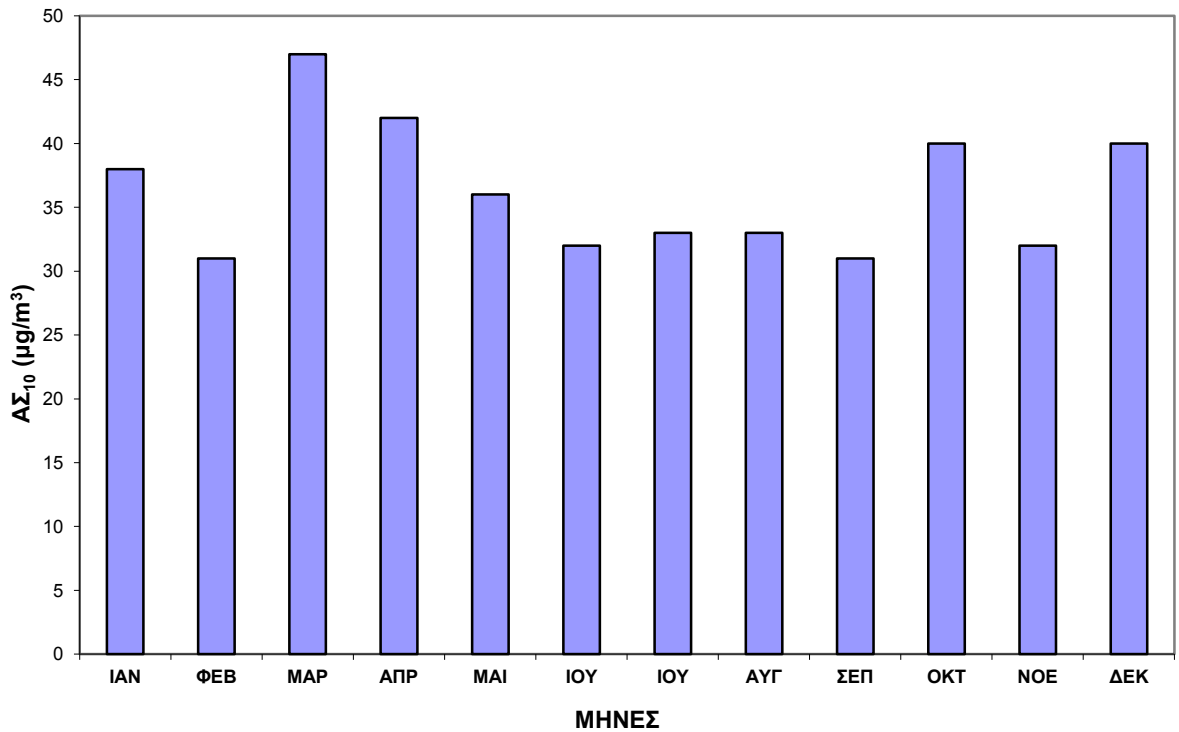
Σχήμα 2.11. Μέσες μηνιαίες τιμές O₃ στο σταθμό Αγ. Παρασκευή για το έτος 2018.



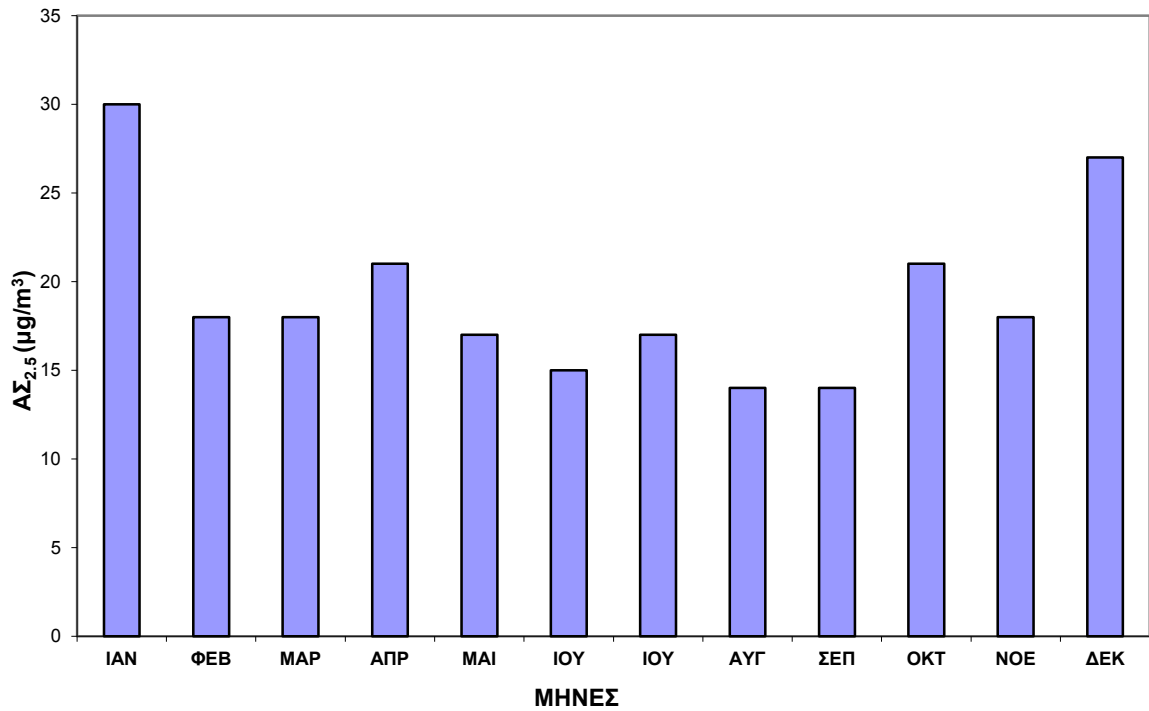
Σχήμα 2.12. Μέσες μηνιαίες τιμές NO₂ στο σταθμό Πατησίων για το έτος 2018.



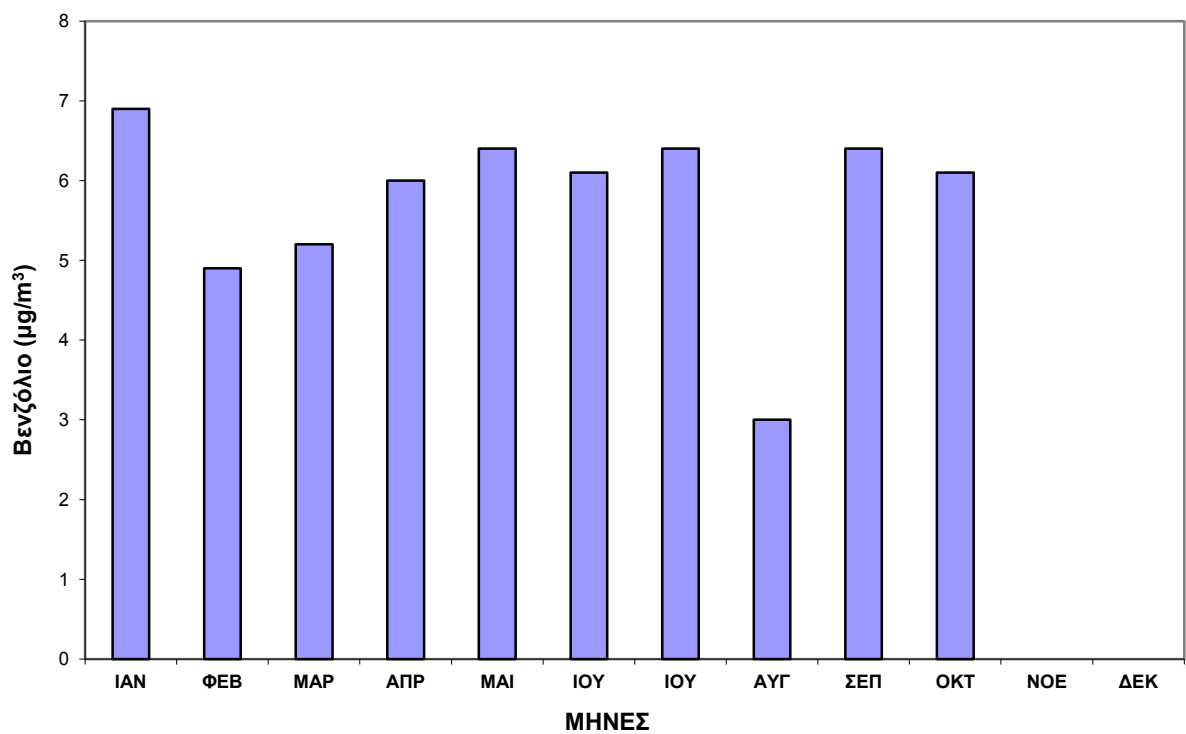
Σχήμα 2.13. Μέσες μηνιαίες τιμές NO στο σταθμό Πατησίων για το έτος 2018.



Σχήμα 2.14. Μέσες μηνιαίες τιμές AS₁₀ στο σταθμό Αριστοτέλους για το έτος 2018.



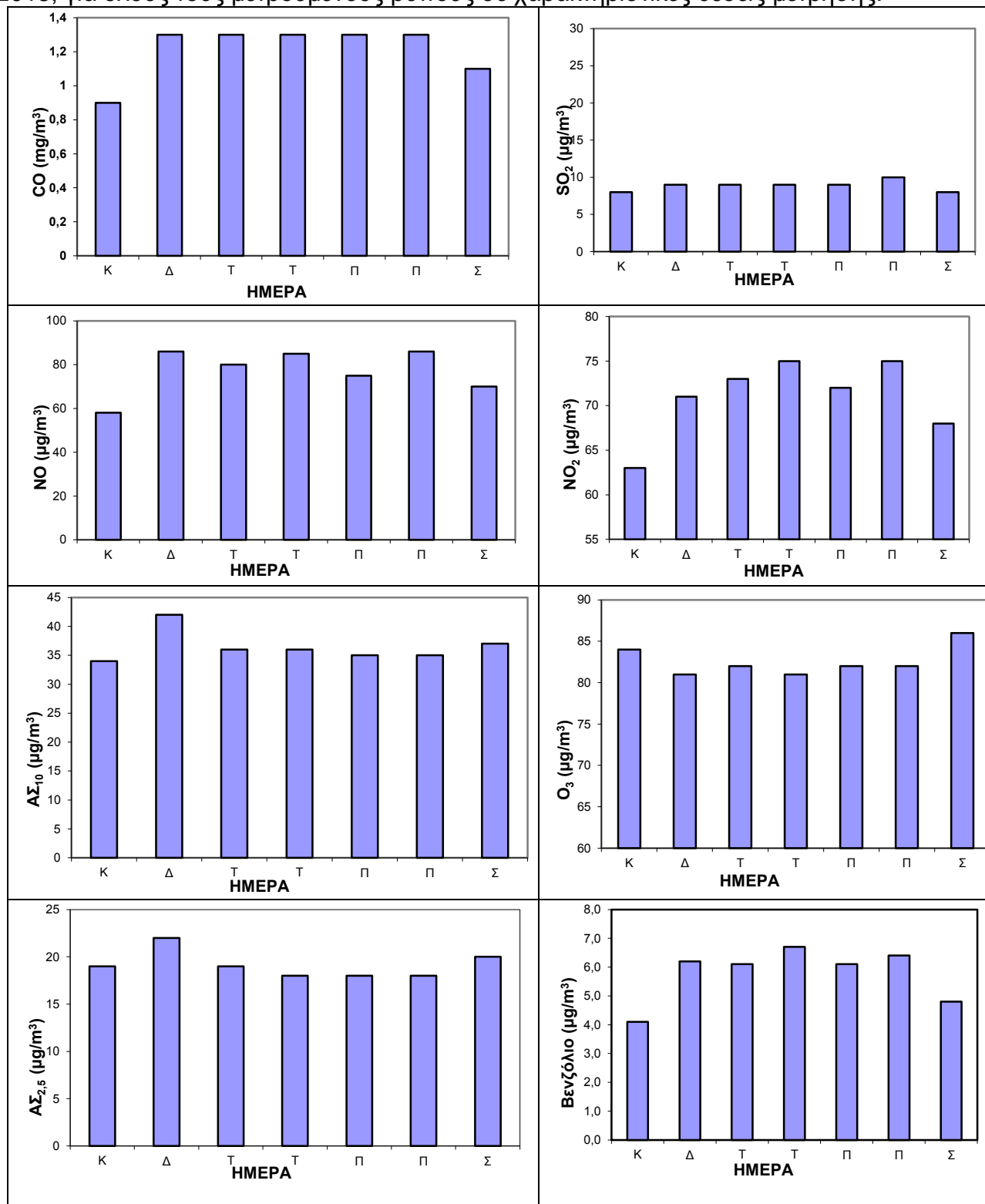
Σχήμα 2.15. Μέσες μηνιαίες τιμές ΑΣ_{2,5} στο σταθμό Αριστοτέλους για το έτος 2018.



Σχήμα 2.16. Μέσες μηνιαίες τιμές βενζολίου στο σταθμό Πατησίων για το έτος 2018.

2.3 Ημερήσια μεταβολή των συγκεντρώσεων των ρύπων

Στο επόμενο Σχήμα, δίνεται η ημερήσια μεταβολή των ρύπων στη διάρκεια του έτους 2018, για όλους τους μετρούμενους ρύπους σε χαρακτηριστικές θέσεις μέτρησης.

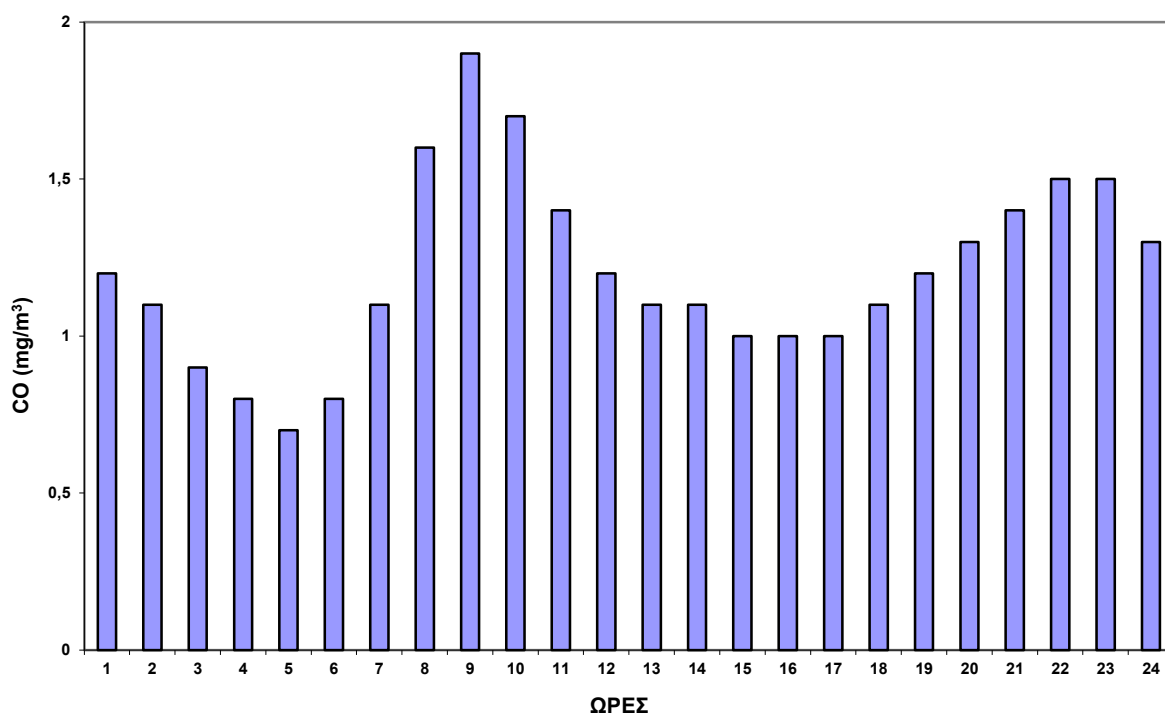


Σχήμα 2.17 Ημερήσια μεταβολή συγκεντρώσεων CO, NO, NO₂, SO₂ και βενζολίου στο σταθμό Πατησίων, AΣ₁₀, AΣ_{2,5} στο σταθμό Αριστοτέλους και O₃ στο σταθμό Αγ. Παρασκευή για το έτος 2018.

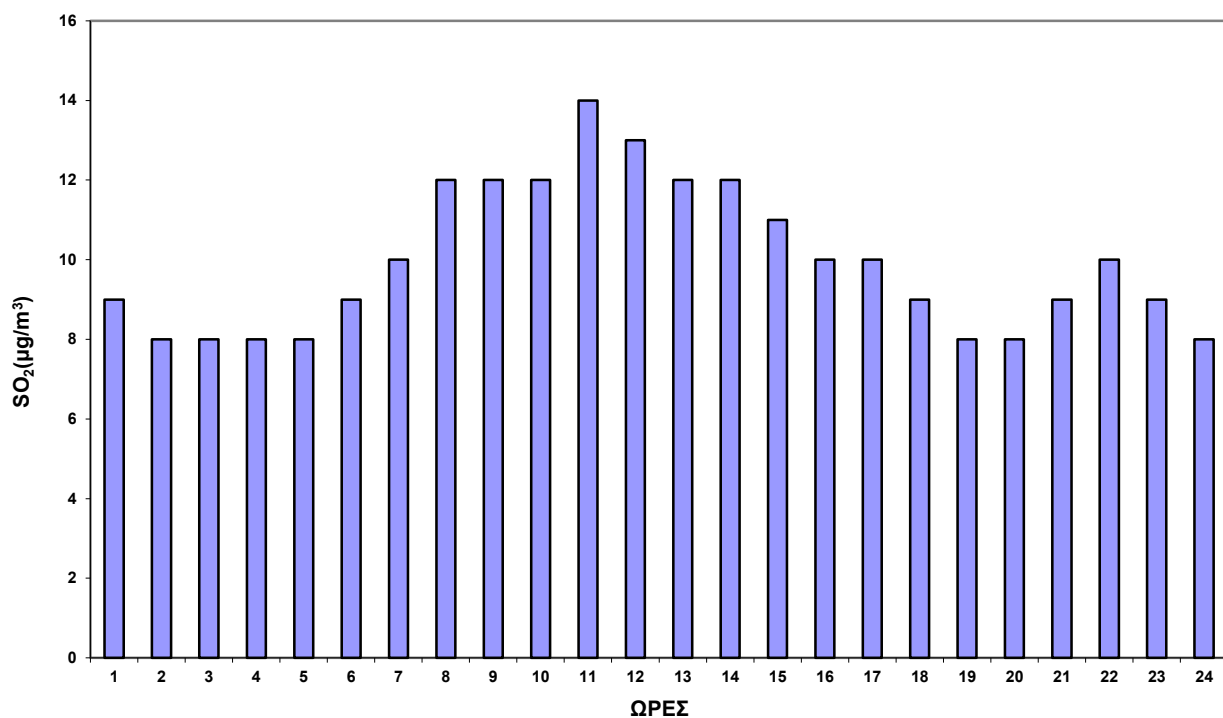
Όπως δείχνει και το Σχήμα 2.17 οι ρύποι που σχετίζονται κυρίως με την κυκλοφορία, όπως οξειδία του αζώτου, μονοξείδιο του άνθρακα και βενζόλιο, εμφανίζουν σε μεγάλο ή μικρό βαθμό μείωση στη διάρκεια της Κυριακής. Για το διοξείδιο του θείου δεν παρατηρείται αξιοσημείωτη μεταβολή λόγω των πολύ χαμηλών επιπέδων συγκεντρώσεων. Αυτό δεν ισχύει για τα αιωρούμενα σωματίδια κυρίως λόγω του γεγονότος ότι η μεταφορά σκόνης, η επαναιώρηση από το έδαφος καθώς και η εισροή θαλασσιών αερολυμάτων στο λεκανοπέδιο σχετίζεται με μετεωρολογικές συνθήκες και άρα δεν υπάρχει διάκριση σε μέρες της εβδομάδας. Σε αντίθεση με ότι παρατηρείται στους πρωτογενείς αέριους ρύπους, η μείωση της κυκλοφορίας τις Κυριακές έχει αντίκτυπο σε αύξηση των φωτοχημικών παραγόμενων ρύπων όπως το όζον.

2.4 Ωριαία μεταβολή των συγκεντρώσεων των ρύπων

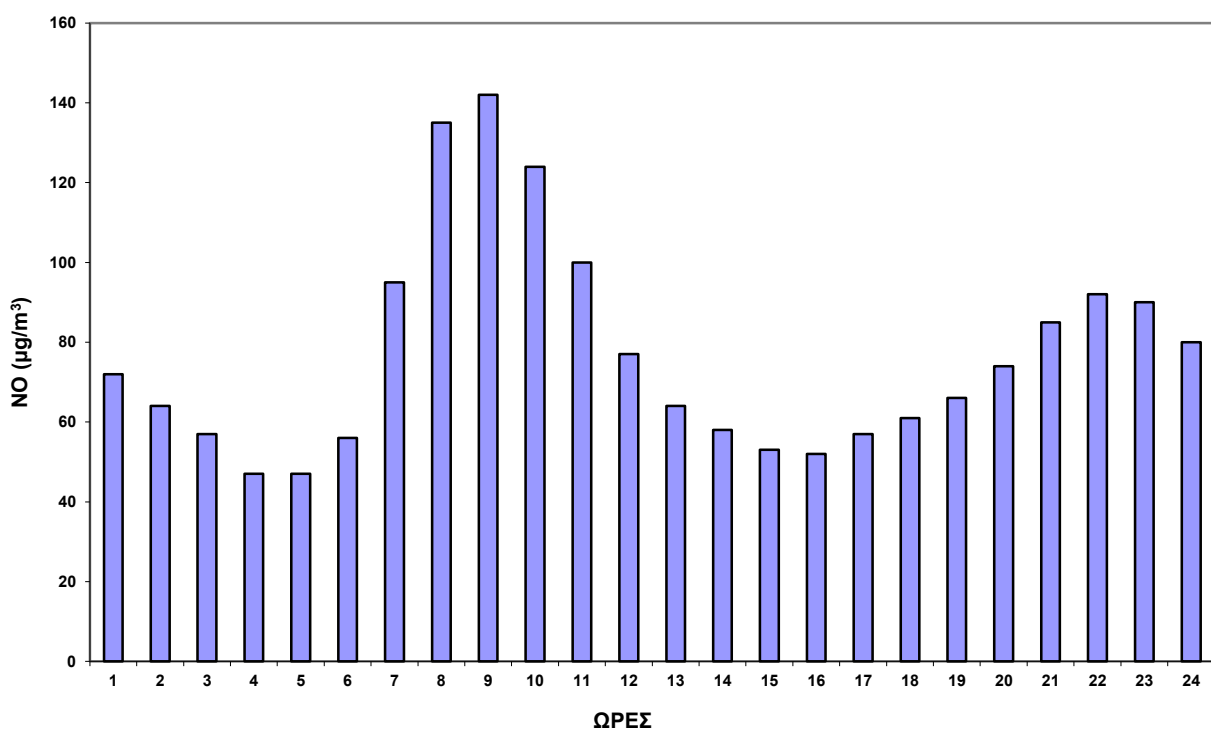
Στα επόμενα Σχήματα, δίνεται η ωριαία μεταβολή των συγκεντρώσεων όλων των ρύπων στη διάρκεια του έτους 2018, σε χαρακτηριστικές θέσεις μέτρησης.



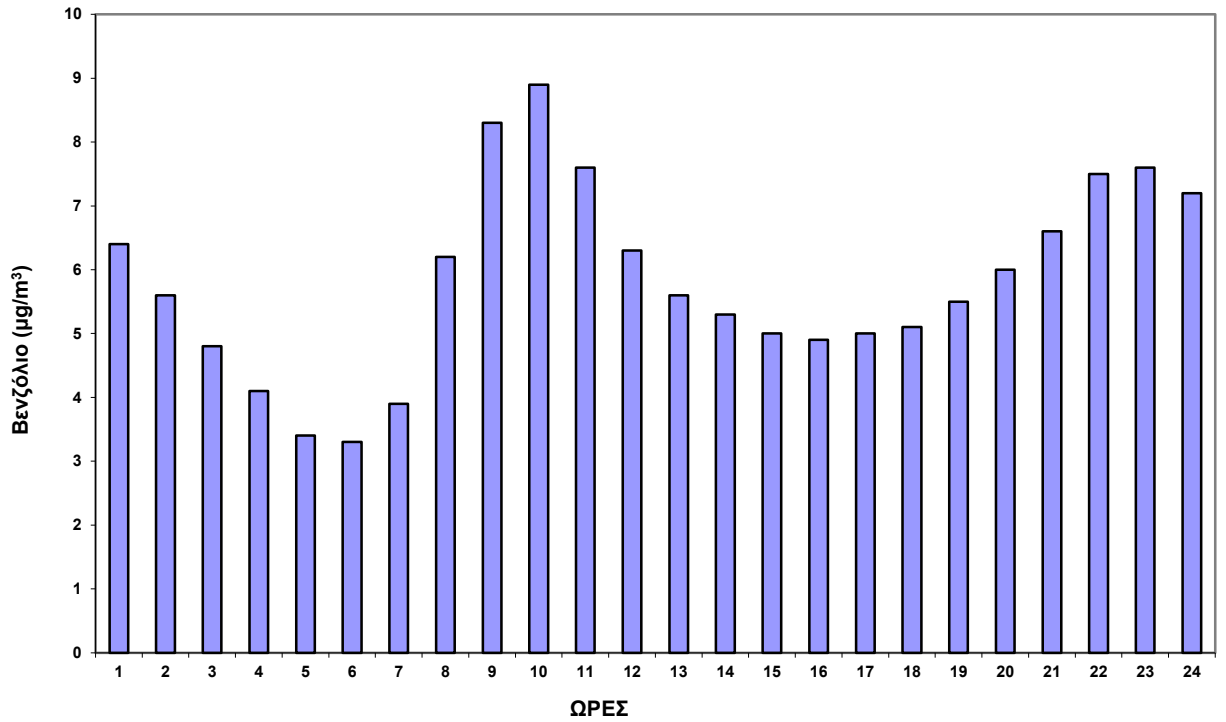
Σχήμα 2.18 Ωριαία μεταβολή CO στο σταθμό Πατησίων για το έτος 2018.



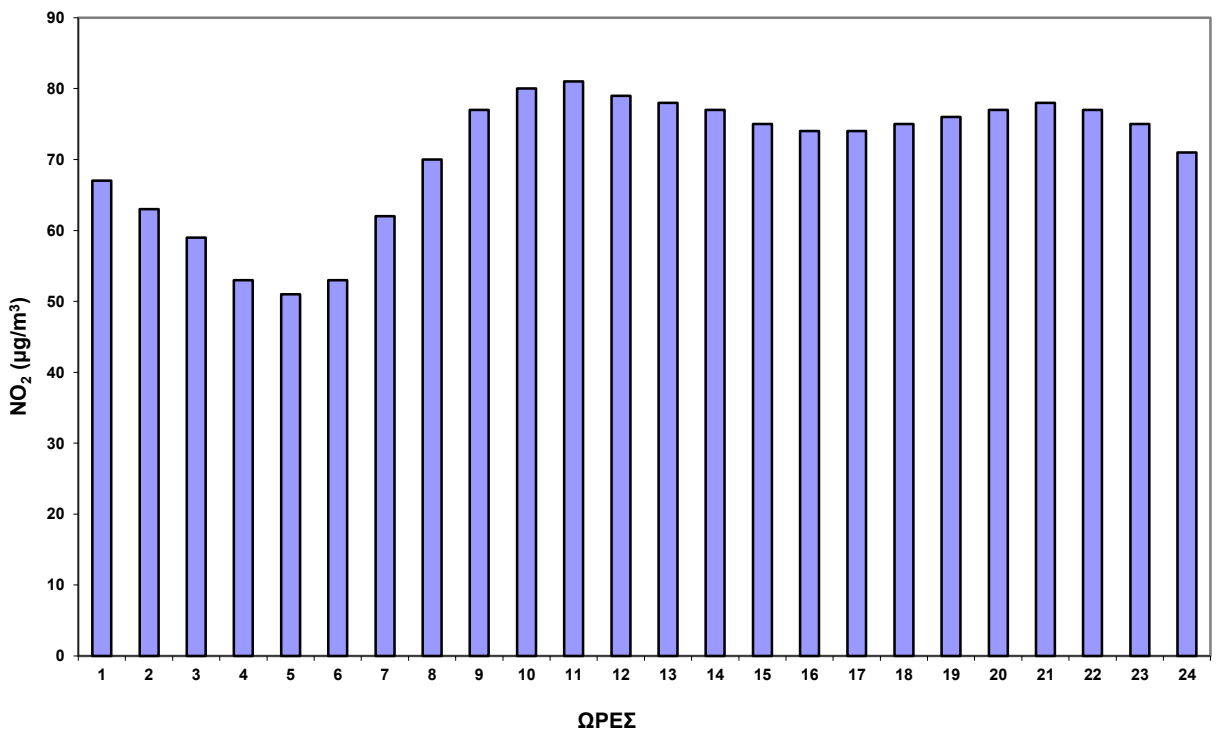
Σχήμα 2.19 Ωριαία μεταβολή SO₂ στο σταθμό Πειραιά για το έτος 2018.



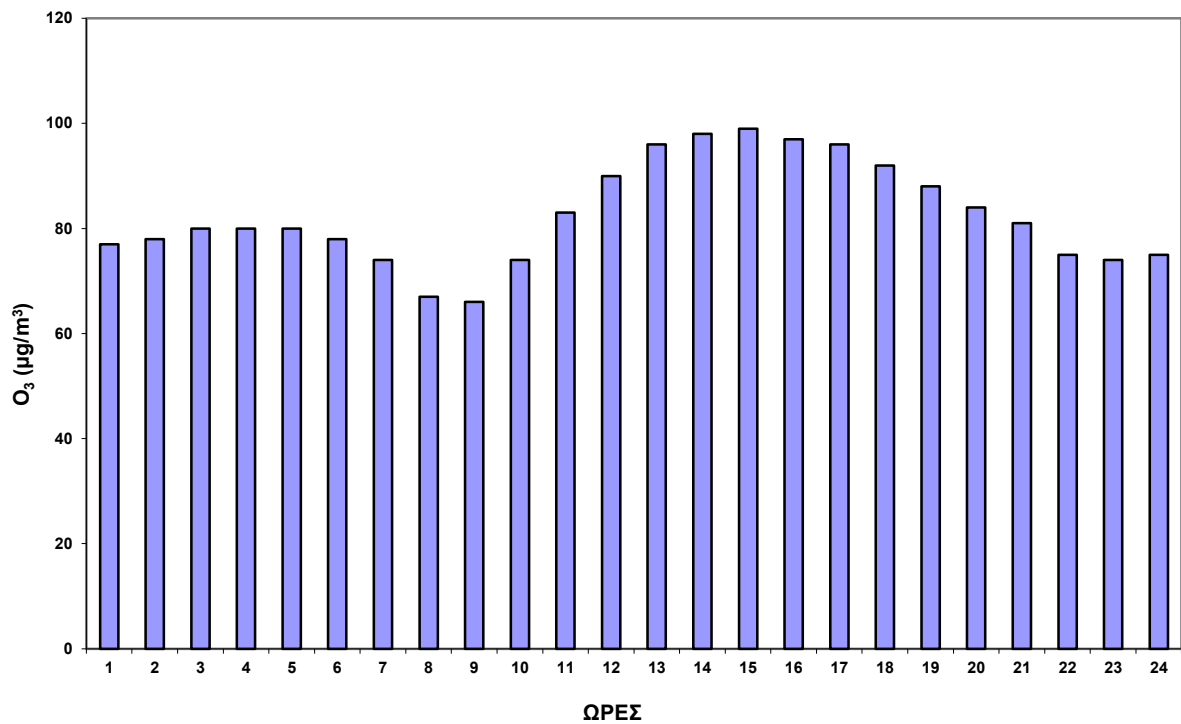
Σχήμα 2.20 Ωριαία μεταβολή NO στο σταθμό Πατησίων για το έτος 2018.



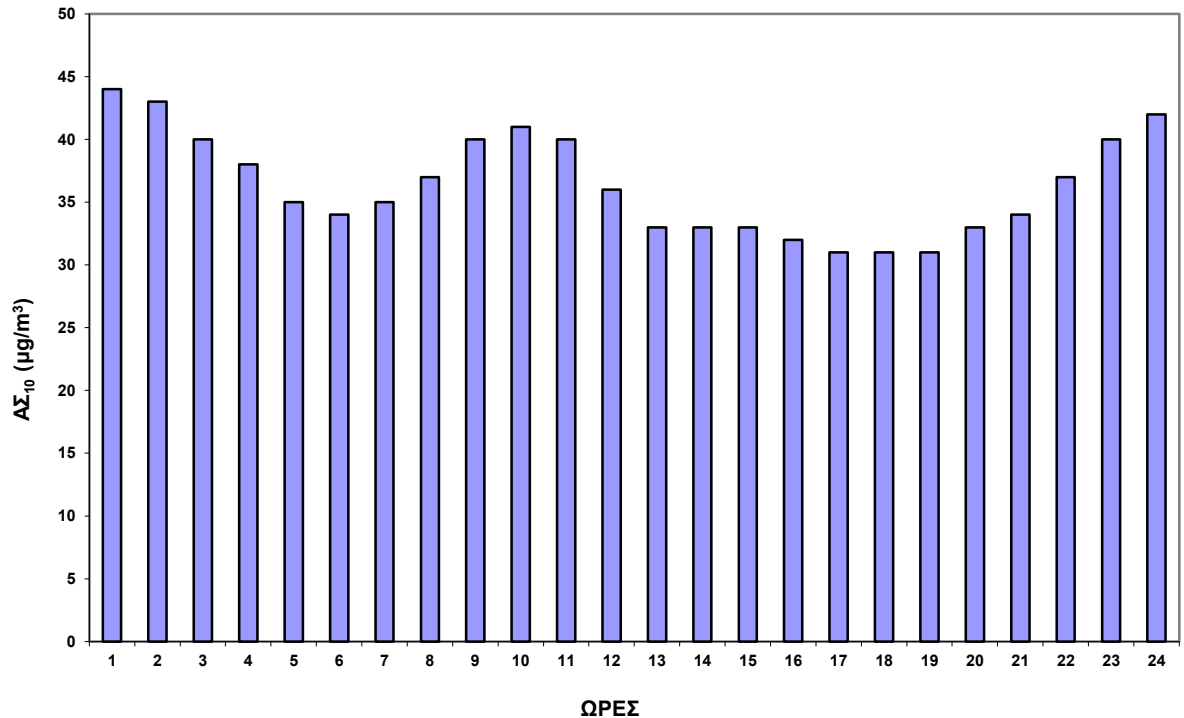
Σχήμα 2.21 Ωριαία μεταβολή βενζολίου στο σταθμό Πατησίων για το έτος 2018.



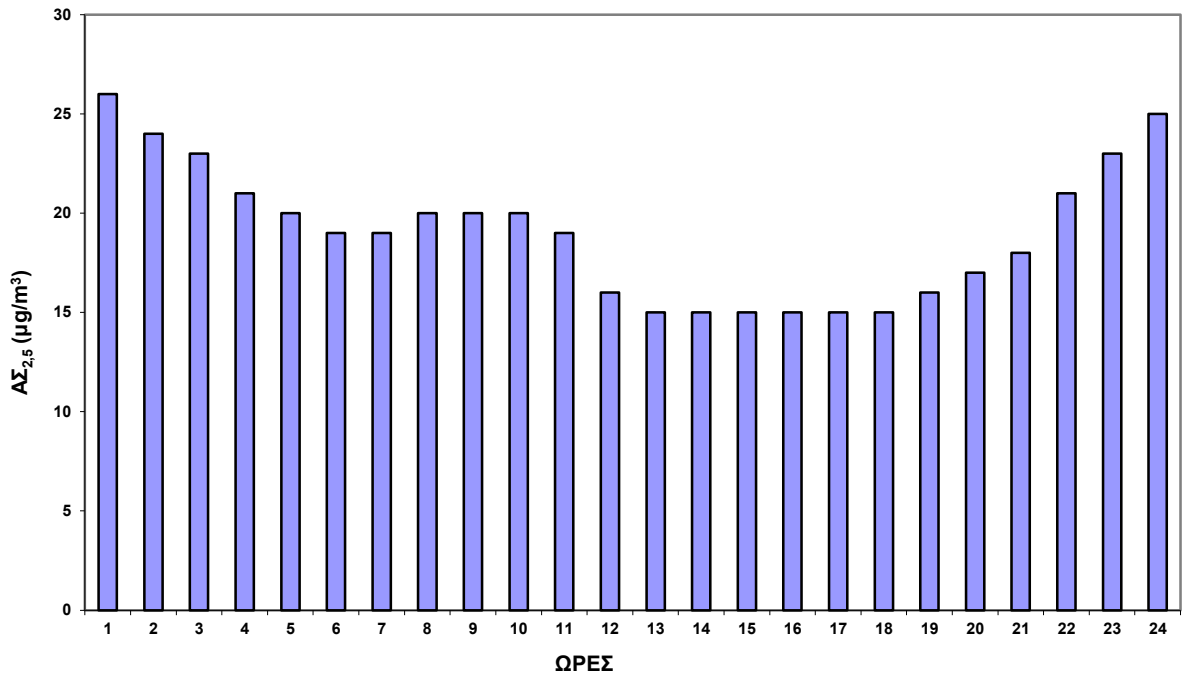
Σχήμα 2.22 Ωριαία μεταβολή NO₂ στο σταθμό Πατησίων για το έτος 2018.



Σχήμα 2.23 Ωριαία μεταβολή O₃ στο σταθμό Αγ. Παρασκευή για το έτος 2018.



Σχήμα 2.24 Ωριαία μεταβολή AΣ₁₀ στο σταθμό Αριστοτέλους για το έτος 2018.



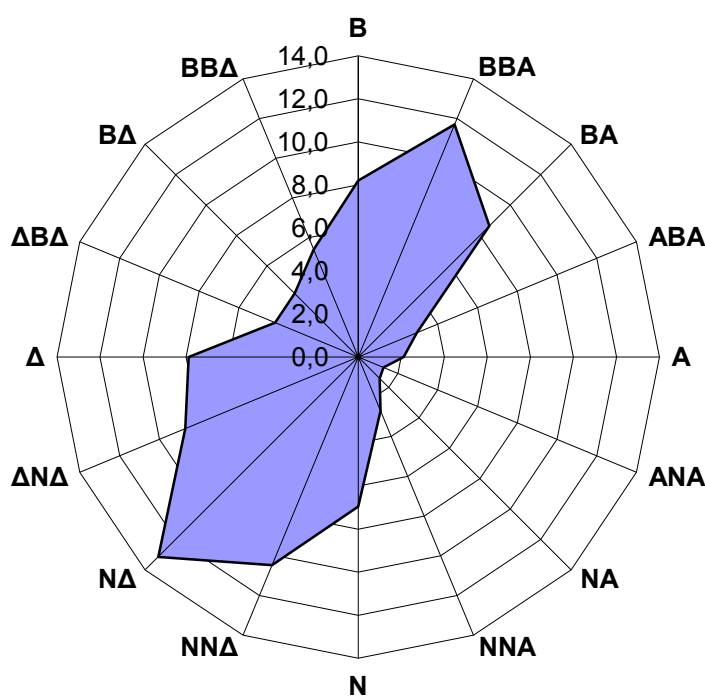
Σχήμα 2.25 Ωριαία μεταβολή AΣ_{2,5} στο σταθμό Αριστοτέλους για το έτος 2018.

Όπως φαίνεται και στα σχήματα 2.18 έως 2.21, μεγαλύτερες τιμές για τους πρωτογενείς ρύπους CO και NO παρουσιάζονται γενικά το πρωί (8-10) και το βράδυ (9-11) αλλά και για το βενζόλιο με ελαφρά χρονική υστέρηση αναφορικά με το πρωινό μέγιστο ενώ το SO₂, εξαιτίας των πολύ μικρών επιπέδων συγκεντρώσεων, δεν παρουσιάζει την εικόνα των προηγούμενων πρωτογενών ρύπων. Το χρονικό διάστημα που εμφανίζεται το πρωινό μέγιστο οφείλεται στο γεγονός ότι τις ώρες αυτές επικρατούν ευνοϊκές για τη συσσώρευση των ατμοσφαιρικών ρύπων μετεωρολογικές συνθήκες (εμφάνιση θερμοκρασιακών αναστροφών) ενώ και τα δυο μέγιστα συμπίπτουν χρονικά με τις ώρες λειτουργίας της κεντρικής θέρμανσης και τις αιχμές κυκλοφορίας. Για το διοξείδιο του αζώτου NO₂, (σχήμα 2.22), οι μέγιστες τιμές εμφανίζονται τις πρωινές ώρες 10-12, δηλαδή παρουσιάζουν κάποια χρονική υστέρηση σε σχέση με το NO που είναι απαραίτητη για το σχηματισμό του, ενώ εμφανίζεται και ένα δευτερογενές νυχτερινό μέγιστο. Για το O₃ (σχήμα 2.23) το ημερήσιο μέγιστο εμφανίζεται τις μεταμεσημβρινές ώρες, όταν η ένταση της ηλιακής ακτινοβολίας και η θερμοκρασία παρουσιάζουν το μέγιστο ενώ ευνοείται από την ανάπτυξη θαλάσσιας αύρας που προοδευτικά από τις 10πμ και μετά πνέει από νότο προς βορρά σαρώνοντας προοδευτικά αέριους και σωματιδιακούς ρύπους προς το εσωτερικό του λεκανοπεδίου, όταν η συνοπτική ροή ανέμου είναι ασθενής ή απουσιάζει εντελώς. Για τα AΣ₁₀ και AΣ_{2,5}, οι μεγαλύτερες τιμές παρουσιάζονται τις πρώτες πρωινές και τις βραδινές ώρες γεγονός που είναι ενδεικτικό της συμβολής των ανθρωπογενών δραστηριοτήτων (καύση βιομάζας τη χειμερινή περίοδο) σε ώρες παρουσίας θερμοκρασιακής αναστροφής ενώ οι σταθμοί κυκλοφορίας εμφανίζουν αυξημένες τιμές και κατά τις ώρες αιχμής της κυκλοφορίας (σχήμα 2.24 και 2.25). Η ωριαία μεταβολή των τιμών των αιωρούμενων σωματιδίων (AΣ₁₀, AΣ_{2,5}), ποικίλει από σταθμό σε σταθμό και εξαρτάται από τον χαρακτηρισμό του σταθμού. Ακόμη, η ωριαία μεταβολή τους μπορεί να αλλάζει από έτος σε έτος λόγω κυρίως των φυσικών πηγών τους (μεταφορά σκόνης από ξηρές περιοχές εντός και εκτός χώρας, θαλάσσια αερολύματα) καθώς και από την επαναιώρηση της σκόνης από δρόμους και το ακάλυπτο έδαφος.

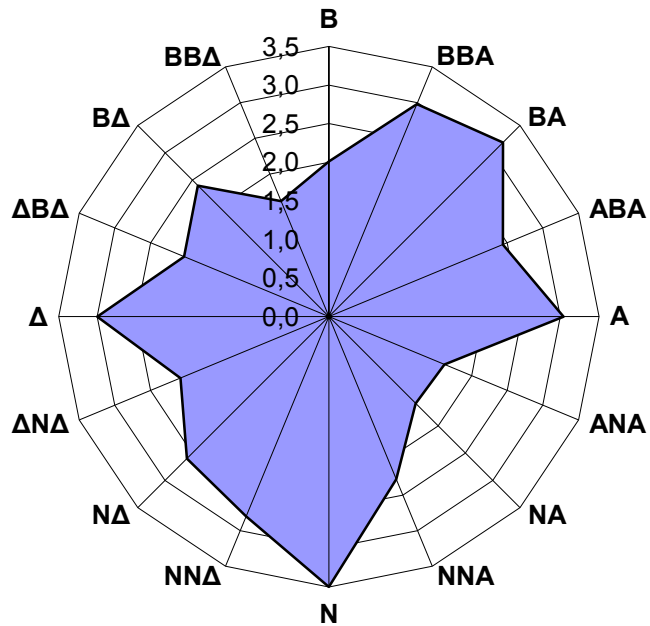
3. Επίδραση μετεωρολογικών παραμέτρων στη ρύπανση

Οι παράμετροι της μετεωρολογίας που επηρεάζουν δραστικά τη διαμόρφωση των επιπέδων ατμοσφαιρικής ρύπανσης είναι η διεύθυνση και η ένταση του ανέμου, η ευστάθεια της ατμόσφαιρας και ειδικά για τους φωτοχημικούς ρύπους η ένταση της ηλιακής ακτινοβολίας και η διάρκεια της ηλιοφάνειας. Άλλες παράμετροι που διαμορφώνουν τα επίπεδα της ατμοσφαιρικής ρύπανσης είναι τα μετεωρολογικά κατακρημνίσματα και το ποσό υετού (βροχόπτωση, χιόνι κλπ), η σχετική υγρασία της ατμόσφαιρας και έμμεσα η θερμοκρασία.

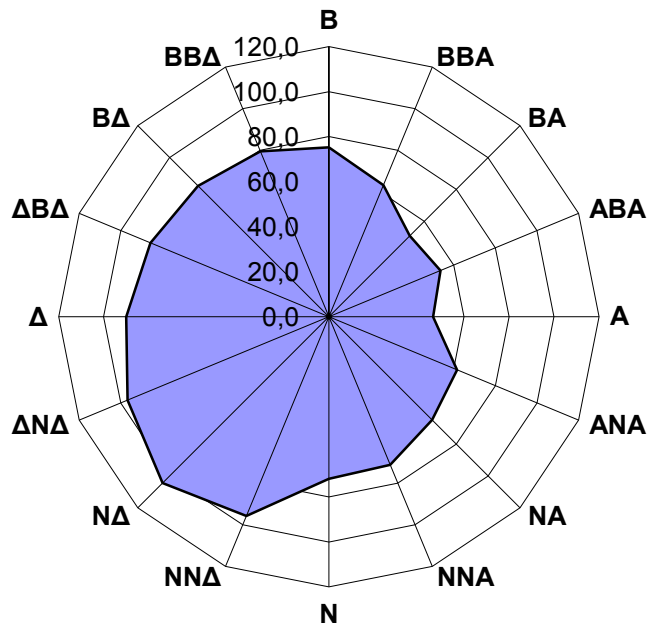
Στο Σχήμα 3.1 παρουσιάζονται οι συχνότητες εμφάνισης (%), των διευθύνσεων του ανέμου στο σταθμό Πατησίων, ενώ στο Σχήμα 3.2 αποτυπώνεται η μέση ταχύτητα του ανέμου (σε m/s), ανά διεύθυνση ανέμου στον ίδιο σταθμό για το έτος 2018.



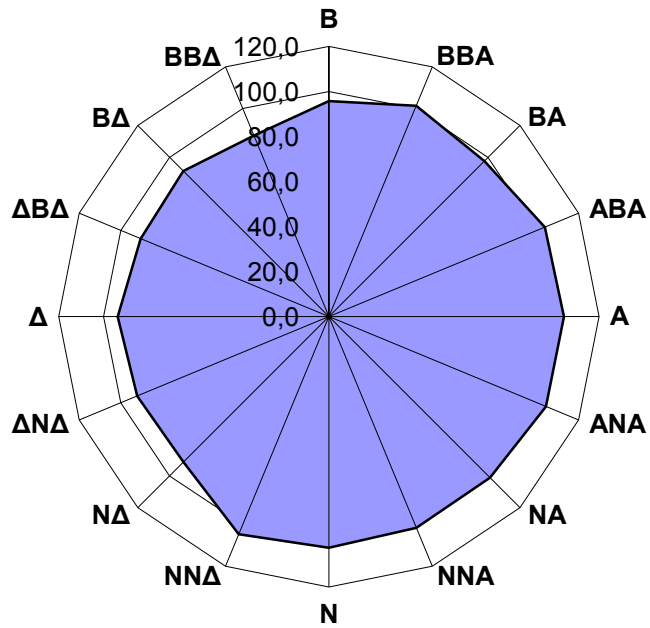
Σχήμα 3.1 Συχνότητες, επί τοις εκατό (%), των διευθύνσεων του ανέμου στο σταθμό Πατησίων για το έτος 2018.



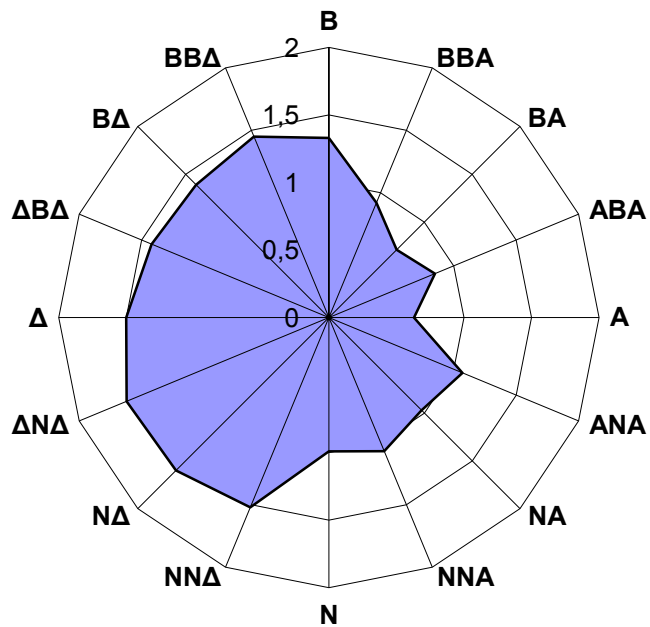
Σχήμα 3.2 Μέση ταχύτητα (σε m/s) ανά διεύθυνση ανέμου, στο σταθμό Πατησίων για το έτος 2018.



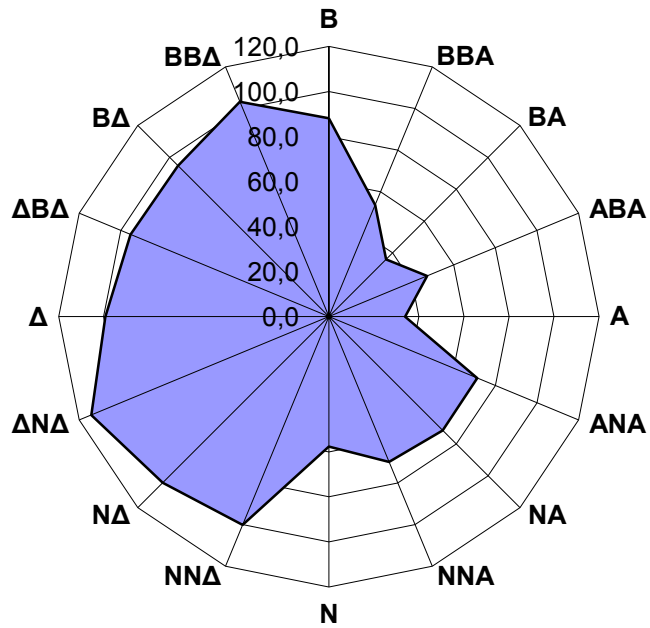
Σχήμα 3.3 Μέσες τιμές NO₂ (σε μg/m³) για το έτος 2018 στο σταθμό Πατησίων για κάθε διεύθυνση του ανέμου.



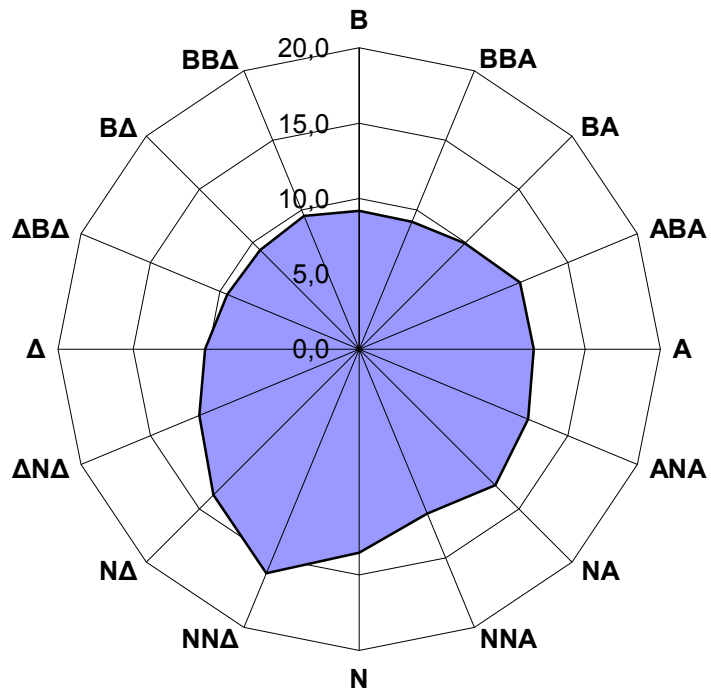
Σχήμα 3.4 Μέσες τιμές O₃ (σε µg/m³) για το έτος 2018 στο σταθμό Θρακομακεδόνες για κάθε διεύθυνση του ανέμου.



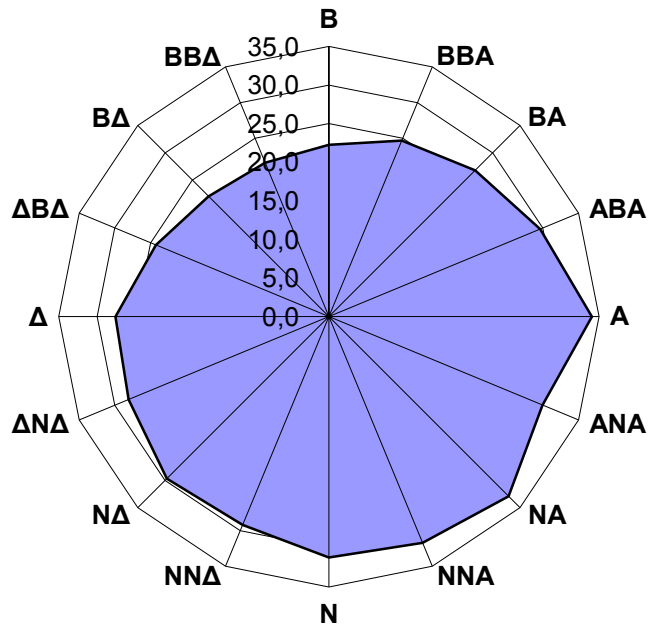
Σχήμα 3.5 Μέσες τιμές CO (σε mg/m³) για το έτος 2018 στο σταθμό Πατησίων για κάθε διεύθυνση του ανέμου.



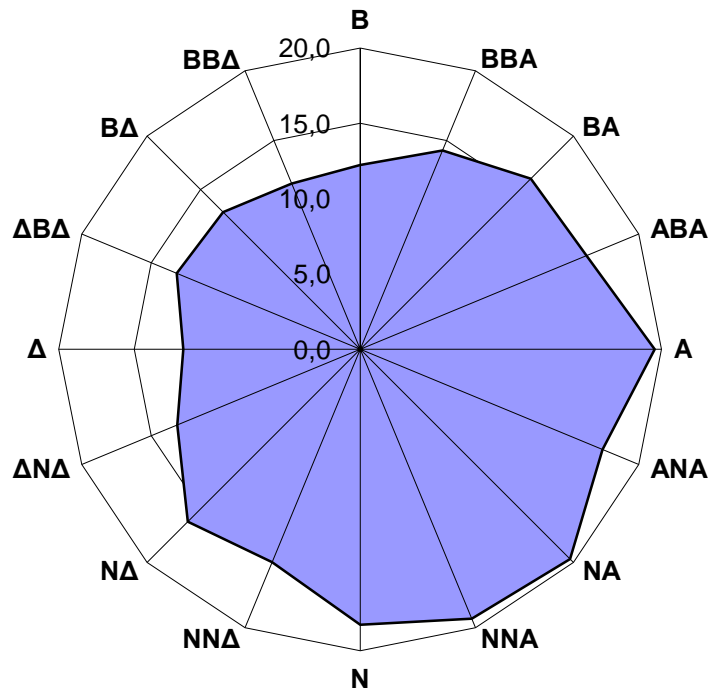
Σχήμα 3.6 Μέσες τιμές NO (σε µg/m³) για το έτος 2018 στο σταθμό Πατησίων για κάθε διεύθυνση του ανέμου.



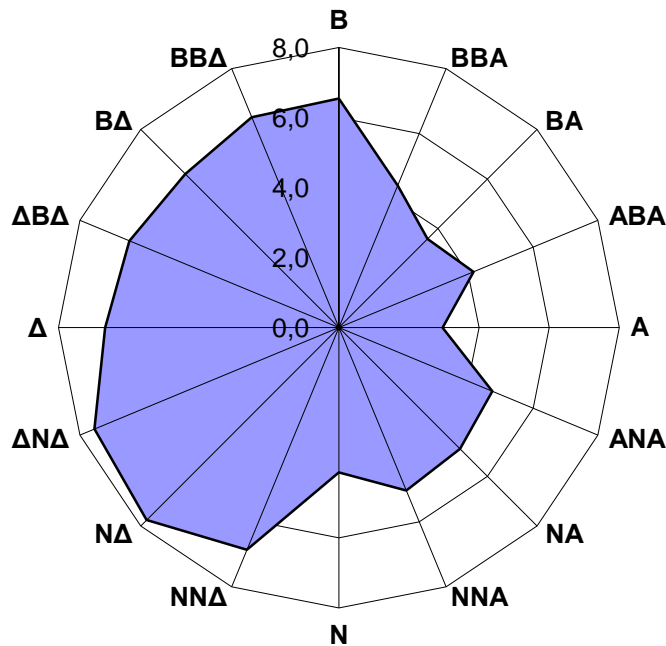
Σχήμα 3.7 Μέσες τιμές SO₂ (σε µg/m³) για το έτος 2018 στο σταθμό Ελευσίνα για κάθε διεύθυνση του ανέμου.



Σχήμα 3.8 Μέσες τιμές AS_{10} (σε $\mu g/m^3$) για το έτος 2018 στο σταθμό Λυκόβρυση για κάθε διεύθυνση του ανέμου.



Σχήμα 3.9 Μέσες τιμές $AS_{2,5}$ (σε $\mu g/m^3$) για το έτος 2018 στο σταθμό Λυκόβρυση για κάθε διεύθυνση του ανέμου.



Σχήμα 3.10 Μέσες τιμές βενζολίου (σε $\mu\text{g}/\text{m}^3$) για το έτος 2018 στο σταθμό Πατησίων για κάθε διεύθυνση του ανέμου.

Στα Σχήματα 3.3-3.10, δίνονται οι μέσες τιμές συγκεντρώσεων των ρύπων ανά διεύθυνση ανέμου (τριαντάφυλλα ρύπανσης). Από τα Σχήματα αυτά προκύπτει ότι, γενικά, μικρότερες τιμές συγκέντρωσης για τους πρωτογενείς κυρίως ρύπους, παρατηρούνται με ανέμους του βορειοανατολικού τομέα και μεγαλύτερες με ανέμους του νοτιοδυτικού κυρίως τομέα, γεγονός που κυρίως αποδίδεται στους ακόλουθους λόγους:

- Η κλειστή τοπογραφία του λεκανοπέδιου της Αθήνας, δυσχεραίνει τον αερισμό και τη διάχυση των ρύπων, λόγω της ύπαρξης ορεινών όγκων, ενώ έχει ως αποτέλεσμα, η επικρατούσα διεύθυνση του ανέμου να είναι είτε Βορειοανατολική είτε Νοτιοδυτική (άνοιγμα στα βορειοανατολικά μεταξύ των ορέων Πάρνηθας και Πεντέλης και στα νότια στο Σαρωνικό κόλπο). Οι Βορειοανατολικοί άνεμοι είναι συνοπτικοί και έχουν μεγαλύτερη μέση ταχύτητα σε σχέση με τους Νοτιοδυτικούς ανέμους (Σχήμα 3.2), συντελώντας έτσι καθοριστικά στη διάχυση των ρύπων. (Η μεγάλη ταχύτητα που αντιστοιχεί σε ανέμους Νοτίου τομέα (N) δεν είναι στατιστικά σημαντική λόγω του μικρού ποσοστού εμφάνισης τέτοιων ανέμων).
- Σε περίπτωση ασθενούς ή απουσίας συνοπτικής ροής, οι άνεμοι του νότιου τομέα είναι αποτέλεσμα τοπικού συστήματος κυκλοφορίας (θαλάσσια αύρα), γεγονός που ευνοεί την ανάπτυξη υψηλών συγκεντρώσεων δευτερογενών (φωτοχημικών) ρύπων στην περιφέρεια του λεκανοπεδίου.
- Η εικόνα των ροδογραμμάτων είναι διαφορετική στα αιωρούμενα σωματίδια σε σχέση με τους αέριους ρύπους και ποικίλει με το είδος του σταθμού. Σε κάθε περίπτωση οι ισχυροί άνεμοι ενδέχεται να επηρεάζουν αυξητικά τα επίπεδα της σωματιδιακής ρύπανσης ιδιαίτερα σε περιπτώσεις γειννίας του σταθμού με χωμάτινο έδαφος λόγω αιώρησης.

4. Νομοθεσία σχετικά με την ποιότητα ατμόσφαιρας

Στη χώρα μας ισχύουν νομοθετημένα όρια και στόχοι για τους ρύπους διοξείδιο του θείου, αιωρούμενα σωματίδια (ΑΣ₁₀ και ΑΣ_{2,5}), διοξείδιο του αζώτου, όζον, μονοξείδιο του άνθρακα, βενζόλιο, μόλυβδος, αρσενικό, κάδμιο, νικέλιο και βενζο(α)πυρένιο σύμφωνα με αυτά που έχουν καθιερωθεί στην Ευρωπαϊκή Ένωση. Τα όρια ή οι στόχοι αυτοί αναφέρονται τόσο στην προστασία της ανθρώπινης υγείας όσο και των οικοσυστημάτων και δίνονται στο Παράρτημα IV.

Οι οδηγίες που αφορούν στην ποιότητα της ατμόσφαιρας είναι:

- Οδηγία 2008/50/ΕΚ για την ποιότητα του ατμοσφαιρικού αέρα και καθαρότερο αέρα για την Ευρώπη (ΚΥΑ ΗΠ 14122/549/Ε103, ΦΕΚ 488Β/30.3.11).
- Οδηγία 2004/107/ΕΚ σχετικά με το αρσενικό, το κάδμιο, τον υδράργυρο, το νικέλιο και τους πολυκυκλικούς υδρογονάνθρακες στον ατμοσφαιρικό αέρα (ΚΥΑ ΗΠ 22306/1075/Ε103, ΦΕΚ 920Β/8.6.07).
- Οδηγία 2015/1480/ΕΚ για την τροποποίηση ορισμένων παραρτημάτων των οδηγιών του Ευρωπαϊκού Κοινοβουλίου και του Συμβουλίου 2004/107/ΕΚ και 2008/50/ΕΚ, οι οποίες ορίζουν τους κανόνες σχετικά με τις μεθόδους αναφοράς, την επικύρωση των δεδομένων και την τοποθεσία των σημείων δειγματοληψίας για την εκτίμηση της ποιότητας του ατμοσφαιρικού αέρα (ΚΥΑ 174505/607, ΦΕΚ 1311Β/13.4.17).

4.1 Αντιμετώπιση επεισοδίων ατμοσφαιρικής ρύπανσης

Με την Κ.Υ.Α 11824 (ΦΕΚ 369Β/24.5.93) θεσμοθετείται σχέδιο δράσης για την αντιμετώπιση επεισοδίων ατμοσφαιρικής ρύπανσης και τίθενται «όρια εκτάκτων μέτρων», για τον περιορισμό της ρύπανσης σε περιπτώσεις που κυρίως λόγω εξαιρετικά δυσμενών μετεωρολογικών συνθηκών για τη διάχυση της ρύπανσης, αναμένεται αύξηση των τιμών ρύπανσης.

Τα μέτρα λαμβάνονται όταν οι μετρούμενες τιμές υπερβούν ή προσεγγίσουν τα όρια εκτάκτων μέτρων (συναγερμού) και ταυτόχρονα υπάρχει πρόβλεψη για μετεωρολογικές συνθήκες που ευνοούν τη διατήρηση ή αύξηση των τιμών ρύπανσης για τις επόμενες ή την επόμενη ημέρα.

Η παραπάνω Κ.Υ.Α τροποποιήθηκε και οι οριακές τιμές λήψης εκτάκτων μέτρων, αντικαταστάθηκαν με τις νέες οριακές τιμές που αναφέρονται στο Παράρτημα XII της Οδηγίας 2008/50/ΕΚ (ΚΥΑ ΗΠ 14122/549/Ε103, ΦΕΚ 488Β/30.3.11).

Τα όρια λήψης εκτάκτων μέτρων που ισχύουν για την αντιμετώπιση της ατμοσφαιρικής ρύπανσης, παρουσιάζονται παρακάτω.

Πίνακας 4.1. Όρια εκτάκτων μέτρων

ΡΥΠΟΣ	ΧΡΟΝΙΚΗ ΒΑΣΗ	ΟΡΙΟ
Διοξείδιο του αζώτου (NO ₂)	1 ώρα	Όριο συναγερμού: 400 µg/m³ υπέρβαση της τιμής αυτής για 3 συνεχόμενες ώρες
Διοξείδιο του θείου (SO ₂)	1 ώρα	Όριο συναγερμού: 500 µg/m³ υπέρβαση της τιμής αυτής για 3 συνεχόμενες ώρες
Όζον (O ₃)	1 ώρα	Όριο συναγερμού: 240 µg/m³ υπέρβαση της τιμής αυτής για 3 συνεχόμενες ώρες για εφαρμογή σχεδίων δράσης

Δεδομένου ότι η κοινοτική νομοθεσία δεν διαθέτει όρια ενημέρωσης πληθυσμού και συναγερμού για τα ΑΣ₁₀ και για την αντιμετώπιση της ατμοσφαιρικής ρύπανσης από αιωρούμενα σωματίδια, εκδόθηκε η ΚΥΑ 70601 (ΦΕΚ 3272Β/23.12.13), η οποία θεσμοθετεί επίπεδα συγκεντρώσεων αιωρούμενων σωματιδίων ΑΣ₁₀, καθορίζει μέτρα ενημέρωσης και προστασίας του πληθυσμού καθώς και μέτρα μείωσης των εκπομπών αιωρούμενων σωματιδίων από εστίες καύσης, τη βιομηχανία-βιοτεχνία και την κυκλοφορία οχημάτων ανάλογα με τα επίπεδα των συγκεντρώσεων.

Πίνακας 4.2. Επίπεδα συγκεντρώσεων αιωρούμενων σωματιδίων ΑΣ₁₀

ΡΥΠΟΣ	ΧΡΟΝΙΚΗ ΒΑΣΗ	ΟΡΙΟ
Αιωρούμενα Σωματίδια ΑΣ ₁₀	24 ώρες	51-75 µg/m³ συστάσεις για ευπαθείς ομάδες πληθυσμού
		76-100 µg/m³ συστάσεις για ευπαθείς ομάδες πληθυσμού και το γενικό πληθυσμό
		101-150 µg/m³ συστάσεις για ευπαθείς ομάδες πληθυσμού και το γενικό πληθυσμό, μέτρα μείωσης των εκπομπών αιωρούμενων σωματιδίων από εστίες καύσης, βιομηχανικές-βιοτεχνικές δραστηριότητες και την κυκλοφορία
		>150 µg/m³ συστάσεις για ευπαθείς ομάδες πληθυσμού και το γενικό πληθυσμό, μέτρα μείωσης των εκπομπών αιωρούμενων σωματιδίων από εστίες καύσης, βιομηχανικές-βιοτεχνικές δραστηριότητες και την κυκλοφορία

5. Σύγκριση τιμών ατμοσφαιρικής ρύπανσης με όρια

5.1 Σωματίδια (A_{Σ10})

- Υπερβάσεις ορίου που αφορά στη μέση ετήσια τιμή

Δεν παρατηρήθηκαν υπερβάσεις της μέσης ετήσιας οριακής τιμής σε καμία θέση μέτρησης μετά την αφαίρεση της συνεισφοράς της μεταφοράς σκόνης από απομακρυσμένες ξηρές περιοχές.

Πίνακας 5.1 Σύγκριση μέσων ετήσιων τιμών A_{Σ10} σε μg/m³ ανά έτος με την οριακή τιμή.

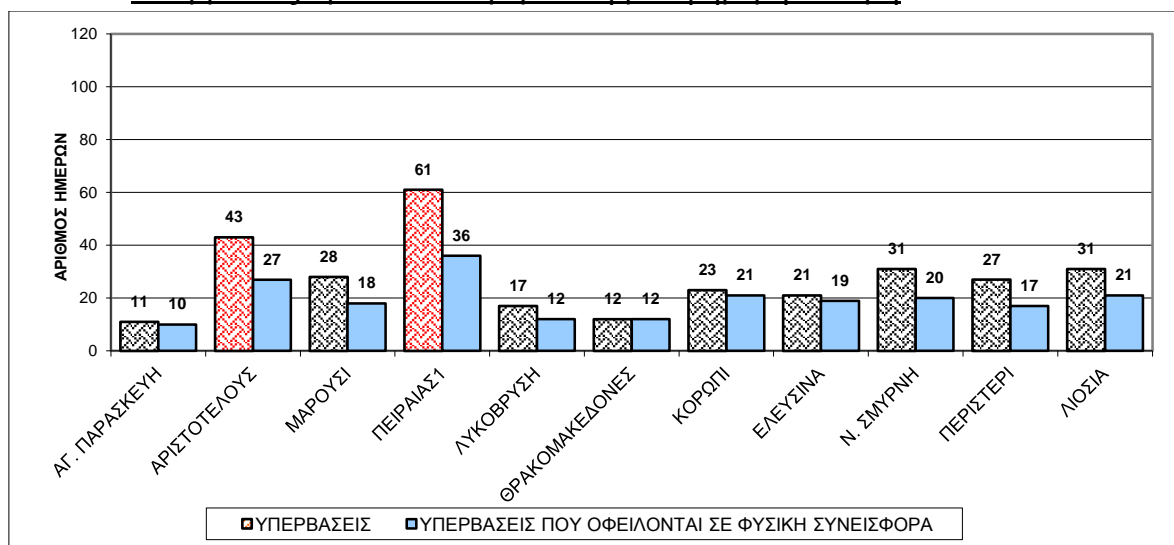
	ΠΕΙ-1	ΜΑΡ	ΛΥΚ	ΑΓ. ΠΑΡ	ΑΡΙ	ΘΡΑ	ΚΟΡ	ΕΛΕ	ΣΜΥ	ΠΕΡ	ΛΙΟ
2001	58	55	60	47	55	31					
2002	62		62	38	54	34					
2003			58	37	56	32					
2004		29	63	40	58	33					
2005		46	53	41	53	33					
2006		48(2)	59(4)	34(5)	57(3)	27(4)					
2007	47(4)	48(2)	55(4)	28(3)	51(4)	213					
2008	33(2)	48(3)	55(7)	28(3)	57(6)	27(3)	42(3)				
2009	35(3)	43(3)	43(5)	26(4)	49(4)	30(2)	32(4)	47(5) *			
2010	44(3)	41(3)	39(4)	28(2)	49(5)	37(4)	36(4)	48(3) *			
2011	44(1)	42(1)	30(1)	23(1)	42(1)	30(1)	22(1)	31(0) *			
2012	39(1)	31(0)	37(2)	23(1)	31(1)	27(1)	27(1)	37(1) *			
2013	37(5)	35(4)	42(5)	26(4)	40(8)	29(6)		38(9) *			
2014	34(5)	30(3)	30(5)	21(4)	34(5)						
2015	45(6)	33(7)	32(6)	21(6)	41(7)	21(6)	29(3)	27(3)	34(4)	30(4)	35(3)
2016	43(5)	32(6)	29(6)	22(6)	41(6)	21(6)	31(6)	31(6)	30(5)	35(5)	34(5)
2017	41(5)	26(4)	25(4)	17(4)	36(4)	17(4)	27(4)	26(4)	28(5)	31(4)	29(4)
2018	39(8)	30(9)	27(7)	20(8)	36(8)	20(7)	31(9)	29(8)	31(8)	39(8)	34(9)

Με κόκκινη γραφή σημειώνονται οι υπερβάσεις της οριακής τιμής

Στις παρενθέσεις εμφανίζεται η εκτιμώμενη συνεισφορά μεταφοράς σκόνης σε μg/m³ από απομακρυσμένες ξηρές περιοχές (π.χ. Σαχάρα) στη μετρούμενη συγκέντρωση της μέσης τιμής A_{Σ10}.

*Η μέση τιμή προέκυψε από ενδεικτικές μετρήσεις ομαλά κατανεμημένες στη διάρκεια του έτους

- Υπερβάσεις ορίου που αφορά στη μέση ημερήσια τιμή



Σχήμα 5.1 Αριθμός ημερών για το 2018 με μέση ημερήσια τιμή A_{Σ10} μεγαλύτερη από 50μg/m³ (Με κόκκινο χρώμα σχεδιάζονται οι περιπτώσεις στις οποίες σημειώθηκε υπέρβαση του ορίου).

Σημειώνεται ότι στην παραπάνω σύγκριση των μετρούμενων συγκεντρώσεων με τις οριακές τιμές σε ότι αφορά τη συνεισφορά των φυσικών πηγών, έχει εκτιμηθεί μόνο αυτή της σκόνης από απομακρυσμένες ξηρές περιοχές (π.χ. Σαχάρα). Από το 2011 η εκτιμώμενη συνεισφορά της σκόνης από απομακρυσμένες ξηρές περιοχές στις μετρούμενες συγκεντρώσεις, προέκυψε κάνοντας χρήση μετρήσεων από το σταθμό της Φινοκαλιάς (σταθμός EMEP), που λειτουργεί το Πανεπιστήμιο Κρήτης (Τμήμα Χημείας), και σύμφωνα με τη διαδικασία που αναφέρεται σε σχετικό έγγραφο της Ε. Επιτροπής (Commission staff working paper – SEC(2011), 208, 15.2.2011).

Από χημικό προσδιορισμό ιόντων στο κλάσμα των αιωρούμενων σωματιδίων ΑΣ₁₀, εκτιμάται ότι η συνεισφορά του θαλάσσιου άλατος δεν υπερβαίνει τα 2μg/m³.

- Υπερβάσεις επιπέδων συγκέντρωσης για λήψη βραχυπρόθεσμων μέτρων

Γενικά όποτε υπάρχει πρόβλεψη ή σημειώνεται υπέρβαση των επιπέδων συγκέντρωσης αιωρούμενων σωματιδίων για λήψη βραχυπρόθεσμων μέτρων περιορισμού των εκπομπών, λόγω των δυσμενών μετεωρολογικών συνθηκών που παρατηρούνται, εκδίδεται η σχετική ανακοίνωση από το ΥΠΕΝ με συστάσεις για αποφυγή της χρήσης τζακιών, θερμαστρών στερεών καυσίμων και θερμαστρών βιομάζας. Για το 2018 δεν υπήρξαν τέτοιες περιπτώσεις.

Στις περιπτώσεις όπου υπήρξε πρόβλεψη ή σημειώθηκε υπέρβαση των επιπέδων συγκέντρωσης αιωρούμενων σωματιδίων για την ενημέρωση και προφύλαξη του πληθυσμού, λόγω των δυσμενών μετεωρολογικών συνθηκών που παρατηρήθηκαν ή μεταφοράς σκόνης από απομακρυσμένες ξηρές περιοχές, το ΥΠΕΝ συνεργάστηκε με το Υπουργείο Υγείας το οποίο εξέδωσε σχετικές ανακοινώσεις.

5.2 Σωματίδια (ΑΣ_{2,5})

Δεν παρατηρήθηκαν υπερβάσεις της μέσης ετήσιας οριακής τιμής (25μg/m³) σε καμία θέση μέτρησης.

5.3 Διοξείδιο του θείου

- Υπερβάσεις του ορίου που αφορά στη μέση ωριαία τιμή

Δεν παρατηρήθηκαν υπερβάσεις της οριακής τιμής (350μg/m³) σε κανένα σταθμό μέτρησης.

- Υπερβάσεις του ορίου που αφορά στη μέση ημερήσια τιμή

Υπέρβαση της οριακής τιμής (125μg/m³), δεν παρουσιάστηκε για κανένα σταθμό μέτρησης.

5.4. Διοξείδιο του αζώτου

- Υπερβάσεις ορίου που αφορά στη μέση ετήσια τιμή

Πίνακας 5.2 Σύγκριση μέσων ετήσιων τιμών NO₂ σε µg/m³ ανά έτος με τις αντίστοιχες οριακές τιμές.

ΣΤΑΘΜΟΙ	2006	2007	2008	2009	2010	2011	2012	2013	2014	2015	2016	2017	2018
ΠΑΤΗΣΙΩΝ	86	100	92	91	83	73	64	52	53	67	70	78	71
ΑΘΗΝΑΣ	61	67	63	66	44	57	51	43	41	41	32	33	44
ΑΡΙΣΤΟΤΕΛΟΥΣ	68	65	49	41	48	33	54	50	52	52	47	54	48
ΠΕΙΡΑΙΑΣ1	66	72	60	71	46	44	41	36	33	52	64	62	63
ΓΕΩΠΟΝΙΚΗ	45	43	46	46	44	34	35	37	39	34	28	31	28
ΠΕΡΙΣΤΕΡΙ	41	41	40	43	36	28	26	27	26	28	29	32	28
ΝΕΑ ΣΜΥΡΝΗ	44	43	42	33	26	31	29	28	32	28	31	33	29
ΜΑΡΟΥΣΙ	35	29	28	26	22	23	28	25	25	25	27	29	26
ΛΙΟΣΙΑ	36	35	35	32	30	26	21	20	22	24	20	21	17
ΛΥΚΟΒΡΥΣΗ	30	34	31	33	22	22	21	21	24	19	20	22	20
ΘΡΑΚΟΜΑΚΕΔΟΝΕΣ	13	13	12	11	10	7	7	8	9	8	8	7	8
ΑΓ. ΠΑΡΑΣΚΕΥΗ	23	22	21	18	13	12	9	8	8	11	14	13	14
ΕΛΕΥΣΙΝΑ	38	36	33	35	37	30	30	32	31	24	29	27	24
ΚΟΡΩΠΙ			15	16	13	11	10	13	14	20	28	17	21

Με κόκκινη γραφή σημειώνονται οι υπερβάσεις της οριακής τιμής

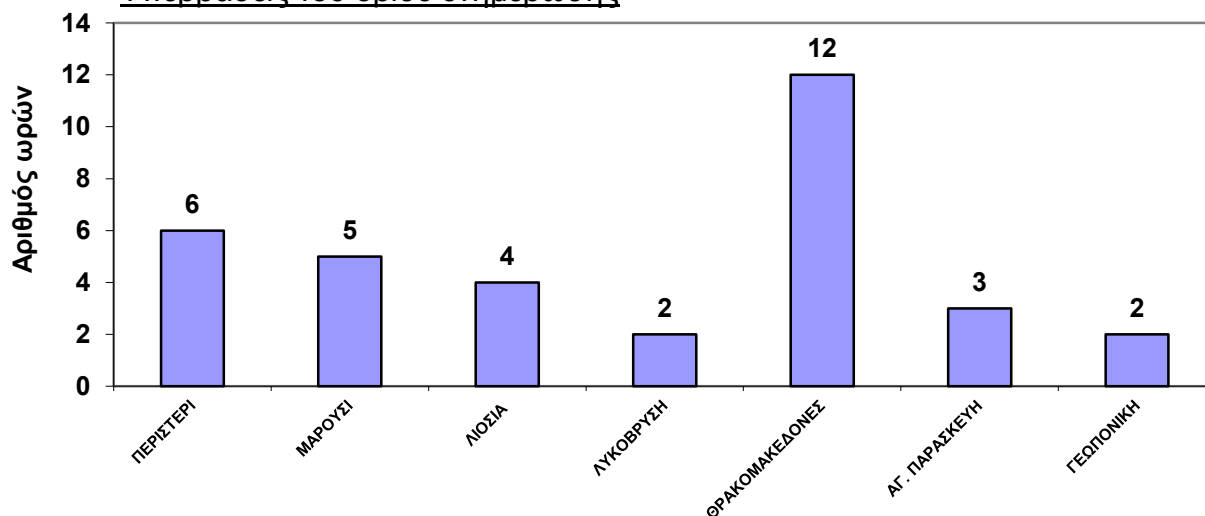
- Υπερβάσεις του ορίου που αφορά στη μέση ωριαία τιμή

Υπέρβαση της οριακής τιμής (200µg/m³, να μην υπερβαίνεται περισσότερο από 18 ώρες το χρόνο) δε σημειώθηκε σε κανένα σταθμό μέτρησης.

5.5 Όζον

Τα όρια και η τιμή –στόχος που ισχύουν για το όζον αναφέρονται στο Παράρτημα IV.

- Υπερβάσεις του ορίου ενημέρωσης



Σχήμα 5.2 Αριθμός ωρών για το 2018 με ωριαία τιμή όζοντος μεγαλύτερη από 180 µg/m³

- Υπερβάσεις του ορίου συναγερμού

Για τη λήψη εκτάκτων μέτρων θα πρέπει να καταγραφεί υπέρβαση του ορίου συναγερμού για τρεις συνεχόμενες ώρες. Για το έτος 2018 δεν σημειώθηκε υπέρβαση του ορίου συναγερμού ($240\mu\text{g}/\text{m}^3$). Γενικά, σε περιπτώσεις υπέρβασης του ορίου συναγερμού για τρεις συνεχόμενες ώρες, εφαρμόζοντας τη σχετική νομοθεσία, το ΥΠΕΝ εκδίδει τα εξής:

- Την προβλεπόμενη ανακοίνωση του Υπουργείου Υγείας με οδηγίες και συστάσεις για την αποφυγή των μετακινήσεων ευπαθών ομάδων πληθυσμού και σωματικής άσκησης από τα παιδιά.
- Τις προβλεπόμενες συστάσεις του ΥΠΕΝ, για μείωση της χρήσης των ΙΧ αυτοκινήτων και χρησιμοποίηση των ΜΜΜ, για αποφυγή διακίνησης υγρών καυσίμων, για ανεφοδιασμό των οχημάτων με καύσιμο μετά τη δύση του ήλιου, και κατά το δυνατόν αποφυγή λειτουργίας μονάδων και επιχειρήσεων.

Στις άλλες περιπτώσεις που σημειώθηκαν υπερβάσεις του ορίου ενημέρωσης το ΥΠΕΝ εξέδωσε την προβλεπόμενη για αυτές τις περιπτώσεις ανακοίνωση για την ενημέρωση του κοινού, η οποία περιλάμβανε και την ανακοίνωση του Υπουργείου Υγείας.

- Υπερβάσεις της τιμής-στόχου για την προστασία της ανθρώπινης υγείας

Στον επόμενο Πίνακα 5.3 δίνονται για την τριετία 2016-2018, ανά σταθμό μέτρησης οι υπερβάσεις της τιμής-στόχου για την προστασία της ανθρώπινης υγείας (μέγιστη μέση τιμή κυλιόμενου οκταώρου $120\mu\text{g}/\text{m}^3$ ως μέση τιμή τριών συνεχών ετών).

Πίνακας 5.3 Αριθμός ημερών με υπέρβαση του στόχου προστασίας της υγείας

	Ν.ΣΜΥ	ΛΙΟ	ΜΑΡ	ΠΕΡ	ΛΥΚ	ΘΡΑ	ΑΓ.ΠΑΡ	ΕΛΕ
2016-18	61	34	47	51	36	99	84	38

5.6 Μονοξείδιο του άνθρακα

Για το ρύπο αυτό το 2018 δεν υπήρξε υπέρβαση της οριακής τιμής.

5.7 Βενζόλιο

Υπήρξε υπέρβαση της ετήσιας οριακής τιμής ($5\mu\text{g}/\text{m}^3$) σε μία θέση μέτρησης (ΠΑΤΗΣΙΩΝ) όπου καταγράφηκε μέση ετήσια τιμή $5,9\mu\text{g}/\text{m}^3$.

6. Αξιολόγηση της ατμοσφαιρικής ρύπανσης της Αθήνας

Από τις συγκρίσεις των συγκεντρώσεων των μετρούμενων ρύπων με τα ισχύοντα όρια ποιότητας ατμόσφαιρας και τις οριακές ενδεικτικές τιμές που καθορίζονται στις Κοινοτικές Οδηγίες, προκύπτουν υπερβάσεις σε ορισμένους ρύπους. **Η κατάσταση της ατμοσφαιρικής ρύπανσης ανά ρύπο, στην Αθήνα κατά το έτος 2018, ήταν:**

- **Αιωρούμενα σωματίδια ΑΣ₁₀:** Τα αιωρούμενα σωματίδια ΑΣ₁₀, παρουσιάζουν υπέρβαση του ορίου που αφορά στη μέση ημερήσια τιμή σε δυο θέσεις μέτρησης που οφείλεται σε φυσικό αίτιο (μεταφορά σκόνης από τη Σαχάρα). Επίσης, δεν παρουσιάζουν υπέρβαση της μέσης ετήσιας οριακής τιμής σε κανένα σταθμό. Είναι από τους ρύπους που αποτελούν πρόβλημα για τα περισσότερα κράτη μέλη της Ε.Ε.
- **Αιωρούμενα σωματίδια ΑΣ_{2,5}:** Τα αιωρούμενα σωματίδια ΑΣ_{2,5}, δεν παρουσίασαν υπέρβαση της οριακής τιμής σε καμία θέση μέτρησης.
- **Διοξείδιο του θείου:** Ο ρύπος αυτός που παλαιότερα αποτελούσε έντονο πρόβλημα, έχει καταπολεμηθεί και δεν ξεπερνάει τα όρια σε καμία θέση μέτρησης.
- **Διοξείδιο του αζώτου:** Το διοξείδιο του αζώτου παρουσιάζει υπερβάσεις του ορίου της μέσης ετήσιας τιμής σε κάποιες θέσεις μέτρησης (σταθμοί κυκλοφορίας) ενώ δεν παρατηρήθηκε υπέρβαση του ορίου που αφορά στη μέση ωριαία τιμή σε κανένα σταθμό μέτρησης.
- **Όζον:** Παρατηρήθηκαν υπερβάσεις του ορίου ενημέρωσης και του στόχου για την προστασία της υγείας, κυρίως στους περιφερειακούς σταθμούς μέτρησης ενώ δεν παρατηρήθηκε υπέρβαση του ορίου συναγερμού. Οι υπερβάσεις αυτές οφείλονται κατά κύριο λόγο στη γεωγραφική θέση της χώρας (μεγάλη ηλιοφάνεια και υψηλές θερμοκρασίες, συνθήκες που ευνοούν το σχηματισμό του όζοντος) και παρουσιάζονται σε όλες τις νότιες χώρες της Ε.Ε.
- **Μονοξείδιο του άνθρακα:** Δεν σημειώθηκε υπέρβαση της οριακής τιμής.
- **Βενζόλιο:** Σημειώθηκε υπέρβαση της οριακής τιμής σε μια θέση μέτρησης (σταθμός κυκλοφορίας/αστικής χαράδρας).

ΠΑΡΑΡΤΗΜΑ Ι

ΚΥΡΙΟΙ ΑΤΜΟΣΦΑΙΡΙΚΟΙ ΡΥΠΟΙ:

ΠΕΡΙΓΡΑΦΗ, ΠΗΓΕΣ, ΕΠΙΔΡΑΣΕΙΣ

Ατμοσφαιρική ρύπανση

Ατμοσφαιρική ρύπανση καλείται, η παρουσία στην ατμόσφαιρα κάθε είδους ουσιών, σε συγκέντρωση ή διάρκεια που μπορούν να προκαλέσουν αρνητικές επιπτώσεις στην υγεία, στους ζωντανούς οργανισμούς και στα οικοσυστήματα και γενικά να καταστήσουν το περιβάλλον ακατάλληλο για τις επιθυμητές χρήσεις του. Κάτω από ορισμένες συνθήκες, η ατμοσφαιρική ρύπανση μπορεί να φτάσει σε επίπεδα που μπορεί να δημιουργήσουν ανεπιθύμητες συνθήκες διαβίωσης. Σε αυτήν την περίπτωση έχει επικρατήσει να λέγεται ότι έχουμε «Νέφος». Το «Νέφος» παρουσιάζεται με δύο μορφές:

Νέφος καπνομίχλης (ή τύπου Λονδίνου), σχηματίζεται όταν έχουμε υψηλή συγκέντρωση ρύπων, όπως μονοξειδίου του άνθρακα, διοξειδίου του θείου και αιωρούμενα σωματίδια, σε συνδυασμό με σχετικά χαμηλή θερμοκρασία και μεγάλη σχετική υγρασία.

Φωτοχημικό νέφος (ή τύπου Λος Άντζελες), παρουσιάζεται όταν έχουμε υψηλές θερμοκρασίες, μεγάλη ηλιοφάνεια σε ένταση και διάρκεια, μικρή σχετική υγρασία και υψηλή συγκέντρωση οξειδίων του αζώτου, υδρογονανθράκων, και δευτερογενών προϊόντων τους.

Για να αντιμετωπίσουμε αποτελεσματικά το πρόβλημα του νέφους πρέπει να γνωρίζουμε, πως δημιουργείται, από τι αποτελείται, τι επιδράσεις δημιουργεί στο περιβάλλον, και τι μπορούν να κάνουν πολίτες και κοινωνία για την καταπολέμησή του.

Βασικότεροι ατμοσφαιρικοί ρύποι: περιγραφή, πηγές και επιδράσεις

Όζον

Αέριο, άχρωμο, με χαρακτηριστική οσμή, το κύριο συστατικό του φωτοχημικού νέφους στην επιφάνεια της γης (τροπόσφαιρα). Ωστόσο, στην ανώτερη ατμόσφαιρα (στρατόσφαιρα), το όζον έχει ευεργετικό ρόλο απορροφώντας τη βλαβερή υπεριώδη ακτινοβολία του ήλιου.

Πηγές στο περιβάλλον

Το όζον σχηματίζεται στην κατώτερη ατμόσφαιρα (τροπόσφαιρα) ως αποτέλεσμα αλυσίδας χημικών αντιδράσεων μεταξύ του οξυγόνου, πτητικών οργανικών ενώσεων (VOCs), και οξειδίων του αζώτου υπό συνθήκες έντονης ηλιακής ακτινοβολίας και υψηλών θερμοκρασιών. Πηγές των ρύπων που συντελούν στη δημιουργία του όζοντος είναι τα οχήματα, εργοστάσια, χωματερές, χημικά διαλυτικά και πολλές άλλες μικρές πηγές όπως βενζινάδικα, αγροτικός εξοπλισμός, κλπ.

Επιδράσεις

Το όζον σε μεγάλες συγκεντρώσεις προκαλεί σημαντικά προβλήματα στην ανθρώπινη υγεία και το περιβάλλον όπου ζούμε. Προκαλεί ερεθισμό στην αναπνευστική οδό, διαταραχή της αναπνευστικής λειτουργίας, αίσθημα ξηρότητας στο λαιμό, πόνο στο στήθος, βήχα, άσθμα, φλεγμονή στους πνεύμονες, πιθανή επιδεκτικότητα σε μολύνσεις του αναπνευστικού και ερεθισμό των οφθαλμών. Το όζον είναι επίσης ο ρύπος με τις

δυσμενέστερες επιδράσεις στα φυτά, μειώνει την παραγωγή στις αγροτικές καλλιέργειες και προκαλεί ζημιά στη δασική βλάστηση.

Μονοξείδιο του άνθρακα

Αέριο, άοσμο και άχρωμο, εκπέμπεται από τις εξατμίσεις των μηχανών των βενζινοκίνητων αυτοκινήτων και πάσης φύσεως μηχανών όταν συντελείται ατελής καύση της καύσιμης ύλης.

Πηγές στο περιβάλλον

Κυρίως τα βενζινοκίνητα αυτοκίνητα. Υψηλές συγκεντρώσεις του μπορούν να βρεθούν σε κλειστά μέρη όπως χώροι στάθμευσης, ελλιπώς αεριζόμενες υπόγειες διαβάσεις, ή κατά μήκος των δρόμων σε περιόδους κυκλοφοριακής αιχμής.

Επιδράσεις

Μειώνει την ικανότητα του αίματος να μεταφέρει οξυγόνο σε βασικούς ιστούς του οργανισμού, επιδρώντας κυρίως στο καρδιαγγειακό και νευρικό σύστημα. Χαμηλές συγκεντρώσεις του επηρεάζουν δυσμενώς άτομα με καρδιακά προβλήματα και μειώνουν τις σωματικές επιδόσεις νεαρών και υγιών ατόμων. Υψηλότερες συγκεντρώσεις προκαλούν συμπτώματα όπως ζαλάδα, πονοκεφάλους και κόπωση.

Διοξείδιο του αζώτου

Είναι αέριο με καφεκίτρινο χρώμα και ιδιάζουσα οσμή. Σε υψηλές συγκεντρώσεις δίνει το χαρακτηριστικό χρώμα του στην όψη του ουρανού στις αστικές περιοχές.

Πηγές στο περιβάλλον

Η χρήση καυσίμων κυρίως σε αυτοκίνητα αλλά και σε βιομηχανικούς καυστήρες ή σε σταθμούς ηλεκτροπαραγωγής παράγει μονοξείδιο του αζώτου. Αυτό με διάφορες χημικές αντιδράσεις που ενισχύονται με την παρουσία της ηλιακής ακτινοβολίας μετατρέπεται σε διοξείδιο του αζώτου.

Επιδράσεις

Σημαντικός ρύπος για τη δημιουργία όξινης βροχής. Σε υψηλές συγκεντρώσεις βλάπτει ανθρώπους και βλάστηση. Στα παιδιά μπορεί να προκαλέσει αναπνευστικές ασθένειες. Στους ασθματικούς προκαλεί δυσκολία στην αναπνοή.

Αιωρούμενα Σωματίδια

Υλικά σε στερεή ή υγρή φάση που μπορούν να αιωρούνται στην ατμόσφαιρα για μεγάλα χρονικά διαστήματα. Ικανά σε υψηλά επίπεδα να μεταβάλουν το μπλε χρώμα του ουρανού, λόγω σκέδασης, σε λευκό ή γκριζό. Προερχόμενα από ερήμους (Σαχάρα, Σαχελιανή ζώνη) είναι καφεκόκκινης απόχρωσης.

Πηγές στο περιβάλλον

- Φυσικές πηγές: ηφαιστειακή δραστηριότητα, θάλασσα, σκόνη από απογυμνωμένο έδαφος, γύρη.
- Ανθρωπογενείς πηγές: βιομηχανικές δραστηριότητες, παραγωγή τσιμέντου, γύψου, χυτήρια μεταλλεύματος, αυτοκίνητα (κυρίως πετρελαιοκίνητα οχήματα

και δίκυκλα), πυρκαγιές, καύση βιομάζας, αγροτικές δραστηριότητες, κατασκευές. Η συμμετοχή του αυτοκινήτου οφείλεται στην καύση του καυσίμου, στη φθορά των ελαστικών, των υλικών πέδησης και του οδοστρώματος και στην επαναιώρηση. Μικρότερα σε μέγεθος σωματίδια (δευτερογενή) δημιουργούνται στην ατμόσφαιρα από αντιδράσεις αερίων ρύπων. Τα δευτερογενή αιωρούμενα σωματίδια μπορούν να διαχωριστούν σε ανόργανα (αμμώνιο, νιτρικά και θειικά έχοντας ως πρόδρομες ουσίες την αμμωνία, τα αζωτοξείδια και τα οξειδία του θείου) και οργανικά (έχοντας ως πρόδρομους τους πτητικούς υδρογονάνθρακες). Με μια σειρά αντιδράσεων μπορούν να παραχθούν οργανικές ουσίες που είτε συσσωματώνονται και παράγουν νέα σωματίδια είτε συμπυκνώνονται πάνω σε υπάρχοντα σωματίδια. Η παραγωγή όζοντος σχετίζεται με παραγωγή δευτερογενών σωματιδίων.

Επιδράσεις

Οι επιδράσεις στην υγεία εξαρτώνται πολύ από το μέγεθος των σωματιδίων και τη σύστασή τους. Όσο μικρότερα σε μέγεθος είναι τα σωματίδια τόσο βαθύτερα εισχωρούν στο αναπνευστικό σύστημα του ανθρώπου. Γενικά σωματίδια με μέγεθος μεγαλύτερο από 10μm δεν εισχωρούν στο αναπνευστικό σύστημα. Τα μικρότερα από 10μm σωματίδια επηρεάζουν την αναπνοή και προκαλούν ασθένειες στο αναπνευστικό. Ομάδα υψηλού κινδύνου αποτελούν ηλικιωμένοι, παιδιά και άτομα που πάσχουν από άσθμα. Προκαλούν, επίσης, φθορές στα υλικά και μειώνουν την ορατότητα. Τα αιωρούμενα σωματίδια επηρεάζουν τις ηλεκτρικές ιδιότητες της ατμόσφαιρας συνεισφέροντας στη δημιουργία νεφών ως πυρήνας συμπύκνωσης και επιδρούν στο κλίμα μεταβάλλοντας το ισοζύγιο ακτινοβολίας στην ατμόσφαιρα.

Διοξείδιο του θείου

Άχρωμο, αέριο, άοσμο σε χαμηλές συγκεντρώσεις αλλά με έντονη ερεθιστική οσμή σε πολύ υψηλές συγκεντρώσεις.

Πηγές στο περιβάλλον

Εργοστάσια παραγωγής ενέργειας, βιομηχανίες, κεντρικές θερμάνσεις, διυλιστήρια πετρελαίου, χημικές βιομηχανίες, χαρτοβιομηχανίες.

Επιδράσεις

Επηρεάζει άτομα με αναπνευστικά προβλήματα από μόνο του ή ως συνέργεια με τα σωματίδια και προκαλεί αλλοιώσεις σε βλάστηση και μέταλλα. Μειώνει την ορατότητα και αυξάνει την οξύτητα λιμνών και ποταμών.

Μόλυβδος, Αρσενικό, Κάδμιο και Νικέλιο

Είναι μέταλλα τα οποία βρίσκονται στην ατμόσφαιρα κυρίως στα σωματίδια είτε υπό στοιχειακή μορφή είτε υπό μορφή ενώσεων (οξειδίων, θειικών ή θειούχων).

Πηγές στο περιβάλλον

- Φυσικές πηγές: Ο μόλυβδος, βρίσκεται στο έδαφος ως αποτέλεσμα της αποσάθρωσης βράχων, της ηφαιστειακής δραστηριότητας, των πυρκαγιών δασών κ.α. Το αρσενικό βρίσκεται σε αφθονία στις ορεινές περιοχές της Ευρώπης με τη μορφή θειούχων ενώσεων. Άλλες φυσικές πηγές αρσενικού είναι

η ηφαιστειακή δραστηριότητα, από την οποία εκπέμπεται με μορφή θειούχων αλάτων ή οξειδίων. Το κάδμιο βρίσκεται στη φύση σε μικρές ποσότητες κυρίως σε ορυκτά που περιέχουν θειούχες ενώσεις του ψευδαργύρου, μολύβδου και χαλκού. Επίσης, προέρχεται από τη βλάστηση, τις πυρκαγιές δασών και τα ηφαιστεια. Το νικέλιο, βρίσκεται σε μεγάλη αφθονία στους μετεωρίτες, στον γήινο πυρήνα και σε λιγότερη έκταση στην επιφάνεια της γης. Κυρίως βρίσκεται σε μορφή θειούχων αλάτων ή οξειδίων.

- Ανθρωπογενείς πηγές: Ο μόλυβδος, εκπέμπεται κυρίως από τις διεργασίες παραγωγής του, από την απόρριψη στο περιβάλλον προϊόντων που περιέχουν μόλυβδο και από την καύση υγρών καυσίμων και ξύλων. Το αρσενικό εκπέμπεται κυρίως υπό μορφή οξειδίων, από χυτήρια αρσενικού και από την καύση καυσίμων. Παλαιότερα η χρήση ζιζανιοκτόνων ήταν ακόμη μια πηγή ρύπανσης. Το κάδμιο, εκπέμπεται από τις παραγωγικές διαδικασίες παραγωγής μολύβδου, ψευδαργύρου, χαλκού, σιδήρου ή χάλυβα με τη μορφή θειούχων ή θειικών αλάτων. Επίσης από την καύση καυσίμων υπό τη μορφή οξειδίων ή υπό στοιχειακή μορφή και από την καύση απορριμμάτων υπό τη μορφή χλωριούχων αλάτων. Το νικέλιο, εκπέμπεται από την καύση καυσίμων, από μεταλλουργικές εργασίες παραγωγής νικελίου ή χάλυβα. Το νικέλιο από τις διεργασίες αυτές εκπέμπεται ως θειικό άλας ή υπό τη μορφή οξειδίων. Χρησιμοποιείται ευρέως στη βιομηχανία ως καταλύτης.

Επιδράσεις

Ο μόλυβδος προκαλεί κυρίως αναιμία. Το αρσενικό επιδρά κυρίως στο ανώτερο αναπνευστικό και στο καρδιαγγειακό σύστημα και προκαλεί επίσης αύξηση της αρτηριακής πίεσης. Είναι επίσης πιθανόν να προκαλεί καρκίνο στους πνεύμονες. Το κάδμιο επιδρά κυρίως στα νεφρά. Επίσης έχει χαρακτηριστεί ως καρκινογόνο (προκαλεί καρκίνο των πνευμόνων). Το νικέλιο δεν θεωρείται καρκινογόνο. Πιθανόν να προκαλεί δερματικές παθήσεις.

Πρέπει να τονισθεί ότι τα μέταλλα αυτά επιδρούν στην υγεία κυρίως μέσω της τροφικής αλυσίδας εάν έχει μολυνθεί και λιγότερο με την εισπνοή.

Πολυκυκλικοί Αρωματικοί Υδρογονάνθρακες (ΠΑΥ)

Είναι οργανικές χημικές ενώσεις που περιέχουν άνθρακα και υδρογόνο. Αποτελούνται από τρεις ή περισσότερους συμπυκνωμένους βενζολικούς δακτυλίους και βρίσκονται κυρίως υπό μορφή ατμών ή σωματιδίων. Η χαρακτηριστικότερη ένωση της κατηγορίας αυτής είναι το βενζο(α)πυρένιο.

Πηγές στο περιβάλλον

Στις φυσικές πηγές περιλαμβάνονται πυρκαγιές και η ηφαιστειακή δραστηριότητα. Στις ανθρωπογενείς πηγές περιλαμβάνονται η βιομηχανία (παραγωγής κωκ, αλουμινίου και επεξεργασίας ξύλου), η θέρμανση στις οικίες όταν χρησιμοποιούνται ξύλα και κάρβουνο και τα οχήματα κυρίως αυτά που χρησιμοποιούν πετρέλαιο ως καύσιμο.

Επιδράσεις

Ορισμένοι από τους Πολυκυκλικούς Αρωματικούς Υδρογονάνθρακες και κυρίως το βενζο(α)πυρένιο έχουν χαρακτηριστεί ως καρκινογόνες ενώσεις.

Βενζόλιο

Χημική ένωση σε υγρή μορφή που αποτελείται από άνθρακα και υδρογόνο με χαρακτηριστική οσμή. Στην ατμόσφαιρα βρίσκεται σε μορφή ατμών επειδή το σημείο ζέσεώς του είναι χαμηλό.

Πηγές στο περιβάλλον

Το βενζόλιο εκπέμπεται στην ατμόσφαιρα κυρίως από ανθρωπογενείς δραστηριότητες. Η κύρια πηγή είναι τα βενζινοκίνητα οχήματα ενώ άλλες πηγές είναι η βιομηχανία (διυλιστήρια, χημική βιομηχανία), η διακίνηση καυσίμων και η οικιακή θέρμανση (καύση βιομάζας).

Επιδράσεις

Το βενζόλιο προκαλεί ασθένειες του αίματος και έχει χαρακτηριστεί ως καρκινογόνος ένωση.

ΠΑΡΑΡΤΗΜΑ ΙΙ

**ΔΙΑΧΡΟΝΙΚΗ ΜΕΤΑΒΟΛΗ ΜΕΣΩΝ ΕΤΗΣΙΩΝ ΤΙΜΩΝ
ΑΤΜΟΣΦΑΙΡΙΚΗΣ ΡΥΠΑΝΣΗΣ**

Διαχρονική μεταβολή μέσων ετήσιων τιμών NO₂ (ωριαίες τιμές, μg/m³)

	ΠΑΤ	ΑΘΗ	ΑΡΙ	ΠΕΙ-1	ΓΕΩ	ΠΕΡ	ΣΜΥ	ΜΑΡ	ΛΙΟ	ΛΥΚ	ΖΩΓ	ΘΡΑ	ΓΑΛ	ΑΓ.ΠΑΡ	ΕΛΕ	ΠΕΙ-2	ΓΟΥ	ΚΟΡ
1984	105				37		23		24									
1985	113			98	34		20		14									
1986	107			92	47		29		25									
1987	105			80	57		33		24									
1988	117	89		88	61		40		34									
1989	121	87		75	66		41											
1990	120	84		76	55	71	29	42	36									
1991	110	78		67	74	64	38	35	36									
1992	118	66		75	50	58	51	31	23									
1993	106	73		69	44	46	37	36	23									
1994	102	70	93	74	39	55	51	34	30	33								
1995	95	91	98	65	50	55	48	36	34	36								
1996	95	80	81	60	43	50	49	30	24	33								
1997	95	80	77	64	46	54	51	34	24	32								
1998	99	75	70	68	47	59	52	40	26	32								
1999	91	72	63	70	49	56	52	32		36								
2000	97	71	65	75	38	52	53	35	41	36								
2001	95	79	73	68	51	40	45	35	38	38	20	11	44	19	38	50	48	
2002	92	73	71	65	51	42	47	43	41	37	20	11	50	18	40	52	49	
2003	83	61	69	54	47	44	46	36	35	31	22	11	42	19	40	54	45	
2004	88	64	70	64	50	49	43	43	42	32	19	9	47	22	37	42	41	
2005	89	62	71	66	48	41	45	39	38	32	20	12	42	23	40	50	45	
2006	86	59	68	66	45	41	44	35	36	30	19	13		23	38	47	44	
2007	100	67	65	72	43	41	43	29	35	34	17	13		22	36	51	42	
2008	92	63	49	60	46	40	42	28	35	31		12		21	33		37	15
2009	91	66	41	71	46	43	33	26	32	33		11		18	35		36	16
2010	83	44	48	46	44	36	26	22	30	22		10		13	37			13
2011	73	57	33	44	34	28	31	23	26	22		7		12	30			11
2012	64	51	54	41	35	26	29	28	21	21		7		9	30			10
2013	52	43	50	36	37	27	28	25	20	21		8		8	32			13

	ΠΑΤ	ΑΘΗ	ΑΡΙ	ΠΕΙ-1	ΓΕΩ	ΠΕΡ	ΣΜΥ	ΜΑΡ	ΛΙΟ	ΛΥΚ	ΖΩΓ	ΘΡΑ	ΓΑΛ	ΑΓ.ΠΑΡ	ΕΛΕ	ΠΕΙ-2	ΓΟΥ	ΚΟΡ
2014	53	41	52	33	39	26	32	25	22	24		9		8	31			14
2015	67	41	52	52	34	28	28	25	24	19		8		11	24			20
2016	70	32	47	64	28	29	31	27	20	20		8		14	29			28
2017	78	33	54	62	31	32	33	29	21	22		7		13	27			17
2018	71	44	48	63	28	28	29	26	17	20		8		14	24			21

Διαχρονική μεταβολή μέσων ετήσιων τιμών ΝΟ (ωριαίες τιμές, $\mu\text{g}/\text{m}^3$)

	ΠΑΤ	ΑΘΗ	ΑΡΙ	ΠΕΙ-1	ΓΕΩ	ΠΕΡ	ΣΜΥ	ΜΑΡ	ΛΙΟ	ΛΥΚ	ΖΩΓ	ΘΡΑ	ΓΑΛ	ΑΓ.ΠΑΡ	ΕΛΕ	ΠΕΙ-2	ΓΟΥ	ΚΟΡ
1984																		
1985																		
1986																		
1987	162			70	52		25		7									
1988	182	73		67	52		30		11									
1989	205	88		65	64		41											
1990	206	80		69	88	58	29	46	10									
1991	188	117		56	57	43	29	41	10									
1992	180	85		83	50	33	38	47	10									
1993	185	92		68	38	45	25	57	15									
1994	161	82	98	69	57	64	31	40	32	26								
1995	149	89	78	53	46	64	27	26	28	22								
1996	139	88	66	59	44	61	34	20	14	18								
1997	135	97	62	56	44	35	35	24	19	19								
1998	129	111	90	49	41	44	33	27	15	23								
1999	126	77	48	48	41	40	34	25		21								
2000	124	78	62	45	43	30	36	33	35	22								
2001	122	73	59	52	34	15	24	23	21	18	3	4	22	3	8	20	31	
2002	132	75	68	54	42	22	27	35	27	23	3	6	28	3	21	24	33	
2003	110	57	53	59	29	17	19	16	16	15	4	8	15	2	15	19	25	
2004	133	64	59	56	39	26	25	28	24	20	3	10	26	3	22	25	28	
2005	137	58	55	51	31	18	21	21	19	19	3	5	19	2	14	20	24	
2006	121	57	55	51	34	18	25	20	21	18	3	5		2	15	20	24	
2007	125	56	51	53	31	15	20	13	21	16	2	5		2	20	21	22	

	ΠΑΤ	ΑΘΗ	ΑΡΙ	ΠΕΙ-1	ΓΕΩ	ΠΕΡ	ΣΜΥ	ΜΑΡ	ΛΙΟ	ΛΥΚ	ΖΩΓ	ΘΡΑ	ΓΑΛ	ΑΓ.ΠΑΡ	ΕΛΕ	ΠΕΙ-2	ΓΟΥ	ΚΟΡ
2008	115	54	53	47	27	16	19	21	17	16		5		2	15		23	5
2009	122	53	49	43	26	17	19	20	17	16		5		3	14		22	5
2010	109	52	45	32	19	11	14	13	12	11		5		2	13			5
2011	82	55	41	32	13	12	13	15	11	15		5		2	8			4
2012	77	42	37	35	15	7	11	13	8	14		4		3	7			4
2013	83	41	37	40	19	7	10	14	8	15		4		3	7			5
2014	82	40	35	51	16	8	12	13	9	12		4		4	8			6
2015	83	54	44	59	19	10	12	21	10	8		3		3	27			19
2016	81	39	37	54	17	10	12	15	9	9		3		2	21			18
2017	88	55	37	54	18	10	11	14	8	9		1		2	11			5
2018	77	44	33	50	13	8	9	10	7	8		1		2	12			8

Διαχρονική μεταβολή μέσων ετήσιων τιμών O₃ (ωριαίες τιμές, μg/m³)

	ΠΑΤ	ΑΘΗ	ΠΕΙ-1	ΓΕΩ	ΠΕΡ	ΣΜΥ	ΜΑΡ	ΛΙΟ	ΛΥΚ	ΖΩΓ	ΘΡΑ	ΓΑΛ	ΑΓ.ΠΑΡ	ΕΛΕ	ΠΕΙ-2	ΚΟΡ
1985																
1986																
1987	29			49		34		64								
1988	27		50	60		42		76								
1989	31		55	52		46		94								
1990	37	57	49	61	40	43	56	80								
1991	35	37	44	59	49	58	69	72								
1992	27	31	43	28		59	60	66								
1993	27	25	45		51	61	54	68								
1994	32	36	41	53	51	55	61	62	61							
1995	25	45	50	51	58	52	64	62	57							
1996	28	45	47	49	53	48	69	58	59							
1997	25	46	52	51	49	59	61	44	45							
1998	25	51	55	44	38	57	73	72	57							
1999	22	54	54	56	44	53	76	68	68							
2000	28	26	36	49	34	57	69	44	70							
2001	20	34	24	46	58	57	49	65	55	80	90	59	93	64	59	

	ΠΑΤ	ΑΘΗ	ΠΕΙ-1	ΓΕΩ	ΠΕΡ	ΣΜΥ	ΜΑΡ	ΛΙΟ	ΛΥΚ	ΖΩΓ	ΘΡΑ	ΓΑΛ	ΑΓ.ΠΑΡ	ΕΛΕ	ΠΕΙ-2	ΚΟΡ
2002	19	40	43	24	52	68	52	64	59	74	94	53	93	59	55	
2003	20	54	53	21	62	71	49	73	57	81	89	59	97	66	56	
2004	17	39	25	40	54	39	50	58	57	73	90	56	89	47	27*	
2005	18	34	20	51	57	67	59	58	60	68	84	53	87	48	30	
2006	19	31	43	47	57	51	58	52	60	61	82		81	44	36	
2007	19	28	39	45	55	65	59	52	61	66	79		63	46	48	
2008	20	30	43	45	58	67	57	72	74		84		75	64		74
2009	24	32	38	47	64	66	60	46	61		84		85	66		78
2010	23	33	43	46	60	72	61	56	56		89		85	55		79
2011	28	36	42	44	64	68	68	66	66		88		92	67		80
2012	24	38	41	52	65	66	70	68	72		94		85	69		82
2013	25	37	33	56	65	67	66	80	66		97		83	61		78
2014	20	34	35	52	61	63	63	69	60		74		57	45		75
2015	26	35	33	56	63	68	69	71	64		89		83	57		50
2016	18	37	24	54	65	65	62	67	55		91		86	61		53
2017	19	41	35	55	78	60	64	70	65		95		86	66		63
2018	17	40	40	56	66	74	66	65	64		96		83	64		66

*Στη μέση τιμή δεν περιλαμβάνονται οι θερινοί μήνες γιατί το όργανο ήταν εκτός λειτουργίας.

Διαχρονική μεταβολή μέσω ετήσιων τιμών SO₂ (ωριαίες τιμές, μg/m³)

	ΠΑΤ	ΑΘΗ	ΑΡΙ	ΠΕΙ-1	ΓΕΩ	ΠΕΡ	ΣΜΥ	ΜΑΡ	ΛΙΟ	ΖΩΓ	ΓΑΛ	ΑΓ.ΠΑΡ	ΕΛΕ	ΠΕΙ-2	ΚΟΡ
1984	55			50	18		18		26						
1985	48				26		20		12						
1986	47			75	17		14		25						
1987	57			58	21		18		15						
1988	82	39		61	21		19		17						
1989	87	42		59	25		22		53						
1990	80	47		50	16	27	21	17	30						
1991	67	55		73	22	35	38	14	27						
1992	87	59		71		28	49	17	36						
1993	61	53		52	33	23	33	17	17						
1994	58	45	56	45	34	30	43	14	22						

	ΠΑΤ	ΑΘΗ	ΑΡΙ	ΠΕΙ-1	ΓΕΩ	ΠΕΡ	ΣΜΥ	ΜΑΡ	ΛΙΟ	ΖΩΓ	ΓΑΛ	ΑΓ.ΠΑΡ	ΕΛΕ	ΠΕΙ-2	ΚΟΡ
1995	44	23	33	38	22	23	36	16	22						
1996	40	29	27	40	21	19	41	17	17						
1997	36	24	34	38	17	19	26	16	19						
1998	37	27	28	43	20	21	20	14	15						
1999	21	19	19	28	18	12	17	17	12						
2000	34	15	18	26	16	11	17	14	17						
2001	24	13	8	18	11	17	13	8	17	6	20	7	15	26	
2002	32	14	7	26	6	13	13	6	14	4	19	6	12	21	
2003	43	12	7	32	5	15	22	5	14	9	20	7	17	23	
2004	21	10	17	13	10	18	17	12	10	14	27	8	13	24	
2005	22	10	27	12	10	11			10	8	17	6	14		
2006	21	10		20	10	12	11		11				14		
2007	20	9		24	9	12	13		10				9		
2008	26	5		17	7	8			9				11		
2009	14	6		14											
2010	8	6		8		7	3						3		
2011	8	11		10		8							4		
2012	7	7		10		5							6		
2013	7	7		10		5							6		
2014	8	6		14		5							5		
2015	7	7	4	11									8		4
2016	4	5	4	8									7		
2017	6	7	5	10									9		3
2018	9	4	4	10									11		5

Διαχρονική μεταβολή μέσων ετήσιων τιμών CO (ωριαίες τιμές, mg/m³)

	ΠΑΤ	ΑΘΗ	ΑΡΙ	ΠΕΙ-1	ΓΕΩ	ΠΕΡ	ΣΜΥ	ΜΑΡ	ΛΥΚ
1984	8,9				1,3		2,0		
1985	7,7			4,2	1,4		1,9		
1986	6,0			4,4	1,1		1,8		
1987	6,7			4,3	1,3		1,6		
1988	7,4	4,1		4,7	1,8		1,7		
1989	8,4	4,9		5,2	1,8		1,9		
1990	7,4	4,2		4,1	1,5	2,8	1,8	1,7	
1991	6,8	4,9		4,0	1,4	3,9	1,9	1,7	
1992	5,5	6,7		3,2	1,2	2,6	2,0	3,4	
1993	5,2	3,6		4,3	2,1	1,7	1,9	2,4	
1994	5,4	3,5	3,8	3,5	1,9	2,7	2,0	1,6	1,1
1995	5,1	3,2	3,6	2,5	1,7	2,0	2,1	1,6	1,3
1996	4,8	3,7	2,6	2,3	1,6	1,7	1,8	1,5	1,1
1997	5,3	3,4	2,1	2,3	1,5	2,0	1,7	2,1	1,2
1998	5,6	4,2	2,3	2,4	1,7	2,1	1,8	2,0	1,3
1999	5,0	3,5	2,4	2,3	1,7	1,9	1,7	1,8	1,5
2000	4,9	2,6		2,0	1,9	1,3	1,5	2,0	1,5
2001	3,6	2,5		1,7	1,0	0,8	0,9	0,8	0,5
2002	3,3	2,5		1,6	1,2	0,8	1,0	0,9	0,6
2003	2,9	2,1		1,4	0,9	0,7	0,9	0,8	0,4
2004	2,9	2,1		1,1	0,9	0,8	0,9	0,8	0,5
2005	2,7	1,9		1,5	0,9	0,7	0,8	0,7	0,4
2006	2,5	1,9		1,3	0,9	0,7	0,9	0,7	
2007	2,4	1,7		1,2	0,9	0,7	0,7	0,7	
2008	2,0	1,6		1,0	0,8	0,6	0,6	0,6	
2009	1,5	1,5		1,0	0,8	0,6	0,6	0,7	
2010	1,6	1,3		0,9	0,6	0,6	0,8	0,6	
2011	1,6	1,4		1,0	0,6	0,5	0,7	0,6	
2012	1,5	1,3		0,8	0,6	0,5	0,6	0,6	
2013	1,4	1,3		0,8	0,7	0,6	0,7	0,6	
2014	1,5	1,2		0,9	0,6	0,4	0,6	0,5	
2015	1,3	1,2		0,8	0,6		0,5	0,5	
2016	1,4	0,7		0,8	0,5		0,5	0,4	
2017	1,3	0,7			0,5		0,4	0,4	
2018	1,2	0,5		0,8	0,6		0,6	0,5	

Διαχρονική μεταβολή μέσων ετήσιων τιμών καπνού (24ωρες τιμές, μg/m³)

	ΠΑΤ	ΑΘΗ	ΑΡΙ	ΠΕΙ-1	ΓΕΩ	ΠΕΡ	ΣΜΥ	ΜΑΡ
1984	192		123	89				
1985	172		130	84				
1986	140		91	60				
1987	165		118	71				
1988	147	64	94	63	37		35	
1989	123	45	69	37	32		26	
1990	104	44	64	42	27	34	22	21
1991	83	54	60	36	23	22	19	20
1992	86	59	63	33	30	33	23	20
1993	108	49	72	46		31	26	
1994	120	50	71	48		43	30	
1995	99	38	42	47		32	22	
1996	95	43	43	36		26	20	
1997	102	55	43	43		23	27	
1998	117	60	41	34		22	23	
1999	105	52	64			24	28	
2000	113	50	49			14	26	
2001	103	51	31			16	13	

	ΠΑΤ	ΑΘΗ	ΑΡΙ	ΠΕΙ-1	ΓΕΩ	ΠΕΡ	ΣΜΥ	ΜΑΡ
2002	80	34	38			26	25	
2003	46	34	39			24	19	
2004	54	47	41			22	20	
2005	48	40	30				17	

Διαχρονική μεταβολή μέσων ετήσιων τιμών ΑΣ₁₀ (24ωρες τιμές, μg/m³)

	ΠΕΙ-1	ΜΑΡ	ΖΩΓ	ΛΥΚ	ΑΓ.ΠΑΡ	ΑΡΙ	ΓΟΥ	ΘΡΑ	ΚΟΡ	ΕΛΕ	ΣΜΥ	ΛΙΟ	ΠΕΡ
2001	58	55	35	60	47	55	51	31					
2002	62		35	62	38	54	53	34					
2003			34	58	37	56		32					
2004		29	33	63	40	58		33					
2005		46	29	53	41	53		33					
2006		48	26	59	34	57	34	27					
2007	47	48	30	55	28	51	38	21					
2008	33	48		55	28	57		27	42				
2009	35	43		43	26	49		30	32	47*			
2010	44	41		39	28	49		37	36	48*			
2011	44	42		30	23	42		30	22	31*			
2012	39	31		37	23	31		27	27	37*			
2013	37	35		42	26	40		29		38*			
2014	34	30		30	21	34							
2015	45	33		32	21	41		21	29	27	34	35	30
2016	43	32		29	22	41		21	31	31	30	34	35
2017	41	26		25	17	36		17	27	26	28	29	31
2018	39	30		27	20	36		20	31	29	31	34	30

* Η μέση τιμή προέκυψε από ενδεικτικές μετρήσεις ομαλά κατανεμημένες στη διάρκεια του έτους.

Διαχρονική μεταβολή μέσων ετήσιων τιμών ΑΣ_{2,5} (24ωρες τιμές, μg/m³)

	ΠΕΙ-1	ΛΥΚ	ΓΟΥ	ΑΓ. ΠΑΡ	ΑΡΙ	ΕΛΕ	ΘΡΑ
2007	37	33		20			
2008	28	29	24	19			
2009	28	24	20	16			
2010	22	23		15			
2011	27	20		17			
2012		22		15			
2013		12*		10			
2014	20	16		11*			
2015	21	16		10	20	16	13
2016	20	17		12	20	21	13
2017	18	16		11	19	16	13
2018	18	15		12	19	18	13

* Μικρή πληρότητα μετρήσεων

Διαχρονική μεταβολή μέσων ετήσιων τιμών Pb (24ωρες τιμές, μg/m³)

	ΑΡΙ	ΡΕΝ	ΜΑΡ	ΘΡΑ	ΕΛΕ	ΣΜΥ	ΑΓ.ΠΑΡ
1987	0,7	0,42					
1988	0,67	0,49					
1989	0,5	0,39					
1990	0,57	0,34					
1991	0,45	0,23					
1992	0,45						
1993	0,4	0,27					
1994							
1995	0,43						
1996	0,33	0,23					

	ΑΡΙ	ΡΕΝ	ΜΑΡ	ΘΡΑ	ΕΛΕ	ΣΜΥ	ΑΓ.ΠΑΡ
1997	0,31	0,12					
1998	0,29	0,18					
1999	0,22	0,19					
2000							
2001	0,068		0,056	0,024			
2002	0,042		0,033		0,067		
2004	0,016						
2012					0,0005		
2013					0,0138		
2014						0,0036	
2015	0,0047					0,0038	
2017 ¹	0,0014						0,0048

Διαχρονική μεταβολή μέσω ετήσιων τιμών C₆H₆ (ωριαίες τιμές, μg/m³)

	ΠΑΤ	ΠΕΙ-1	ΣΜΥ	ΕΛΕ
2001	14,3			
2002	13,6			
2003				
2004	7,5			
2005	6,7			
2006	5,2			
2007	5,4			
2008	5,4			
2009	5,4			
2010	4,1			
2011	3,3			
2012	1,7			
2013	1,7			
2014	2,1			
2015	5,3*	3,4*	2,4*	0,6*
2016	5,7	2,8	1,7	0,8
2017	5,7	3,1	1,8	0,9
2018	5,9	2,9		1,2

* Μικρή πληρότητα μετρήσεων

Διαχρονική μεταβολή μέσω ετήσιων τιμών As (24ωρες τιμές, ng/m³)

	ΑΡΙ	ΣΜΥ	ΕΛΕ	ΑΓ.ΠΑΡ
2004	0,8			
2012			1,2	
2013			1,2	
2014		0,4		
2015	0,5	0,2		
2017 ¹	0,5			0,5

Διαχρονική μεταβολή μέσω ετήσιων τιμών Cd (24ωρες τιμές, ng/m³)

	ΑΡΙ	ΣΜΥ	ΕΛΕ	ΑΓ.ΠΑΡ
2004	0,6			
2012			0,3	
2013			0,3	
2014		0,7		
2015	0,1	0,1		
2017 ¹	0,01			0,01

Διαχρονική μεταβολή μέσων ετήσιων τιμών Ni (24ωρες τιμές, ng/m³)

	ΑΡΙ	ΣΜΥ	ΕΛΕ	ΑΓ.ΠΑΡ
2004	9,3			
2012			4,6	
2013			7,4	
2014		1,7		
2015	4,1	3,1		
2017¹	3,5			1,5

Διαχρονική μεταβολή μέσων ετήσιων τιμών BaP (24ωρες τιμές, ng/m³)

	ΑΡΙ	ΣΜΥ	ΕΛΕ	ΑΓ.ΠΑΡ
2004	0,9			
2014		0,5		
2015	0,5	0,4		
2017¹	0,3			0,01

1 Οι δειγματοληψίες και οι χημικές αναλύσεις πραγματοποιήθηκαν από τα εργαστήρια α) Ραδιενέργειας Περιβάλλοντος και β) Περιβαλλοντικών Ερευνών του ΕΚΕΦΕ Δημόκριτος δυνάμει σχετικού μνημονίου συνεργασίας με το ΥΠΕΝ.

ΠΑΡΑΡΤΗΜΑ ΙΙΙ

ΜΕΣΕΣ ΜΗΝΙΑΙΕΣ ΤΙΜΕΣ ΑΤΜΟΣΦΑΙΡΙΚΗΣ ΡΥΠΑΝΣΗΣ ΓΙΑ ΤΟ ΕΤΟΣ 2018

Μέσες μηνιαίες τιμές διοξειδίου του θείου (SO₂) (2018- τιμές σε µg/m³)

	ΙΑΝ	ΦΕΒ	ΜΑΡ	ΑΠΡ	ΜΑΙ	ΙΟΥ	ΙΟΥ	ΑΥΓ	ΣΕΠ	ΟΚΤ	ΝΟΕ	ΔΕΚ
Πατησίων	9	9	8	12	11	12	9	5	8	5		
Αθηνάς	5	4	5	7	4	5	5	3	3	3	3	5
Πειραιάς-1	9	8	11	17	11	12	12	6	5	4	6	16
Ελευσίνα	11	10	12	14	4	10	12	12	12	10	17	
Αριστοτέλους	4	3	4	7	5	6	5	3				
Κορωπί	2	2	3	3	3	4	6	7	7	7	8	7

Μέσες μηνιαίες τιμές μονοξειδίου του άνθρακα (CO) (2018- τιμές σε mg/m³)

	ΙΑΝ	ΦΕΒ	ΜΑΡ	ΑΠΡ	ΜΑΙ	ΙΟΥ	ΙΟΥ	ΑΥΓ	ΣΕΠ	ΟΚΤ	ΝΟΕ	ΔΕΚ
Πατησίων	1,8	1,4	1,2	1,2	1	1,1	1,2	0,8	1,1	1,3		
Αθηνάς	0,8	0,6	0,5	0,6	0,4	0,4	0,4	0,4	0,5	0,5	0,4	0,8
Γεωπονική	0,8	0,6	0,4	0,4	0,3	0,4	0,7	0,7	0,8	0,8	0,6	0,9
Ν. Σμύρνη	0,8	1,5	0,7	0,5	0,4	0,3	0,4	0,2	0,3	0,4	0,5	0,9
Μαρούσι	1,0	0,8	0,7	0,4	0,3	0,3	0,3	0,2	0,3	0,4	0,3	0,7
Πειραιάς					0,5	0,5	0,9	1,2	0,6	0,7	0,5	

Μέσες μηνιαίες τιμές όζοντος (O₃) (2018- τιμές σε µg/m³)

	ΙΑΝ	ΦΕΒ	ΜΑΡ	ΑΠΡ	ΜΑΙ	ΙΟΥ	ΙΟΥ	ΑΥΓ	ΣΕΠ	ΟΚΤ	ΝΟΕ	ΔΕΚ
Πατησίων	23	8	5	13	11	13	7	36	28	20	23	10
Αθηνάς	23	33	48	54	54	59	58	51	44	29	19	15
Πειραιάς-1	27	36	54	52	50	47	52	57	44	31	21	15
Γεωπονική	30	45	59	68	57	67	72	79	64	45	34	26
Ν. Σμύρνη	44	60	81	78	76	81	80	95	79	63		
Περιστέρι	36	51	66	77	82	86	92	96	80	52	33	36
Λιόσια	35	63	70	81	80	83	86	88	79	53	37	30
Μαρούσι	37	47	60	74	70	77	78	83	67			
Λυκόβρυση	38	49	56	75	73	78	82	94	76	56	49	29
Θρακομακεδόνες	71	91	101	115	111	110	110	111	101	76	70	54
Αγ. Παρασκευή	59	66	79	106	96	101	101	103	96	73	58	52
Ελευσίνα	36	46	67	83	77	81	83	89	77	57	42	31
Κορωπί	47	55	74	85	76	87	70	79	71	59	45	40

Μέσες μηνιαίες τιμές ΑΣ₁₀ (2018- τιμές σε µg/m³)

	ΙΑΝ	ΦΕΒ	ΜΑΡ	ΑΠΡ	ΜΑΙ	ΙΟΥ	ΙΟΥ	ΑΥΓ	ΣΕΠ	ΟΚΤ	ΝΟΕ	ΔΕΚ
Πειραιάς-1	38	34	52	52	42	38	39	32	33	41	33	39
Λυκόβρυση	29	24	39	30	28	24	25	23	22	28	21	31
Μαρούσι	40	26	46	34	29	26	25	23	23	30	21	32
Θρακομακεδόνες	14	12	37	28	22	21	20	22	18	24	15	11
Αγ. Παρασκευή	13	13	37	27	23	20	18	19	17	23	15	12
Αριστοτέλους	38	31	47	42	36	32	33	33	31	40	32	40
Κορωπί	30	29	48	35	31	30	28	28	26	30	22	30
Ν. Σμύρνη	33	27	44	38	32	29	28	26	25	31	25	33
Λιόσια	39	30	47	40	34	30	28	25	28		24	36
Περιστέρι	37	28	45	38	31	29	28	25	22	26	21	34
Ελευσίνα	27	23	41	39	30	29	28	26	25	31	23	25

Μέσες μηνιαίες τιμές ΑΣ_{2,5} (2018- τιμές σε µg/m³)

	ΙΑΝ	ΦΕΒ	ΜΑΡ	ΑΠΡ	ΜΑΙ	ΙΟΥ	ΙΟΥ	ΑΥΓ	ΣΕΠ	ΟΚΤ	ΝΟΕ	ΔΕΚ
Λυκόβρυση	23	17	18	14	14	13	15	12	12	16	13	
Πειραιάς	23	17	17	22	18	16	18	13	14	19	15	24
Αγ. Παρασκευή	10	9	14	14	12	11	13	11	11	14	10	10
Αριστοτέλους	30	18	18	21	17	15	17	14	14	21	18	27
Θρακομακεδόνες	12	11	15	15	13	13	15	14	14	16	11	11
Ελευσίνα	21	19	18	21	17	16	19	15	14	20	16	23

Μέσες μηνιαίες τιμές μονοξειδίου του αζώτου (NO) (2018- τιμές σε µg/m³)

	ΙΑΝ	ΦΕΒ	ΜΑΡ	ΑΠΡ	ΜΑΙ	ΙΟΥ	ΙΟΥ	ΑΥΓ	ΣΕΠ	ΟΚΤ	ΝΟΕ	ΔΕΚ
Πατησίων	134	85	82	81	66	64	62	30	54	76	73	115
Αθηνάς	93	46	33	35	24	22	24	25	36	51	56	77
Αριστοτέλους	71	29	21	28	18	13	11	13	23	45	50	77
Πειραιάς-1	71	52	42	63	48	43	40	27	38	47	55	80
Γεωπονική	32	15	7	6	5		3	2	5	20	17	31
Ν. Σμύρνη	24	11	6	10	5	3	4	1	4	9	11	23
Περιστέρι	25	10	7	7	4	3	2	1	2	7	10	21
Λιόσια	17	7	4	6	3	3	5	4	6	11	10	15
Μαρούσι	30	11	8	7	4	3	3	1	5	12	7	28
Λυκόβρυση	21	9	8	7	5	3	3	2	3	7	8	21
Θρακομακεδόνες	2	1	1	1	1	1						
Αγ. Παρασκευή	2	2	1	2	1	1	1					
Ελευσίνα	19	14	10	12	10	10	9	5	8	13	13	16
Κορωπί	7	5	3	15	21	8	6	4	5	7	7	10

Μέσες μηνιαίες τιμές διοξειδίου του αζώτου (NO₂) (2018- τιμές σε µg/m³)

	ΙΑΝ	ΦΕΒ	ΜΑΡ	ΑΠΡ	ΜΑΙ	ΙΟΥ	ΙΟΥ	ΑΥΓ	ΣΕΠ	ΟΚΤ	ΝΟΕ	ΔΕΚ
Πατησίων	74	71	80	89	76	80	88	53	65	62	53	62
Αθηνάς	29	19	48	59	49	48	48	44	49	47	42	49
Αριστοτέλους	55	49	48	61	50	46	48	39	48	46	41	46
Πειραιάς-1	56	60	59	80	64	59	74	57	67	61	54	60
Γεωπονική	34	31	21	19	16		33	22	28	38	32	38
Ν. Σμύρνη	35	34	28	41	28	25	28	16	27	30	29	30
Περιστέρι	35	30	32	41	28	25	24	10	19	28	27	33
Λιόσια	26	20	20	24	14	11	14	7	14	24	13	15
Μαρούσι	32	29	32	36	26	24	26	15	23	24	20	31
Λυκόβρυση	26	23	27	26	19	18	17	10	16	18	15	23
Θρακομακεδόνες	9	6	9	9	6	8						
Αγ. Παρασκευή	14	13	15	18	14	13	13					
Ελευσίνα	28	27	28	34	25	22	22	15	19	23	22	28
Κορωπί	19	19	18	33	31	20	22	13	18	18	16	22

Μέσες μηνιαίες τιμές βενζολίου (2018 τιμές σε µg/m³)

	ΙΑΝ	ΦΕΒ	ΜΑΡ	ΑΠΡ	ΜΑΙ	ΙΟΥ	ΙΟΥ	ΑΥΓ	ΣΕΠ	ΟΚΤ	ΝΟΕ	ΔΕΚ
Πατησίων	6,9	4,9	5,2	6	6,4	6,1	6,4	3	6,4	6,1		
Πειραιάς-1	4,3	3,1	2,4	2,7	2,3	2,1	2,1	1,9	2,5	3,2	3,6	4,9
Ν. Σμύρνη												
Ελευσίνα	1,9	1,7	1,2	0,9	0,5	0,5						

ΠΑΡΑΡΤΗΜΑ IV

ΟΡΙΑ ΠΟΙΟΤΗΤΑΣ ΑΤΜΟΣΦΑΙΡΑΣ

ΤΙΜΕΣ ΟΡΙΩΝ ΓΙΑ ΤΟ ΔΙΟΞΕΙΔΙΟ ΤΟΥ ΘΕΙΟΥ

ΠΙΝΑΚΑΣ 1

Τιμές ορίων για το διοξείδιο του θείου

	Οριακή τιμή
Μέση ωριαία τιμή , να μην υπερβαίνεται περισσότερο από 24 φορές το χρόνο	350$\mu\text{g}/\text{m}^3$
Μέση ημερήσια τιμή , να μην υπερβαίνεται περισσότερο από 3 φορές το χρόνο	125$\mu\text{g}/\text{m}^3$

Όριο συναγερμού	Ωριαία τιμή μεγαλύτερη από 500$\mu\text{g}/\text{m}^3$ για τρεις συνεχόμενες ώρες
------------------------	---

ΤΙΜΕΣ ΟΡΙΩΝ ΓΙΑ ΑΙΩΡΟΥΜΕΝΑ ΣΩΜΑΤΙΔΙΑ

ΠΙΝΑΚΑΣ 2α

Τιμές ορίων για αιωρούμενα σωματίδια ΑΣ₁₀

	Οριακή τιμή
Μέση ημερήσια τιμή , να μην υπερβαίνεται περισσότερο από 35 φορές το χρόνο	50$\mu\text{g}/\text{m}^3$
Μέση ετήσια τιμή	40$\mu\text{g}/\text{m}^3$

Επίπεδα συγκεντρώσεων	51-75, 76-100, 101-150, >150$\mu\text{g}/\text{m}^3$ μέση 24-ωρη τιμή
------------------------------	---

ΠΙΝΑΚΑΣ 2β

Τιμές ορίων για αιωρούμενα σωματίδια ΑΣ_{2,5}

	Οριακή τιμή
Μέση ετήσια τιμή	25$\mu\text{g}/\text{m}^3$

ΤΙΜΕΣ ΟΡΙΩΝ ΓΙΑ ΔΙΟΞΕΙΔΙΟ ΤΟΥ ΑΖΩΤΟΥ

ΠΙΝΑΚΑΣ 3

Τιμές ορίων για το διοξείδιο του αζώτου

	Οριακή τιμή
Μέση ωριαία τιμή , να μην υπερβαίνεται περισσότερο από 18 φορές το χρόνο	200$\mu\text{g}/\text{m}^3$
Μέση ετήσια τιμή	40$\mu\text{g}/\text{m}^3$

Όριο συναγερμού	Ωριαία τιμή μεγαλύτερη από 400$\mu\text{g}/\text{m}^3$ για τρεις συνεχόμενες ώρες
------------------------	---

ΤΙΜΕΣ ΟΡΙΩΝ ΓΙΑ ΜΟΛΥΒΔΟ

ΠΙΝΑΚΑΣ 4

Τιμές ορίων για μόλυβδο

	Οριακή τιμή
Μέση ετήσια τιμή	0,5μg/m³

ΤΙΜΕΣ ΟΡΙΩΝ ΓΙΑ ΟΖΟΝ

ΠΙΝΑΚΑΣ 5

Τιμές ορίων για το όζον

		Οριακή τιμή
Όριο ενημέρωσης	Μέση ωριαία τιμή	180μg/m³
Όριο συναγερμού	Μέση ωριαία τιμή	240μg/m³
Τιμή – στόχος για την προστασία της ανθρώπινης υγείας	Μέγιστη ημερήσια μέση 8ωρη τιμή, της οποίας δεν πρέπει να σημειώνεται υπέρβαση περισσότερες από 25 φορές ανά έτος κατά μέση τιμή για διάστημα 3 ετών	120μg/m³

ΤΙΜΕΣ ΟΡΙΩΝ ΓΙΑ ΜΟΝΟΞΕΙΔΙΟ ΤΟΥ ΑΝΘΡΑΚΑ

ΠΙΝΑΚΑΣ 6

Τιμές ορίων για το μονοξείδιο του άνθρακα

	Οριακή τιμή
Μέγιστη ημερήσια οκτάωρη τιμή	10mg/m³

ΤΙΜΕΣ ΟΡΙΩΝ ΓΙΑ ΒΕΝΖΟΛΙΟ

ΠΙΝΑΚΑΣ 7

Τιμές ορίων για το βενζόλιο

	Οριακή τιμή
Μέση ετήσια τιμή	5μg/m³

ΤΙΜΕΣ ΣΤΟΧΟΙ ΓΙΑ ΜΕΤΑΛΛΑ ΚΑΙ ΒΕΝΖΟ(α)ΠΥΡΕΝΙΟ

ΠΙΝΑΚΑΣ 8

Τιμές στόχοι για το αρσενικό, κάδμιο, νικέλιο και βενζο(α)πυρένιο

	Οριακή τιμή για			
	αρσενικό	κάδμιο	νικέλιο	βενζο(α)πυρένιο
Μέση ετήσια τιμή	6 ng/m ³	5 ng/m ³	20 ng/m ³	1 ng/m ³

ΠΑΡΑΡΤΗΜΑ V

ΣΥΝΟΠΤΙΚΑ ΣΤΑΤΙΣΤΙΚΑ ΣΤΟΙΧΕΙΑ ΑΤΜΟΣΦΑΙΡΙΚΗΣ ΡΥΠΑΝΣΗΣ ΓΙΑ ΤΟ ΕΤΟΣ 2018

Διοξείδιο του θείου (SO₂) (τιμές σε 24ωρη βάση σε μg/m³- 2018)

	Μέγιστη τιμή	Μέση τιμή	Διάμεση τιμή	98% τιμών < από	Αριθμός ημερησίων τιμών > από 125μg/m ³	% Πληρότητα
ΠΑΤΗΣΙΩΝ	20	9	8	18	0	81,1
ΠΕΙΡΑΙΑΣ	35	10	9	22	0	97,0
ΕΛΕΥΣΙΝΑ	37	11	11	23	0	82,0
ΑΡΙΣΤΟΤΕΛΟΥΣ	12	4	4	11	0	58,7
ΑΘΗΝΑΣ	14	4	3	11	0	99,7
ΚΟΡΩΠΙ	14	5	4	10	0	99,2

Διοξείδιο του θείου (SO₂) (τιμές σε ωριαία βάση σε μg/m³- 2018)

	Μέγιστη τιμή	Διάμεση τιμή	98% τιμών < από	Αριθμός ωριαίων τιμών>από 350 μg/m ³	% Πληρότητα
ΠΑΤΗΣΙΩΝ	44	8	20	0	81,8
ΠΕΙΡΑΙΑΣ	106	8	33	0	97,6
ΕΛΕΥΣΙΝΑ	133	10	29	0	81,9
ΑΡΙΣΤΟΤΕΛΟΥΣ	40	4	15	0	59,7
ΑΘΗΝΑΣ	48	3	15	0	99,9
ΚΟΡΩΠΙ	36	4	11	0	98,7

Διοξείδιο του αζώτου (NO₂) (τιμές σε ωριαία βάση σε μg/m³- 2018)

	Μέγιστη Τιμή	Διάμεση Τιμή	98% τιμών < από	Αριθμός ωριαίων τιμών>από 200μg/m ³	% Πληρότητα
ΠΑΤΗΣΙΩΝ	177	71	130	0	99,1
ΠΕΙΡΑΙΑΣ	159	61	119	0	99,6
ΑΘΗΝΑΣ	194	43	90	0	92,4
ΓΕΩΠΟΝΙΚΗ	109	23	71	0	71,4
Ν. ΣΜΥΡΝΗ	126	21	85	0	99,6
ΛΙΟΣΙΑ	91	13	51	0	88,3
ΜΑΡΟΥΣΙ	136	19	81	0	99,9
ΠΕΡΙΣΤΕΡΙ	148	22	81	0	99,7
ΑΡΙΣΤΟΤΕΛΟΥΣ	153	45	96	0	99,2
ΛΥΚΟΒΡΥΣΗ	109	14	65	0	90,3
ΘΡΑΚΟΜΑΚΕΔΟΝΕΣ	100	4	39	0	45,9
ΑΓ. ΠΑΡΑΣΚΕΥΗ	96	10	50	0	64,5
ΕΛΕΥΣΙΝΑ	109	20	62	0	99,6
ΚΟΡΩΠΙ	116	17	57	0	99,1

Μονοξείδιο του αζώτου (NO) (τιμές σε ωριαία βάση σε μg/m³- 2018)

	Μέγιστη τιμή	Διάμεση Τιμή	98% τιμών < από	% Πληρότητα
ΠΑΤΗΣΙΩΝ	592	59	285	99,1
ΠΕΙΡΑΙΑΣ	492	33	223	99,6
ΑΘΗΝΑΣ	738	24	253	92,4
ΓΕΩΠΟΝΙΚΗ	323	3	129	71,4
Ν. ΣΜΥΡΝΗ	314	2	96	99,6
ΛΙΟΣΙΑ	361	3	61	88,3
ΜΑΡΟΥΣΙ	328	1	117	99,9
ΠΕΡΙΣΤΕΡΙ	262	2	79	99,7
ΑΡΙΣΤΟΤΕΛΟΥΣ	589	13	236	99,2
ΛΥΚΟΒΡΥΣΗ	209	2	69	90,3
ΘΡΑΚΟΜΑΚΕΔΟΝΕΣ	20	1	6	45,9
ΑΓ. ΠΑΡΑΣΚΕΥΗ	55	1	7	64,5
ΕΛΕΥΣΙΝΑ	241	7	69	99,7
ΚΟΡΩΠΙ	275	4	56	99,1

Όζον (O₃) (τιμές σε 8ωρη κυλιόμενη βάση σε μg/m³- 2018)

	Μέγιστη Τιμή	98% τιμών < από	% τιμών > από 120μg/m ³
ΠΑΤΗΣΙΩΝ	80	56	0
ΠΕΙΡΑΙΑΣ	135	95	0,2
ΑΘΗΝΑΣ	139	96	0,3
ΓΕΩΠΟΝΙΚΗ	152	116	1,2
Ν. ΣΜΥΡΝΗ	150	125	4,1
ΛΙΟΣΙΑ	169	119	1,8
ΜΑΡΟΥΣΙ	152	119	2,0
ΠΕΡΙΣΤΕΡΙ	165	125	3,6
ΛΥΚΟΒΡΥΣΗ	156	122	2,6
ΘΡΑΚΟΜΑΚΕΔΟΝΕΣ	171	143	16,3
ΑΓ. ΠΑΡΑΣΚΕΥΗ	167	133	7,5
ΕΛΕΥΣΙΝΑ	151	121	2,4
ΚΟΡΩΠΙ	143	109	0,4

Όζον (O₃) (τιμές σε ωριαία βάση σε μg/m³- 2018)

	Μέγιστη τιμή	Διάμεση τιμή	98% τιμών < από	Αριθμός ωριαίων τιμών > από 180μg/m ³	% Πληρότητα
ΠΑΤΗΣΙΩΝ	128	11	61	0	93,3
ΠΕΙΡΑΙΑΣ	167	36	110	0	98,7
ΑΘΗΝΑΣ	169	37	108	0	99,9
ΓΕΩΠΟΝΙΚΗ	194	59	125	2	73,3
Ν. ΣΜΥΡΝΗ	180	80	135	0	76,3
ΛΙΟΣΙΑ	224	67	126	4	91,6
ΜΑΡΟΥΣΙ	208	71	127	5	70,1
ΠΕΡΙΣΤΕΡΙ	209	68	133	6	96,5
ΛΥΚΟΒΡΥΣΗ	213	67	128	2	91,3
ΘΡΑΚΟΜΑΚΕΔΟΝΕΣ	232	98	147	12	89,5
ΑΓ. ΠΑΡΑΣΚΕΥΗ	194	80	139	3	99,6
ΕΛΕΥΣΙΝΑ	172	66	129	0	97,5
ΚΟΡΩΠΙ	150	67	114	0	99,1

Μονοξείδιο του άνθρακα (CO) (τιμές σε 8ωρη βάση σε mg/m³- 2018)

	Μέγιστη τιμή	% τιμών > από 10mg/m ³	98% τιμών < από
ΠΑΤΗΣΙΩΝ	6,2	0	2,7
ΑΘΗΝΑΣ	4,1	0	1,7
ΓΕΩΠΟΝΙΚΗ	2,9	0	1,7
Ν. ΣΜΥΡΝΗ	5,1	0	2,1
ΜΑΡΟΥΣΙ	4,1	0	1,7

Μονοξείδιο του άνθρακα (CO) (τιμές σε ωριαία βάση mg/m³- 2018)

	Μέγιστη Τιμή	Διάμεση Τιμή	98% τιμών < από	% Πληρότητα
ΠΑΤΗΣΙΩΝ	7,2	1,1	3,2	80,6
ΑΘΗΝΑΣ	4,7	0,4	1,9	98,3
ΓΕΩΠΟΝΙΚΗ	4,3	0,6	2	70,4
Ν. ΣΜΥΡΝΗ	6,3	0,4	2,3	99,4
ΜΑΡΟΥΣΙ	4,7	0,3	1,9	97,2

Διωρούμενα σωματίδια (ΑΣ₁₀) (τιμές σε 24ωρη βάση σε μg/m³- 2018)

	Μέγιστη τιμή	Διάμεση Τιμή	98% τιμών < από	% Πληρότητα
ΛΥΚΟΒΡΥΣΗ	120	24	60	86,6
ΑΓ. ΠΑΡΑΣΚΕΥΗ	273	16	54	95,6
ΜΑΡΟΥΣΙ	299	25	68	95,1
ΑΡΙΣΤΟΤΕΛΟΥΣ	270	33	81	94,8
ΠΕΙΡΑΙΑΣ	272	36	79	95,4
ΘΡΑΚΟΜΑΚΕΔΟΝΕΣ	253	17	61	92,6
ΚΟΡΩΠΙ	291	27	70	93,7
ΕΛΕΥΣΙΝΑ	245	26	61	90,4
Ν. ΣΜΥΡΝΗ	277	27	74	93,4
ΛΙΟΣΙΑ	274	30	79	73,2
ΠΕΡΙΣΤΕΡΙ	281	26	70	94,8

Διωρούμενα σωματίδια (ΑΣ₁₀) (τιμές σε ωριαία βάση σε μg/m³- 2018)

	Μέγιστη τιμή	Διάμεση Τιμή	98% τιμών < από	% Πληρότητα
ΛΥΚΟΒΡΥΣΗ	247	23	83	89,3
ΑΓ. ΠΑΡΑΣΚΕΥΗ	530	16	57	96,6
ΜΑΡΟΥΣΙ	614	24	98	95,8
ΑΡΙΣΤΟΤΕΛΟΥΣ	472	31	102	96,1
ΠΕΙΡΑΙΑΣ	392	33	102	96
ΘΡΑΚΟΜΑΚΕΔΟΝΕΣ	429	17	60	93,1
ΚΟΡΩΠΙ	507	26	90	94,9
ΕΛΕΥΣΙΝΑ	388	25	79	91,1
Ν. ΣΜΥΡΝΗ	417	25	99	94,5
ΛΙΟΣΙΑ	502	27	112	74,8
ΠΕΡΙΣΤΕΡΙ	451	25	101	95,8

Διωρούμενα σωματίδια (ΑΣ_{2,5}) (τιμές σε 24ωρη βάση σε μg/m³- 2018)

	Μέγιστη τιμή	Διάμεση Τιμή	98% τιμών < από	% Πληρότητα
ΛΥΚΟΒΡΥΣΗ	61	14	41	79,2
ΠΕΙΡΑΙΑΣ	63	16	48	94,8
ΑΓ. ΠΑΡΑΣΚΕΥΗ	64	11	25	95,6
ΑΡΙΣΤΟΤΕΛΟΥΣ	81	17	50	91,8
ΘΡΑΚΟΜΑΚΕΔΟΝΕΣ	62	13	26	92,1
ΕΛΕΥΣΙΝΑ	50	17	38	87,4

Διωρούμενα σωματίδια (ΑΣ_{2,5}) (τιμές σε ωριαία βάση σε μg/m³- 2018)

	Μέγιστη τιμή	Διάμεση Τιμή	98% τιμών < από	% Πληρότητα
ΛΥΚΟΒΡΥΣΗ	181	13	48	81,6
ΠΕΙΡΑΙΑΣ	212	15	53	96,1
ΑΓ. ΠΑΡΑΣΚΕΥΗ	118	11	28	96,4
ΑΡΙΣΤΟΤΕΛΟΥΣ	229	16	62	93,1
ΘΡΑΚΟΜΑΚΕΔΟΝΕΣ	104	12	32	92,7
ΕΛΕΥΣΙΝΑ	130	16	46	88,1

Βενζόλιο (C₆H₆) (τιμές σε ωριαία βάση μg/m³- 2018)

	Μέγιστη τιμή	Διάμεση Τιμή	98% τιμών < από	% Πληρότητα
ΠΑΤΗΣΙΩΝ	30,6	5,4	15,4	50
ΠΕΙΡΑΙΑΣ	22,5	2,4	10,1	99,6
ΕΛΕΥΣΙΝΑ	35,6	0,8	4,9	45,8

ΠΑΡΑΡΤΗΜΑ VI

ΣΤΟΙΧΕΙΑ ΣΤΑΘΜΟΥ ΟΙΝΟΦΥΤΩΝ

Από 1^η Μαρτίου 2008 και μέχρι το 2013 λειτούργησε με ευθύνη της Δ/σης ΚΑΠΑ/ΥΠΕΝ σταθμός παρακολούθησης ατμοσφαιρικής ρύπανσης στα Οινόφυτα, Ν. Βοιωτίας. Στο σταθμό αυτό πραγματοποιήθηκαν μετρήσεις των εξής ρύπων:

- Διοξειδίου του θείου
- Οξειδίων του αζώτου
- Όζοντος
- Αιωρούμενων σωματιδίων (ΑΣ₁₀).

Οι μέσες ετήσιες τιμές των μετρούμενων ρύπων, για τα έτη 2008 έως και 2013 φαίνονται στον παρακάτω πίνακα.

Ρύπος	Μέση ετήσια τιμή					
	2008	2009	2010	2011	2012	2013
NO₂ (ωριαίες τιμές, μg/m ³)	19	25	18	18	14	15
NO (ωριαίες τιμές, μg/m ³)	6	5	6	8	6	5
SO₂ (ωριαίες τιμές, μg/m ³)	6	14				
O₃ (ωριαίες τιμές, μg/m ³)	41	59	64	43	55	54
ΑΣ₁₀ (24ωρες τιμές μg/m ³)	43(3)	37(4)	35(4)	38(2)		

Στις παρενθέσεις εμφανίζεται η εκτιμώμενη συνεισφορά μεταφοράς σκόνης σε μg/m³ από απομακρυσμένες ξηρές περιοχές (π.χ. Σαχάρα) στη μετρούμενη συγκέντρωση της μέσης τιμής ΑΣ₁₀

Από τον παραπάνω πίνακα φαίνεται ότι δεν υπήρξε υπέρβαση οριακής τιμής για κανένα ρύπο.

Από το 2014 ο σταθμός δεν λειτουργεί για τεχνικούς λόγους.

ΠΑΡΑΡΤΗΜΑ VII

ΠΡΟΓΡΑΜΜΑ ΔΙΑΣΥΝΟΡΙΑΚΗΣ ΜΕΤΑΦΟΡΑΣ ΡΥΠΑΝΣΗΣ (ΣΤΟΙΧΕΙΑ ΣΤΑΘΜΟΥ ΑΛΙΑΡΤΟΥ)

Η χώρα μας συμμετέχει στο πρόγραμμα μελέτης της διασυνοριακής μεταφοράς αέριας ρύπανσης στην Ευρώπη και για το σκοπό αυτό λειτουργεί στην Αλιάρτο Βοιωτίας, σταθμός παρακολούθησης ατμοσφαιρικής ρύπανσης, στον οποίο γίνονται μετρήσεις των εξής ρύπων σε ωριαία βάση:

- Διοξειδίου του θείου
- Διοξειδίου του αζώτου
- Όζοντος
- Αιωρούμενων Σωματιδίων (ΑΣ₁₀)
- Αιωρούμενων Σωματιδίων (ΑΣ_{2.5})

Σημειώνεται ότι μέχρι το τέλος του 1999 γίνονταν παράλληλα μετρήσεις θεϊκών ιόντων σε 24-ωρη βάση. Τα αποτελέσματα των μετρήσεων αυτών δίνονται στους παρακάτω Πίνακες.

Διαχρονική μεταβολή μέσων ετήσιων τιμών μετρούμενων ρύπων στην Αλιάρτο

	SO ₂ , μgS/m ³	NO ₂ , μgN/m ³	SO ₄ ²⁻ , μgS/m ³	O ₃ , μg/m ³	ΑΣ ₁₀ μg/m ³ (μέση 24-ωρη τιμή)	ΑΣ _{2.5} μg/m ³ (μέση 24-ωρη τιμή)
1988	3,13	4,31	1,12			
1989	3,77	5,33	2,30			
1990	4,36	4,33	4,16			
1991	7,20	2,95	6,11			
1992	7,63	3,08	9,27			
1993	4,55	3,41	8,17			
1994	4,57	3,60	5,72			
1995	4,23	3,45	2,43			
1996	8,72	3,75	6,20	63		
1997	3,94	3,35	1,92	59		
1998	2,72	3,02	1,84	62		
1999	1,26	2,83	1,23	58		
2000	2,65	4,23		38		
2001	2,50	4,26		35		
2002	5,00			36		
2003						
2004						
2005		3,65				
2006	1,5	3,77				
2007	2,5	3,79		46		
2008	2,0	3,65		48		
2009	1,5	4,26		47		
2010	1,5	3,96		59	29 (2)	
2011	1,5	3,35		58	29 (0)	
2012	2,0	2,74		52		
2013	1,5	3,0		44		
2014	1,5*	5,5*		54*		
2015	2,5	3,65		56	32(3)	15
2016	3,0	3,96		68	34(5)	16
2017	5,0	3,65		59	32(5)	15
2018	4,0	2,74		67	25(6)	12

* Πολύ μικρή πληρότητα

Στην παρένθεση εμφανίζεται η εκτιμώμενη συνεισφορά μεταφοράς σκόνης σε μg/m³ από απομακρυσμένες ξηρές περιοχές (π.χ. Σαχάρα) στη μετρούμενη συγκέντρωση της μέσης τιμής ΑΣ₁₀

Μέσες μηνιαίες τιμές όζοντος ($\mu\text{g}/\text{m}^3$) στην Αλιάρτο-2018

ΙΑΝ	ΦΕΒ	ΜΑΡ	ΑΠΡ	ΜΑΙ	ΙΟΥ	ΙΟΥ	ΑΥΓ	ΣΕΠ	ΟΚΤ	ΝΟΕ	ΔΕΚ
	52	77	76	70	80	88	84	75	53	38	30

Μέσες μηνιαίες τιμές διοξειδίου του αζώτου ($\mu\text{gN}/\text{m}^3$) στην Αλιάρτο-2018

ΙΑΝ	ΦΕΒ	ΜΑΡ	ΑΠΡ	ΜΑΙ	ΙΟΥ	ΙΟΥ	ΑΥΓ	ΣΕΠ	ΟΚΤ	ΝΟΕ	ΔΕΚ
	2,7	1,8	1,8	2,1	2,4	2,7	3,4	3,4	3,0	2,7	4,3

Μέσες μηνιαίες τιμές διοξειδίου του θείου ($\mu\text{gS}/\text{m}^3$) στην Αλιάρτο-2018

ΙΑΝ	ΦΕΒ	ΜΑΡ	ΑΠΡ	ΜΑΙ	ΙΟΥ	ΙΟΥ	ΑΥΓ	ΣΕΠ	ΟΚΤ	ΝΟΕ	ΔΕΚ
	5	4	5	2	4,5				1	1,5	1

Μέσες μηνιαίες τιμές $\text{A}\Sigma_{10}$ ($\mu\text{g}/\text{m}^3$) στην Αλιάρτο-2018

ΙΑΝ	ΦΕΒ	ΜΑΡ	ΑΠΡ	ΜΑΙ	ΙΟΥ	ΙΟΥ	ΑΥΓ	ΣΕΠ	ΟΚΤ	ΝΟΕ	ΔΕΚ
	21	33	19		17	24	29	18	28	22	34

Μέσες μηνιαίες τιμές $\text{A}\Sigma_{2.5}$ ($\mu\text{g}/\text{m}^3$) στην Αλιάρτο-2018

ΙΑΝ	ΦΕΒ	ΜΑΡ	ΑΠΡ	ΜΑΙ	ΙΟΥ	ΙΟΥ	ΑΥΓ	ΣΕΠ	ΟΚΤ	ΝΟΕ	ΔΕΚ
16	13	8		7	11	11	6	14	14	14	23

Συνοπτικά στατιστικά στοιχεία στην Αλιάρτο-2018

Ρύπος	Μέγιστη τιμή	Διάμεση τιμή	98% τιμών < από	% Πληρότητα
$\text{O}_3(\mu\text{g}/\text{m}^3)$	158	64	133	50,5
$\text{NO}_2(\mu\text{gN}/\text{m}^3)$	19	1,3	7	86,7
$\text{SO}_2(\mu\text{gS}/\text{m}^3)$	31	4	14	32,4

Αιωρούμενα σωματίδια στην Αλιάρτο- 2018 (τιμές σε 24ωρη βάση σε $\mu\text{g}/\text{m}^3$)

Ρύπος	Μέγιστη τιμή	Διάμεση Τιμή	98% τιμών < από	% Πληρότητα
$\text{A}\Sigma_{10}$	211	23	56	52,5
$\text{A}\Sigma_{2,5}$	48	11	28	52,2

Αιωρούμενα σωματίδια στην Αλιάρτο- 2018 (τιμές σε ωριαία βάση σε $\mu\text{g}/\text{m}^3$)

Ρύπος	Μέγιστη τιμή	Διάμεση Τιμή	98% τιμών < από	% Πληρότητα
$\text{A}\Sigma_{10}$	273	21	79	52,6
$\text{A}\Sigma_{2,5}$	87	10	39	52,6

ΠΑΡΑΡΤΗΜΑ VIII

Σταθμοί μέτρησης ατμοσφαιρικής ρύπανσης του ΕΔΠΑΡ που την ευθύνη λειτουργία τους έχουν οι Περιφέρειες

Το ΥΠΕΝ, ως ΥΠΕΧΩΔΕ στα τέλη του 2000, εγκατέστησε το Εθνικό Δίκτυο Παρακολούθησης της Ατμοσφαιρικής Ρύπανσης (ΕΔΠΑΡ) με προμήθεια νέων οργάνων στο πλαίσιο έργου ενταγμένου στο Β ΚΠΣ-ΕΠΠΕΡ. Την ευθύνη της λειτουργίας των σταθμών είχαν οι κατά τόπους Περιφέρειες (πλην της Περιφέρειας Αττικής) σύμφωνα με το Ν. 2647/1998 (ΦΕΚ 237/Α). Ειδικότερα για τους σταθμούς που είναι εγκατεστημένοι στο Βόλο και τη Λάρισα τη λειτουργία τους είχαν αναλάβει οι αντίστοιχες Νομαρχιακές Αυτοδιοικήσεις, μέχρι το 2010. Σημειώνεται ότι ο σταθμός στα Ιωάννινα εγκαταστάθηκε το 2009 από την τότε οικεία Περιφέρεια. Από το 2016, η Περιφέρεια Στερεάς Ελλάδας λειτουργεί δίκτυο σταθμών σε Λαμία, Λειβαδιά, Χαλκίδα, Άμφισσα και Καρπενήσι.

Με την εφαρμογή του Προγράμματος Καλλικράτης με το Ν. 3852/2010 (ΦΕΚ 87/Α) και της ΚΥΑ ΗΠ 14122/549/Ε.103/2011 (ΦΕΚ 488/Β) οι αρμοδιότητες που αφορούν στην εγκατάσταση και τη λειτουργία σταθμών παρακολούθησης της ποιότητας της ατμόσφαιρας μεταβιβάστηκαν από τις Αποκεντρωμένες Διοικήσεις στις Περιφέρειες της χώρας.

Μέσω έργου του ΥΠΕΝ που χρηματοδοτήθηκε από το «Επιχειρησιακό Πρόγραμμα Περιβάλλον & Αειφόρος Ανάπτυξη» του ΕΣΠΑ, το δίκτυο ΕΔΠΑΡ έχει πρόσφατα ανανεωθεί με νέους αναλυτές αιωρούμενων σωματιδίων ΑΣ₁₀ που αντικατέστησαν τους παλιούς (Σεπτέμβριος 2016) καθώς επίσης επεκτάθηκε και σε μετρήσεις ρύπων που δεν μετρούνταν μέχρι τώρα, όπως τα αιωρούμενα σωματίδια ΑΣ_{2,5} (Σεπτέμβριος 2016) και το βενζόλιο (Σεπτέμβριος-Οκτώβριος 2015). Επίσης, αναλυτής βενζολίου τοποθετήθηκε σε μια νέα θέση (Καβάλα).

Πίνακας 1 Χαρακτηριστικά σταθμών μέτρησης ατμοσφαιρικής ρύπανσης του ΕΔΓΑΡ που την ευθύνη λειτουργία τους έχουν οι Περιφέρειες

Σταθμός						Μετρούμενοι ρύποι							
Όνομα	Θέση					Χαρακτηρισμός	SO ₂	NO _x	CO	O ₃	ΑΣ ₁₀	ΑΣ _{2,5}	C ₆ H ₆
	WGS84		ΕΓΣΑ87		Υψόμετρο (m –asl)								
	Γεωγρ. Μήκος	Γεωγρ. Πλάτος	X (m)	Y(m)									
Περιφέρεια ΚΕΝΤΡΙΚΗΣ ΜΑΚΕΔΟΝΙΑΣ													
ΑΓ. ΣΟΦΙΑ (ΑΓΣ) [1]	22° 56' 43'',04	40° 38' 01'',58	410641,40	4498347,47	12	ΑΣΤΙΚΟΣ ΚΥΚΛΟΦΟΡΙΑΣ	v	v	v	v	v	v	v
Α.Π.Θ. (ΑΠΘ) [2]	22° 57' 16'',27	40° 37' 52'',00	411584,29	4498333,52	55	ΑΣΤΙΚΟΣ ΥΠΟΒΑΘΡΟΥ	v	v		v			
ΠΑΝΟΡΑΜΑ (ΠΑΝ) [3]	23° 01' 47'',84	40° 35' 10'',77	417909,23	4493288,96	363	ΠΕΡΙΑΣΤΙΚΟΣ ΥΠΟΒΑΘΡΟΥ		v		v	v	v	
ΚΑΛΑΜΑΡΙΑ (ΚΑΛ) [4]	22° 57' 27'',19	40° 34' 34'',76	411768,90	4492248,79	60	ΠΕΡΙΑΣΤΙΚΟΣ ΥΠΟΒΑΘΡΟΥ	v	v	v	v	v		
ΚΟΡΔΕΛΙΟ (ΚΟΡ) [5]	22° 53' 29'',33	40° 40' 15'',10	406308,78	4502811,43	30	ΑΣΤΙΚΟΣ-ΒΙΟΜΗΧΑΝΙΚΟΣ	v	v	v	v	v		v
ΣΙΝΔΟΣ (ΣΙΝ) [6]	22° 48' 01'',56	40° 39' 18'',90	398589,74	4501179,30	14	ΑΣΤΙΚΟΣ-ΒΙΟΜΗΧΑΝΙΚΟΣ	v	v	v	v	v		v
ΝΕΟΧΩΡΟΥΔΑ (ΝΕΟ) [7]	22° 52' 27'',55	40° 44' 13'',97	404952,51	4510195,36	229	ΠΕΡΙΑΣΤΙΚΟΣ ΥΠΟΒΑΘΡΟΥ		v		v	v		
Περιφέρεια ΔΥΤ. ΕΛΛΑΔΑΣ													
ΠΑΤΡΑ-1 (ΠΑ1)	21° 44' 11'',55	38° 15' 01'',74	301939,99	4236030,01	10	ΑΣΤΙΚΟΣ ΚΥΚΛΟΦΟΡΙΑΣ	v	v	v	v	v		
ΠΑΤΡΑ-2 (ΠΑ2)	21° 43' 58'',33	38° 14' 37'',84	301600,77	4235301,14	8	ΑΣΤΙΚΟΣ ΚΥΚΛΟΦΟΡΙΑΣ	v	v	v		v	v	v
Περιφέρεια ΘΕΣΣΑΛΙΑΣ													
ΒΟΛΟΣ (ΒΟΛ)	22° 56' 28'',38	39° 21' 50'',80	408788,77	4357718,20	31	ΑΣΤΙΚΟΣ ΥΠΟΒΑΘΡΟΥ			v		v	v	
ΛΑΡΙΣΑ (ΛΑΡ)	22° 24' 46'',29	39° 37' 58'',51	363796,13	4388219,71	85	ΑΣΤΙΚΟΣ ΥΠΟΒΑΘΡΟΥ		v	v	v	v		
Περιφέρεια ΚΡΗΤΗΣ													
ΗΡΑΚΛΕΙΟ (ΗΡΑ)	25° 08' 01'',05	35° 19' 50'',52	603029,58	3910306,83	60	ΑΣΤΙΚΟΣ ΚΥΚΛΟΦΟΡΙΑΣ			v		v		
Περιφέρεια ΗΠΕΙΡΟΥ													
ΙΩΑΝΝΙΝΑ (ΙΩΑ)	20° 51' 02'',10	39° 39' 00'',74	229774,41	4393676,36	520	ΑΣΤΙΚΟΣ ΥΠΟΒΑΘΡΟΥ		v		v	v	v	v

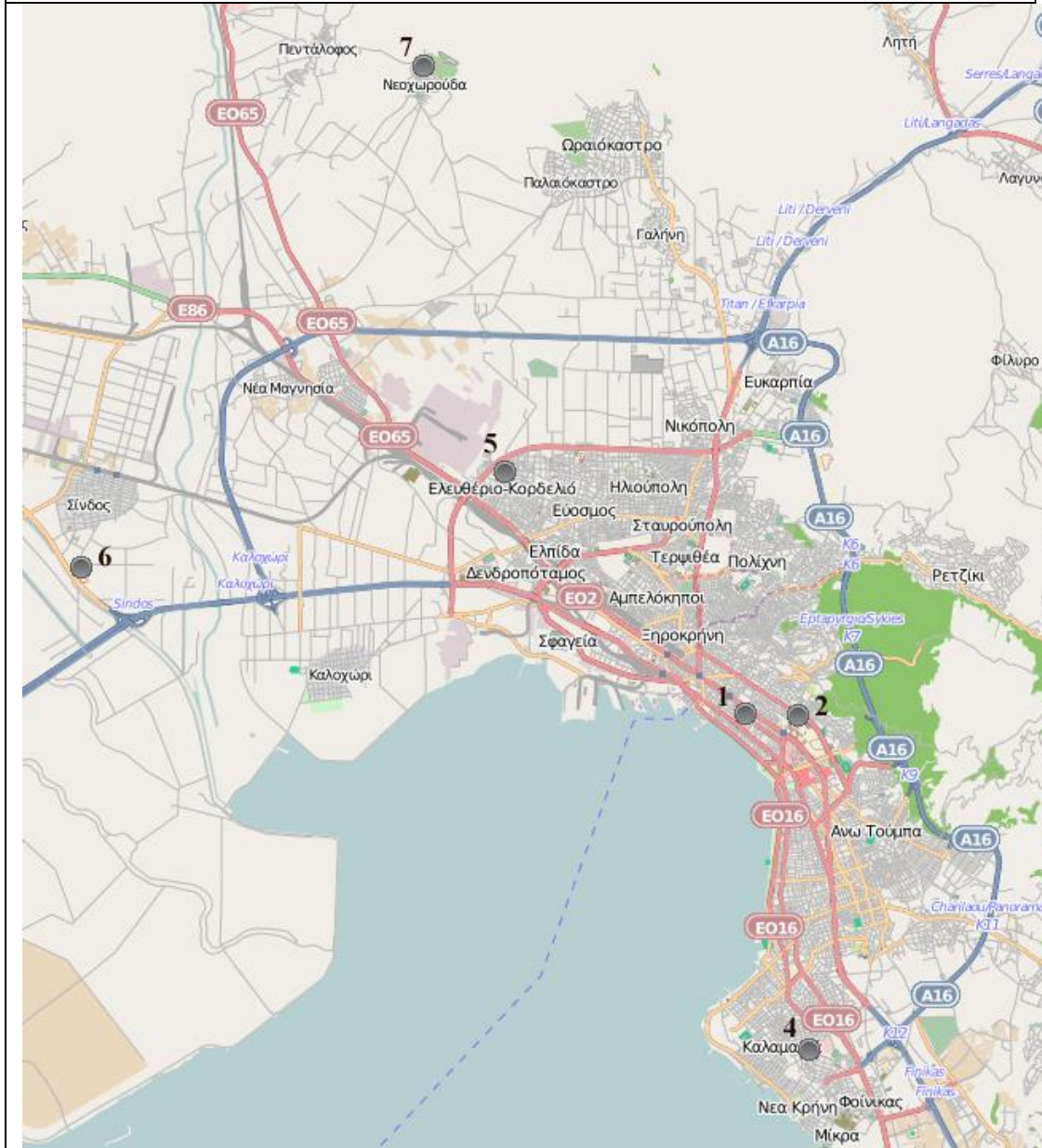
Περιφέρεια ΑΝ. ΜΑΚΕΔΟΝΙΑΣ & ΘΡΑΚΗΣ

ΚΑΒΑΛΑ (ΚΑΒ)	24° 24' 15'',08	40° 56' 00'',41	534027,12	4531447,61	2	ΑΣΤΙΚΟΣ ΥΠΟΒΑΘΡΟΥ									v
-----------------	-----------------	-----------------	-----------	------------	---	-------------------	--	--	--	--	--	--	--	--	---

Περιφέρεια ΣΤΕΡΕΑΣ ΕΛΛΑΔΑΣ

ΛΑΜΙΑ (ΛΑΜ)	22° 25' 48'',10	38° 53' 58'',42	363857,65	4306802,30	105	ΑΣΤΙΚΟΣ ΥΠΟΒΑΘΡΟΥ						v		
ΧΑΛΚΙΔΑ (ΧΑΛ)	23° 36' 37'',16	38° 28' 02'',22	466005,44	4257734,91	12	ΑΣΤΙΚΟΣ ΥΠΟΒΑΘΡΟΥ						v		
ΛΕΙΒΑΔΙΑ (ΛΕΙ)	22° 52' 33'',03	38° 26' 16'',82	401890,30	4255012,84	140	ΑΣΤΙΚΟΣ ΥΠΟΒΑΘΡΟΥ						v		
ΑΜΦΙΣΣΑ (ΑΜΦ)	22° 22' 43'',49	38° 31' 32'',72	358676,36	4265396,98	180	ΑΣΤΙΚΟΣ ΥΠΟΒΑΘΡΟΥ						v		
ΚΑΡΠΕΝΗΣΙ (ΚΑΡ)	21° 47' 24'',58	38° 54' 50'',29	308404,65	4309551,15	960	ΑΣΤΙΚΟΣ ΥΠΟΒΑΘΡΟΥ						v		

Χάρτης σταθμών μέτρησης ατμοσφαιρικής ρύπανσης του ΕΔΠΑΡ στην Περιφέρεια Κ. Μακεδονίας [Πηγή: www.geodata.gov.gr]



Σύγκριση τιμών ατμοσφαιρικής ρύπανσης με όρια και διαχρονική εξέλιξη τιμών

1. Αιωρούμενα Σωματίδια (ΑΣ₁₀)

- Υπερβάσεις ορίου που αφορά στη μέση ετήσια τιμή και διαχρονική εξέλιξη

Πίνακας 2: Σύγκριση μέσων ετήσιων τιμών ΑΣ₁₀ σε μg/m³ ανά έτος με την οριακή τιμή.

	ΑΓΣ	ΚΟΡ	ΠΑΝ	ΚΑΛ	ΣΙΝ	ΝΕΟ	ΠΑ1	ΠΑ2	ΒΟΛ	ΛΑΡ	ΗΡΑ	ΙΩΑ
2001	64	69	37		51		52	48	45	52	42	
2002	71	67	34		48		52	50	49	51	42	
2003	64	65	33		51		45	51	49		62	
2004		64	32		43		42	44	54		57	
2005		61			44		38		50		39	
2006		68(0)	30		50(0)				55(3)			
2007	43(2)	57(1)	26	47(2)	49(1)		44(2)	46(3)	44(2)	43(2)		
2008	56(4)	51(2)		35	47(2)		44(3)	48(4)	42(3)	43(1)		40
2009	43(2)	44(3)	23*(0)	31(1)	40*(2)		36(2)	42(3)	36(2)	31*(0)		
2010	46(3)	42(3)		28(1)			37(3)	42(5)	37(4)	24*(3)		28(3)
2011	41(1)	37(1)	37(0)	34*(0)	45(0)		24*(1)	31(1)	35*(1)	33(0)		
2012	41(1)	33(0)	32(0)	32(1)	41(1)				31(1)	44**(1)		
2013	22(3)	42(9)	23(5)	31(4)	26(3)	19(4)	39(6)	40(5)	33(5)	38(4)		
2014	25(4)	42**(5)	23*(4)		28*(4)	18*(4)		39(5)	31(5)	33(5)		30(4)
2015	22(3)	27(4)	26*(4)		32(4)			39(6)	32(5)	38(4)		37(4)
2016	33(4)	37(5)	23*(2)		40(2)	24*(2)	27*(2)	39(5)	25(4)	28(4)		31(4)
2017	43**(4)	36(4)	22(4)		36(4)	25(4)	28(4)	32(3)	33(4)	36(4)		32(3)
2018	43(6)	38(6)	18(4)		34(4)	24(6)	34(10)	37(9)	32(7)	35(7)		32(8)

	ΛΑΜ	ΧΑΛ	ΛΕΙ	ΑΜΦ	ΚΑΡ
2016	25(4)	35(5)	22(4)	22(4)	29(5)
2017	24(4)	36(4)	18(4)	20(4)	30(4)
2018	26(8)		28*(10)	22(7)	28(7)

*Μικρή πληρότητα μετρήσεων

**Δεν μπορεί να αξιολογηθεί καθώς αφορά μικρή πληρότητα μη ομοιόμορφα κατανομημένη εντός τους έτους

Με κόκκινη γραφή σημειώνονται οι υπερβάσεις της οριακής τιμής

Στις παρενθέσεις εμφανίζεται η εκτιμώμενη συνεισφορά μεταφοράς σκόνης σε μg/m³ από απομακρυσμένες ξηρές περιοχές (π.χ. Σαχάρα) στη μετρούμενη συγκέντρωση της μέσης τιμής ΑΣ₁₀

Στον παραπάνω πίνακα παρουσιάζεται η διαχρονική μεταβολή των μέσων ετήσιων συγκεντρώσεων ΑΣ₁₀ για τα έτη 2001 έως 2018.

Είναι εμφανές από τη διαχρονική αυτή μεταβολή ότι ανάλογα με τη θέση μέτρησης παρατηρείται **τάση μείωσης ή σταθεροποίησης των συγκεντρώσεων**, παρόλη την αύξηση των δραστηριοτήτων που συμβάλλουν στη δημιουργία σωματιδιακής ρύπανσης.

- Υπερβάσεις ορίου που αφορούν στη μέση ημερήσια τιμή

Στον Πίνακα 3 δίνεται ο αριθμός ημερών για το 2018 με μέση ημερήσια τιμή ΑΣ₁₀ μεγαλύτερη από 50 µg/m³ (Με κόκκινο χρώμα σχεδιάζονται οι περιπτώσεις στις οποίες σημειώθηκε υπέρβαση του ορίου-δηλαδή περισσότερο από 35 ημέρες)

Πίνακας 3

	ΑΓΣ	ΚΟΡ	ΠΑΝ	ΣΙΝ	ΠΑ2	ΒΟΛ	ΛΑΡ	ΙΩΑ
2018	65(22)	53(16)	3(2)	30(10)	48(25)	36(12)	40(10)	36(11)
	ΠΑ1	ΝΕΟ	ΛΑΜ	ΧΑΛ	ΛΕΙ	ΑΜΦ	ΚΑΡ	
	28(15)	2(2)	14(4)		6(5)	11(9)	43(16)	

Στις παρενθέσεις εμφανίζεται η εκτιμώμενη συνεισφορά μεταφοράς σκόνης σε αριθμό ημερών από απομακρυσμένες ξηρές περιοχές

2. Διοξείδιο του θείου

- Υπερβάσεις του ορίου που αφορά στη μέση ωριαία τιμή

Δεν παρατηρήθηκαν υπερβάσεις της οριακής τιμής (350µg/m³) σε κανένα σταθμό μέτρησης το 2018.

- Υπερβάσεις του ορίου που αφορά στη μέση ημερήσια τιμή

Δεν παρατηρήθηκαν υπερβάσεις της οριακής τιμής (125µg/m³) σε κανένα σταθμό μέτρησης το 2018.

- Διαχρονική εξέλιξη μέσων ετήσιων συγκεντρώσεων

Πίνακας 4 Μέσες ετήσιες τιμές SO₂ σε µg/m³ ανά έτος.

	ΑΓΣ	ΚΟΡ	ΚΑΛ	ΣΙΝ	Α.Π.Θ.	ΠΑ1	ΠΑ2	ΒΟΛ	ΛΑΡ	ΗΡΑ
2001	29	33	21	15	21	21	18	10	36	10
2002	23	22	17	11	14	19	16	10	41	7
2003	25	19	15	10	16	15	20	9		7
2004	17			10	17	22		12		
2005								19		
2006		9		11				5		
2007		17			11	8	9	4		
2008	4	10		4	10	11	5			
2009					10	15	3			
2010		6		3		14	5			
2011		6		3		38	9			
2012		7		4						
2013		4		4		13	8			
2014		4		5		19	8			
2015	4	12		9						
2016	4	9								
2017	4	15		2			6			
2018	8			2			4			

3. Διοξείδιο του αζώτου

- Υπερβάσεις ορίου που αφορά στη μέση ετήσια τιμή

Δεν παρατηρήθηκαν υπερβάσεις της οριακής τιμής ($40\mu\text{g}/\text{m}^3$) σε κανένα σταθμό μέτρησης το 2018.

- Υπερβάσεις του ορίου που αφορά στη μέση ωριαία τιμή

Δεν παρατηρήθηκαν υπερβάσεις της οριακής τιμής ($200\mu\text{g}/\text{m}^3$) σε κανένα σταθμό μέτρησης το 2018.

- Διαχρονική εξέλιξη μέσων ετήσιων συγκεντρώσεων

Πίνακας 5 Μέσες ετήσιες τιμές NO_2 σε $\mu\text{g}/\text{m}^3$ ανά έτος.

	ΑΓΣ	ΚΟΡ	ΚΑΛ	ΣΙΝ	ΠΑΝ	ΝΕΟ	Α.Π.Θ.	ΠΑ1	ΠΑ2	ΒΟΛ	ΛΑΡ	ΗΡΑ	ΙΩΑ
2001	58	37	35	22	12	8	43	46	63	52	17	15	
2002	59	40	39	23	14	9	44	57	64	35	8		
2003	56	42	35	22	12	9	39	52		20			
2004	54	44	33			10		48		22			
2005		34								28			
2006		39	36	25		8	42			24			
2007	54	41	37	27	14	10	40	48	50				
2008	50	34	48	29	15	11	41	41	46		29		18
2009	40	33	32	22	10	8	35	31	42		22		17
2010	27	30*	41*	18	8		34	25	36				15
2011	23	33		19	11	6	29	20			21		
2012	24	30		17	8	6	28				34*		
2013	21	26		15	6	7	24	34	37		31*		
2014	22			16	4	8		34	36				
2015	19	22		18	13	7	40	34	37				
2016	29	24		19	8	8	38	33	34				
2017	34	27		16	7	8	30	31	32				
2018	24*	27*		20*	11*		32	30	30				

*Μικρή πληρότητα μετρήσεων

4. Όζον

- Υπερβάσεις του ορίου ενημέρωσης

Δεν παρατηρήθηκαν υπερβάσεις του ορίου ενημέρωσης του κοινού ($180\mu\text{g}/\text{m}^3$) σε κανένα σταθμό μέτρησης το 2018.

- Υπερβάσεις του ορίου συναγερομού

Δεν παρατηρήθηκαν υπερβάσεις του ορίου συναγερομού ($240\mu\text{g}/\text{m}^3$) σε κανένα σταθμό μέτρησης το 2018.

- Υπερβάσεις του στόχου προστασίας της υγείας

Δεν παρατηρήθηκαν υπερβάσεις του στόχου προστασίας της υγείας (μέγιστη μέση τιμή κυλιόμενου οκταώρου 120μg/m³ ως μέση τιμή τριών συνεχών ετών-περισσότερο από 25 ημέρες)

- Διαχρονική εξέλιξη μέσων ετήσιων συγκεντρώσεων

Πίνακας 6 Μέσες ετήσιες τιμές O₃ σε μg/m³ ανά έτος.

	ΑΓΣ	ΚΟΡ	ΚΑΛ	ΣΙΝ	ΠΑΝ	ΝΕΟ	Α.Π.Θ.	ΠΑ1	ΒΟΛ	ΛΑΡ	ΗΡΑ	ΙΩΑ
2001	44	58	54	60	95	87	57	50	59	67	77	
2002	38	52	51	58	96	79	47	40	53	33	76	
2003	40	47	42	60	101	92	54	47	56		86	
2004	43		48	48	71	83	50		51			
2005			24	53	55	54	48		58			
2006		37		64	57	64	47		43			
2007	16	44		52		75	28	30	39	29		
2008	47	72		48	97	90	48	43	42	55		
2009	33	64		52	104	78	52	65		39		29
2010	48	68		40	82		41	72				36
2011	40	96*		56	94	82	35	80		33		18
2012	55			52	96	76	60			27*		
2013	48	48		68	82	78	61	69				
2014	36	37			68	54		55		32		
2015	43	61		71	77	70*	55	54				
2016	46	61		64	77		50	63		49		
2017	52	65		65	81		58	65				
2018	37*	48*		63*	62*			56				

*Μικρή πληρότητα μετρήσεων

5. Μονοξείδιο του άνθρακα

Για το ρύπο αυτό το 2018 δεν υπήρξε υπέρβαση του ορίου.

- Διαχρονική εξέλιξη μέσων ετήσιων συγκεντρώσεων

Πίνακας 7 Μέσες ετήσιες τιμές CO σε mg/m³ ανά έτος.

	ΑΓΣ	ΚΟΡ	ΚΑΛ	ΣΙΝ	ΠΑ1	ΠΑ2	ΒΟΛ	ΛΑΡ	ΗΡΑ
2001	1,6	0,7	0,6	0,5	1,1	1,5	0,9	0,7	0,4
2002	1,7	0,7	0,6	0,4	1,1	1,4	0,6	0,4	0,4
2003	1,5	0,7	0,6	0,4	1	1	0,4		0,5
2004		0,7	0,6		0,7		0,3		
2005		0,7	0,6				0,3		
2006				0,3			0,3		
2007	1,5			0,4	0,8	0,8	0,4	0,5	
2008	1,1	1	0,5	0,3	0,7	0,8	0,2	0,3	
2009	1	1,1	0,5	0,4	0,7	0,8		0,3	
2010	1	1,0	0,4	0,4	0,6	0,7		0,3	

2011	0,9	1,0	0,5	0,3	0,6	0,6		0,3	
2012	0,8	0,9	0,5	0,3				0,4	
2013	0,4	0,9	0,4	0,3	0,6	0,6		0,3	
2014	0,3	0,7	0,4		0,6	0,6		0,2	
2015		0,9	0,3	0,1	0,6	0,6		0,4	
2016	0,6	0,9			0,5	0,6		0,3	
2017	0,5	0,7		0,2	0,5	0,6		0,3	
2018	0,8*	0,6*			0,5	0,6			

6. Βενζόλιο

Για το ρύπο αυτό το 2018 δεν υπήρξε υπέρβαση του ορίου.

- Διαχρονική εξέλιξη μέσων ετήσιων συγκεντρώσεων

Πίνακας 8 Μέσες ετήσιες τιμές C₆H₆ μg/m³.

	ΑΓΣ	ΚΟΡ	ΣΙΝ	ΠΑ2	ΚΑΒ
2016	3,0	2,2	1,0	3,2	1,8
2017	3,4	2,1	1,3	2,5	1,5*
2018	4,0*	1,8*	1,0*	2,3	

*Μικρή πληρότητα μετρήσεων

7. Αιωρούμενα Σωματίδια (ΑΣ_{2,5})

- Υπερβάσεις ορίου που αφορά στη μέση ετήσια τιμή και διαχρονική εξέλιξη

Πίνακας 9 Σύγκριση μέσων ετήσιων τιμών ΑΣ_{2,5} σε μg/m³ με την οριακή τιμή.

	ΑΓΣ	ΠΑΝ	ΠΑ2	ΒΟΛ
2016	28**	15*	19*	
2017	26**	15	17	21
2018	22**	12*	19	19

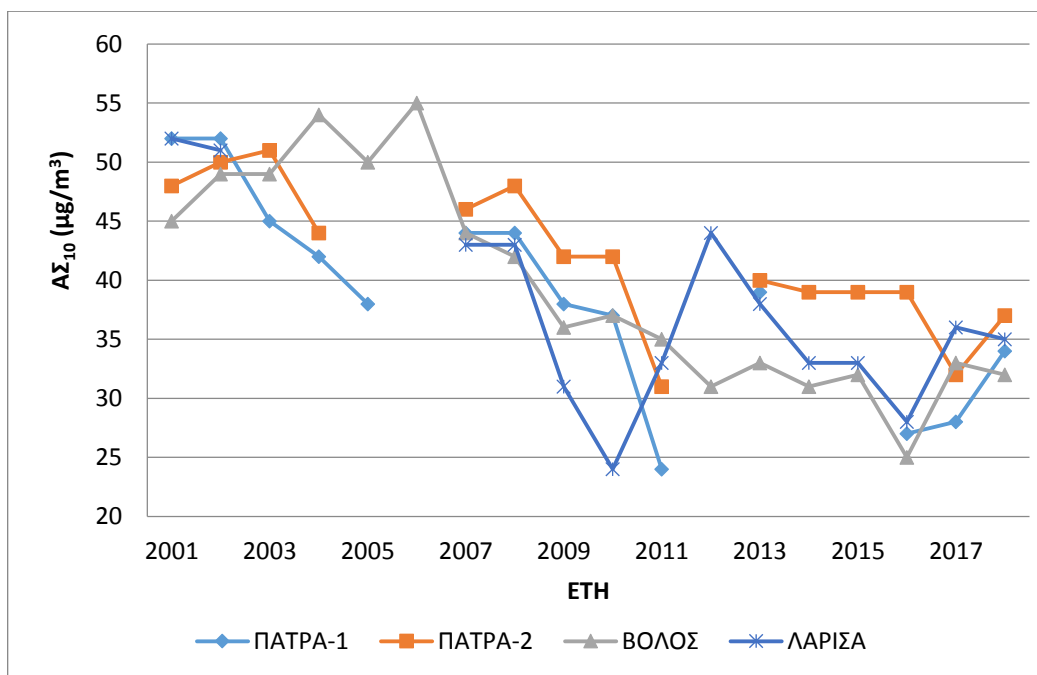
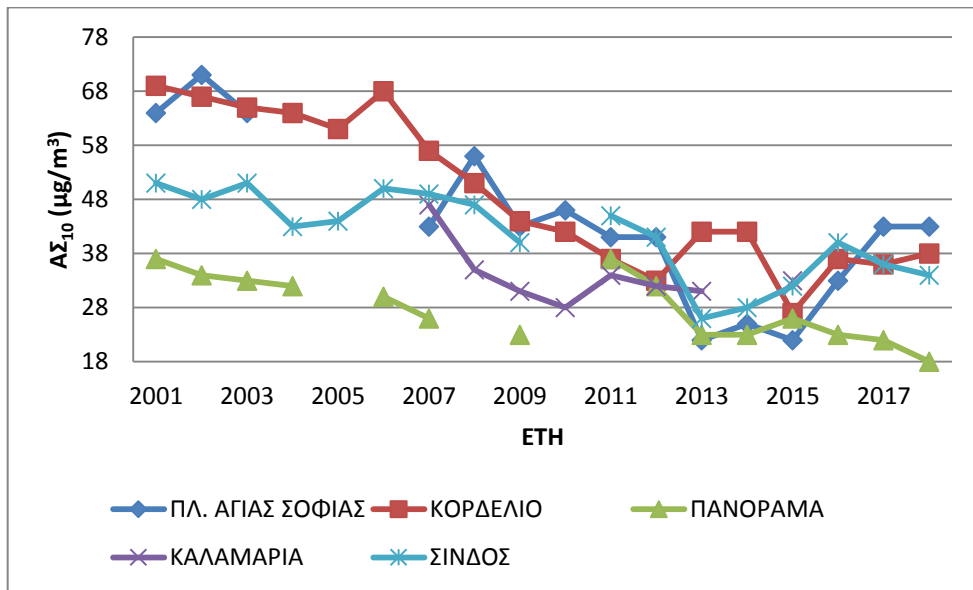
*Μικρή πληρότητα μετρήσεων

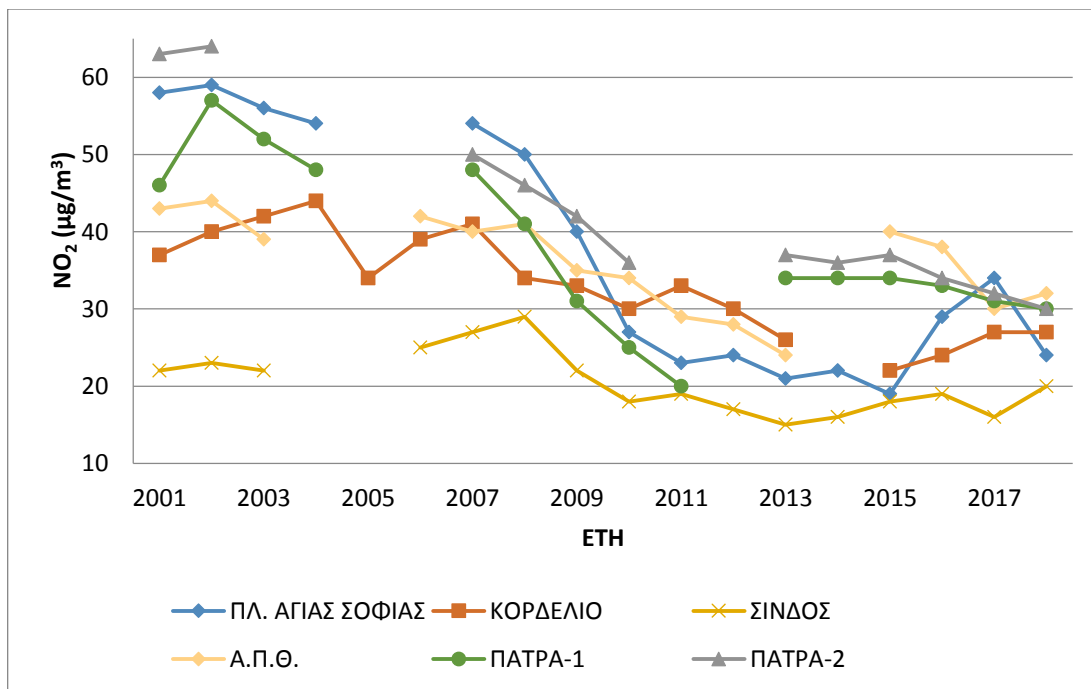
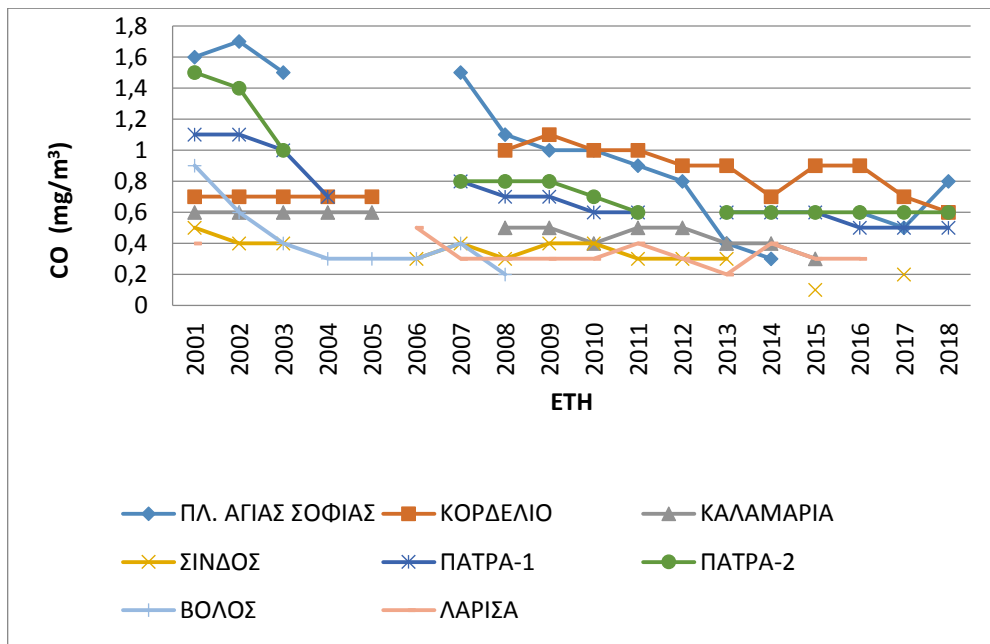
**Η υπέρβαση δεν μπορεί να αξιολογηθεί καθώς αφορά μικρή πληρότητα μη ομοιόμορφα κατανομημένη εντός τους έτους

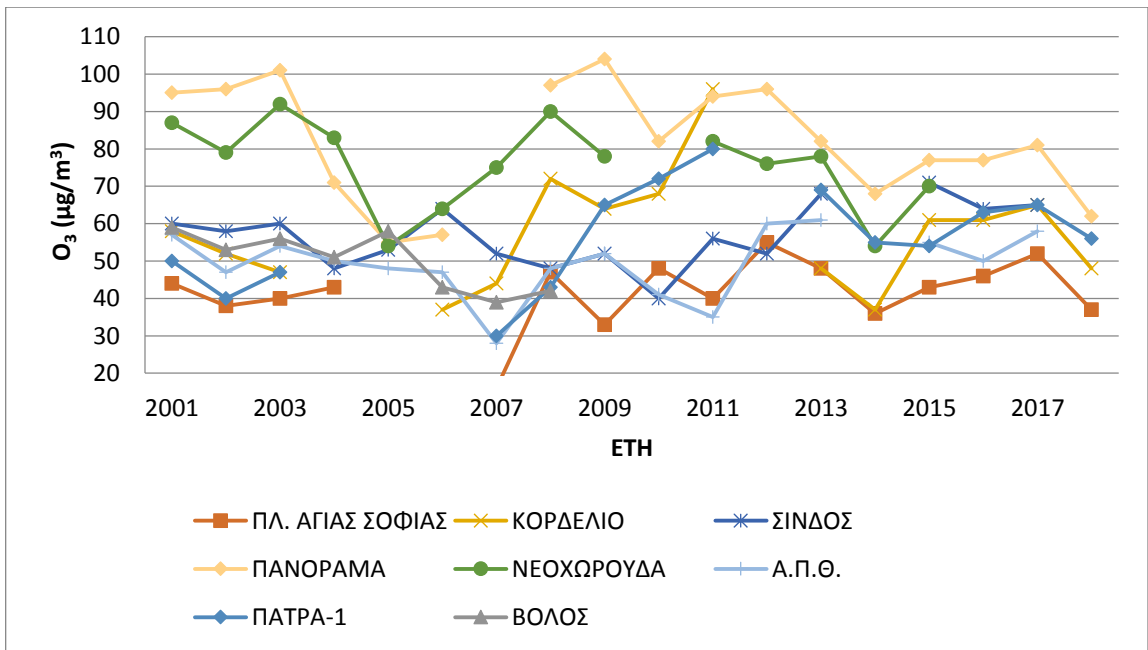
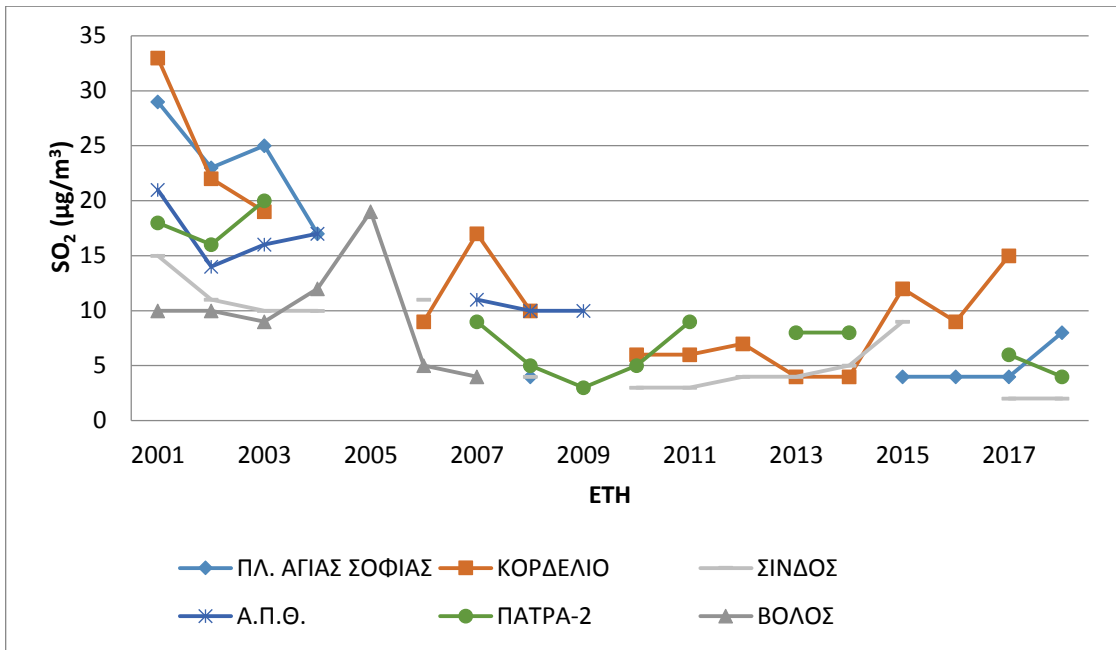
Με κόκκινη γραφή σημειώνονται οι υπερβάσεις της οριακής τιμής

Διαγράμματα χρονικών διακυμάνσεων των τιμών συγκεντρώσεων των μετρούμενων ρύπων

Παρακάτω παρουσιάζονται σχήματα με τις διαχρονικές μεταβολές των μέσων ετήσιων τιμών των συγκεντρώσεων των μετρούμενων ρύπων, για αντιπροσωπευτικούς σταθμούς. Η διαχρονική εξέλιξη των τιμών δείχνει ότι γενικά υπάρχει μια πτωτική τάση ή τάση σταθεροποίησης σε κάποιους σταθμούς ανάλογα με το ρύπο.







ΠΑΡΑΡΤΗΜΑ ΙΧ

ΧΑΡΤΟΓΡΑΦΙΚΗ ΑΠΕΙΚΟΝΙΣΗ ΠΟΙΟΤΗΤΑΣ ΤΟΥ ΑΕΡΑ

Επιπλέον της εκτίμησης της ποιότητας του αέρα που βασίζεται στο Εθνικό Δίκτυο Παρακολούθησης Ατμοσφαιρικής Ρύπανσης πραγματοποιήθηκε εκτίμηση της ποιότητας του αέρα για όλη τη χώρα στο πλαίσιο του έργου «Επικαιροποίηση της χαρτογραφικής απεικόνισης της ατμοσφαιρικής ρύπανσης μέσω της καταγραφής ατμοσφαιρικών εκπομπών των πηγών και ανάπτυξης κατάλληλου υπολογιστικού εργαλείου» ενταγμένου στο Επιχειρησιακό Πρόγραμμα Περιβάλλον & Αειφόρος Ανάπτυξη του ΕΣΠΑ. Αυτή στηρίχτηκε σε ενδεικτικές μετρήσεις σε θέσεις πέραν των σταθερών μετρήσεων του ΕΔΠΑΡ αλλά και για επιπλέον ρύπους από τους μετρούμενους σε θέσεις του ΕΔΠΑΡ. Η εκτίμηση επεκτάθηκε και στις υπόλοιπες περιοχές της χώρας με χρήση τεχνικών προσομοίωσης.

Ενδεικτικές μετρήσεις

Στον παρακάτω Πίνακα δίνονται τα μεταδεδομένα των θέσεων δειγματοληψίας όπου πραγματοποιήθηκαν 24-ωρες δειγματοληψίες αιωρούμενων σωματιδίων ΑΣ₁₀ και ΑΣ_{2,5} με δειγματολήπτες μικρού όγκου καθώς και παθητικές δειγματοληψίες, διάρκειας 7 ημερών ανά δειγματολήπτη, για το C₆H₆. Οι δειγματοληψίες καλύπτουν το 14% των ημερών του έτους και πραγματοποιήθηκαν τη χρονική περίοδο Σεπτ. 2014-Οκτ. 2015. Οι υπόλοιποι ρύποι προέκυψαν από χημική ανάλυση στο κλάσμα των ΑΣ₁₀. Ο προσδιορισμός τους πραγματοποιήθηκε από διαπιστευμένο εργαστήριο σύμφωνα με τα τεχνικά πρότυπα EN 14662-2, EN 15549, EN 14902, EN 12341, EN 14907.

Πίνακας: Θέσεις δειγματοληψίας και μετρούμενοι ρύποι

ΠΟΛΗ / ΣΗΜΕΙΟ ΜΕΤΡΗΣΗΣ	X	Y	AMSL (m)	Υψος δειγματολήπτη από το έδαφος (m)	C ₆ H ₆	ΑΣ ₁₀	ΑΣ _{2,5}	Pb	As	Ni	Cd	B[a]P
Αριστοτέλους	475933.62	4204234.12	95	ΕΔΠΑΡ	✓	✓	✓	✓	✓	✓	✓	✓
Λ.Κηφισίας (Δακτυλίδι)	482747.40	4210407.61	198	*	✓							
Π. Φάληρο	472679.81	4197374.42	0	*	✓							
Ν. Σμύρνη	474630.70	4198020.95	50	ΕΔΠΑΡ	✓	✓		✓	✓	✓	✓	✓
Πειραιάς Ι	468679.30	4199445.93	4	ΕΔΠΑΡ	✓							
Περιστερί	472497.21	4207882.04	80	ΕΔΠΑΡ	✓							
Κηφισός	473247.64	4205323.91	43	*	✓							
Ασπρόπυργος	463653.00	4211698.00	13	*	✓							
Ελευσίνα	459356.06	4211325.45	20	ΕΔΠΑΡ	✓							
Κορωπί	489215.40	4194584.06	140	ΕΔΠΑΡ		✓						
Αλιάρτος	422133.58	4247538.09	110	ΕΔΠΑΡ			✓					

Αγρίνιο	273484.32	4277158.41	50	10	✓	✓		✓	✓	✓	✓	✓
Λαμία	363963.89	4304709.38	14	11	✓	✓		✓	✓	✓	✓	✓
Θήβα	440114.62	4240884.28	182	10		✓		✓	✓	✓	✓	✓
Πάτρα Ι	301508.19	4235695.69	16	ΕΔΠΑΡ	✓	✓	✓	✓	✓	✓	✓	✓
Πάτρα ΙΙ	301462.87	4233846.07	19	ΕΔΠΑΡ	✓							
Καλαμάτα	330861.21	4099969.94	6	5	✓	✓		✓	✓	✓	✓	✓
Μεγαλόπολη	334628.13	4140594.26	424	8		✓		✓	✓	✓	✓	✓
Ηράκλειο	602851.13	3910309.94	46	8	✓	✓		✓	✓	✓	✓	✓
Χανιά	502613.99	3929270.86	32	*	✓							
Κέρκυρα	149299.76	4392898.01	3	16	✓	✓		✓	✓	✓	✓	✓
Ερμούπολη	582483.82	4143424.29	52	8	✓	✓		✓	✓	✓	✓	✓
Μυτιλήνη	720417.29	4328832.71	278	*	✓							
Ιωάννινα	229456.24	4390038.04	485	ΕΔΠΑΡ	✓	✓		✓	✓	✓	✓	✓
Λάρισα	362543.77	4387998.58	81	8	✓	✓		✓	✓	✓	✓	✓
Βόλος	408800.84	4357682.40	31	ΕΔΠΑΡ	✓	✓	✓	✓	✓	✓	✓	✓
Αλεξανδρούπολη	657752.40	4522922.58	19	11	✓	✓		✓	✓	✓	✓	✓
Καβάλα	533525.96	4531147.92	0	4	✓	✓		✓	✓	✓	✓	✓
Φλώρινα	280405.11	4515821.95	897	2	✓	✓		✓	✓	✓	✓	✓
Πτολεμαΐδα	303541.26	4485546.95	594	2		✓		✓	✓	✓	✓	✓
Αγία Σοφία	409646.17	4498315.89	27	ΕΔΠΑΡ	✓	✓	✓	✓	✓	✓	✓	✓
Κορδελιό	405464.71	4502068.59	30	ΕΔΠΑΡ	✓							
Καλαμαριά	410967.39	4490898.58	60	ΕΔΠΑΡ	✓							
Θεσ/νίκη-Πλ. Δημοκρατίας	408236.69	4498333.12	4	*	✓							
Σίνδος	398395.54	4500311.27	14	ΕΔΠΑΡ		✓		✓	✓	✓	✓	✓
Θεσ/νίκη-Περιφερειακή	412443.40	4496432.15	32	*	✓							

* Οι παθητικοί δειγματολήπτες C₆H₆ τοποθετήθηκαν σε ύψος 2-4m.

Στους παρακάτω πίνακες παρουσιάζονται τα αποτελέσματα των μετρήσεων. Για τα ΑΣ₁₀ δίνεται και ο αριθμός των ημερήσιων υπερβάσεων.

Η κόκκινη γραφή υποδηλώνει ένδειξη υπέρβαση οριακής τιμής ή τιμής στόχου με βάση τις ενδεικτικές μετρήσεις. Σημειώνεται ότι τα παρακάτω αποτελέσματα εμπεριέχουν συγκεντρώσεις από φυσικές πηγές (μεταφορά σκόνης, θαλάσσιο αλάτι) των οποίων η συνεισφορά είναι δυνατό να αφαιρεθεί.

Πίνακας 1: Αιωρούμενα σωματίδια ΑΣ₁₀

ΠΟΛΗ / ΣΗΜΕΙΟ ΜΕΤΡΗΣΗΣ	Αριθμός ημερήσιων υπερβάσεων	Μέση ετήσια τιμή, $\mu\text{g m}^{-3}$
Αριστοτέλους	6	43,0
Ν. Σμύρνη	2	24,1
Κορωπί	8	38,0
Αγρίνιο	9	35,8
Λαμία	7	36,2
Θήβα	1	23,5
Πάτρα	5	31,9
Καλαμάτα	2	21,5
Μεγαλόπολη	2	24,6
Ηράκλειο	2	26,6
Κέρκυρα	3	25,7
Ερμούπολη	0	19,3
Ιωάννινα	13	46,4
Λάρισα	12	36,9
Βόλος	8	37,1
Αλεξανδρούπολη	4	29,8
Καβάλα	2	24,5
Φλώρινα	6	30,2
Πτολεμαΐδα	6	33,7
Αγία Σοφία	7	34,7
Σίνδος	5	31,8

Πίνακας 2: Αιωρούμενα σωματίδια ΑΣ_{2.5}

ΠΟΛΗ / ΣΗΜΕΙΟ ΜΕΤΡΗΣΗΣ	Μέση ετήσια τιμή, $\mu\text{g m}^{-3}$
Αριστοτέλους	23,0
Αγ. Σοφία	22,8
Πάτρα	24,5
Βόλος	28,7
Αλίαρτος	24,5

Πίνακας 3: Βαρέα μέταλλα

ΠΟΛΗ / ΣΗΜΕΙΟ ΜΕΤΡΗΣΗΣ	Μέση ετήσια τιμή, ng m ⁻³			
	Ni	As	Cd	Pb
Αριστοτέλους	4,1	0,5	0,1	4,7
Ν. Σμύρνη	2,9	0,2	0,2	3,7
Αγρίνιο	2,3	0,3	0,1	3,5
Λαμία	4,5	0,6	0,1	4,4
Θήβα	7,0	0,3	0,2	8,9
Πάτρα	2,5	0,2	0,1	3,8
Καλαμάτα	2,1	0,1	0,1	2,4
Μεγαλόπολη	1,8	0,1	0,1	2,2
Ηράκλειο	5,2	0,3	0,1	3,1
Κέρκυρα	2,5	0,2	0,1	4,6
Ερμούπολη	2,9	0,4	0,1	4,0
Ιωάννινα	1,5	0,2	0,2	2,8
Λάρισα	2,1	0,5	0,2	4,9
Βόλος	2,7	0,7	0,3	10,4
Αλεξανδρούπολη	1,4	0,7	0,2	5,0
Καβάλα	1,3	0,5	0,2	3,7
Φλώρινα	2,4	0,4	0,1	2,4
Πτολεμαΐδα	3,7	0,5	0,1	1,8
Αγία Σοφία	5,3	0,5	0,2	6,5
Σίνδος	3,8	0,9	0,2	7,3

Πίνακας 4: Βενζο-α-πυρένιο

ΠΟΛΗ / ΣΗΜΕΙΟ ΜΕΤΡΗΣΗΣ	Μέση ετήσια τιμή, ng m ⁻³
Αριστοτέλους	0,5
Ν. Σμύρνη	0,4
Αγρίνιο	0,9
Λαμία	1,0
Θήβα	0,6
Πάτρα	1,0
Καλαμάτα	0,3
Μεγαλόπολη	0,5
Ηράκλειο	0,3
Κέρκυρα	1,2

ΠΟΛΗ / ΣΗΜΕΙΟ ΜΕΤΡΗΣΗΣ	Μέση ετήσια τιμή, ng m ⁻³
Ερμούπολη	0,2
Ιωάννινα	2,8
Λάρισα	1,8
Βόλος	2,2
Αλεξανδρούπολη	0,6
Καβάλα	0,5
Φλώρινα	1,2
Πτολεμαΐδα	0,4
Αγία Σοφία	0,9
Σίνδος	0,7

Πίνακας 5: Βενζόλιο

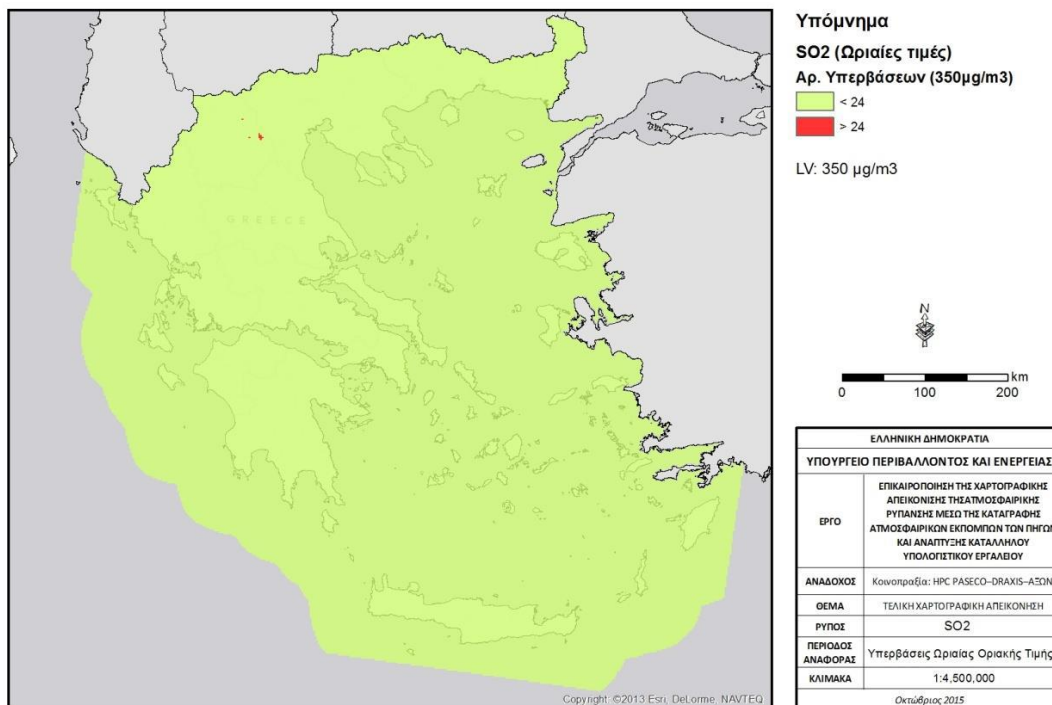
ΠΟΛΗ / ΣΗΜΕΙΟ ΜΕΤΡΗΣΗΣ	Μέση ετήσια τιμή, μg m ⁻³
Αριστοτέλους	2,9
Ν. Σμύρνη	2,2
Ελευσίνα	1,6
Π. Φάληρο	3,5
Λ. Κηφισίας	3,4
Κηφισός	3,2
Πειραιάς	3,4
Περιστερί	2,5
Ασπρόπυργος	2,0
Καλαμαριά	1,3
Θεσ/νίκη-Πλ. Δημοκρατίας	2,2
Κορδελιό	2,0
Θεσ/νίκη-Περιφερειακή	1,3
Αγ. Σοφία	2,2
Αγρίνιο	3,1
Λαμία	2,1
Θήβα	1,5
Πάτρα – Ι	2,9
Πάτρα – ΙΙ	3,4
Καλαμάτα	1,3
Μεγαλόπολη	1,4
Ηράκλειο	2,0

ΠΟΛΗ / ΣΗΜΕΙΟ ΜΕΤΡΗΣΗΣ	Μέση ετήσια τιμή, μg m ⁻³
Κέρκυρα	2,7
Ερμούπολη	1,0
Ιωάννινα	2,8
Λάρισα	3,2
Βόλος	3,0
Αλεξανδρούπολη	2,4
Καβάλα	1,1
Φλώρινα	2,9
Πτολεμαΐδα	1,4
Χανιά	1,9
Μυτιλήνη	2,8

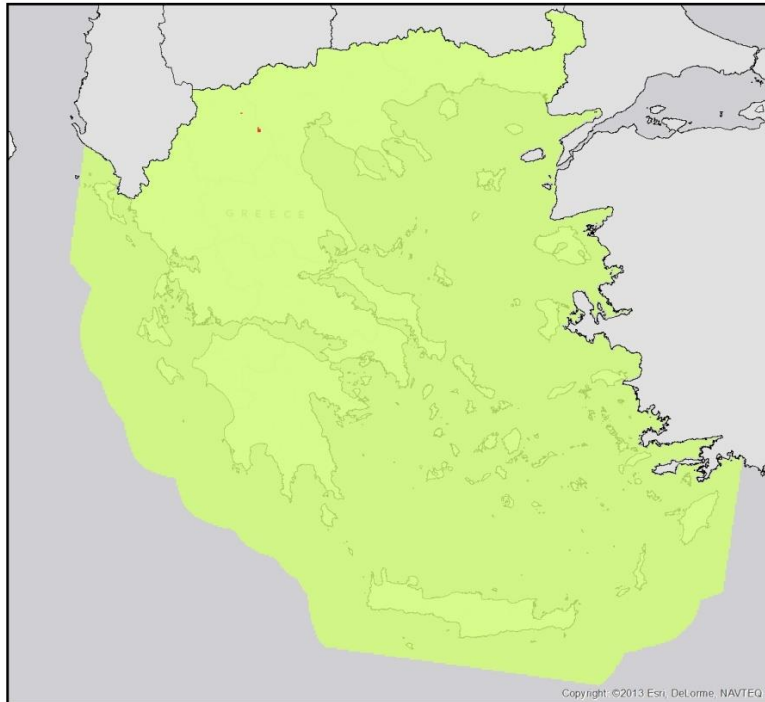
Αποτελέσματα προσομοίωσης

Παρακάτω, δίνονται χάρτες της χώρας που απεικονίζουν χρωματικά την ποιότητα του αέρα σε σχέση με τις θεσμοθετημένες από τη σχετική νομοθεσία οριακές τιμές (LV) και ανώτερα και κατώτερα όρια εκτίμησης (UAT, LAT). Όπου το LV για όζον, μέταλλα και βενζο(α)πυρενίο αντιπροσωπεύει την τιμή στόχο. Οι χάρτες παρουσιάζουν συγκεντρώσεις που είναι αποτελέσματα φωτοχημικού μοντέλου στο πλαίσιο του προαναφερθέντος έργου.

SO₂: Ανθρώπινη υγεία - Υπερβάσεις Οριακής Τιμής



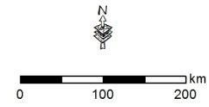
SO₂: Ανθρώπινη υγεία - Υπερβάσεις Οριακής Τιμής LV



Υπόμνημα
SO₂ (Ημερήσιες τιμές)
Αρ. Υπερβάσεων (125µg/m³)

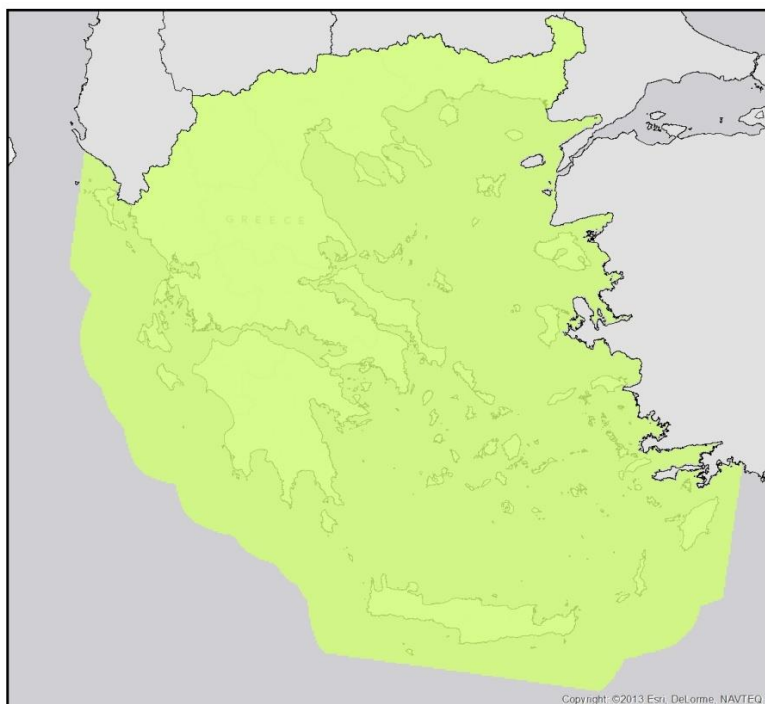
< 3
 > 3

LV: 125 µg/m³



ΕΛΛΗΝΙΚΗ ΔΗΜΟΚΡΑΤΙΑ	
ΥΠΟΥΡΓΕΙΟ ΠΕΡΙΒΑΛΛΟΝΤΟΣ ΚΑΙ ΕΝΕΡΓΕΙΑΣ	
ΕΡΓΟ	ΕΠΙΚΑΙΡΟΠΟΙΗΣΗ ΤΗΣ ΧΑΡΤΟΓΡΑΦΙΚΗΣ ΑΠΕΙΚΟΝΙΣΗΣ ΤΗΣ ΑΤΜΟΣΦΑΙΡΙΚΗΣ ΡΥΠΑΝΣΗΣ ΜΕΘΩ ΤΗΣ ΚΑΤΑΓΡΑΦΗΣ ΑΤΜΟΣΦΑΙΡΙΚΩΝ ΕΚΠΟΜΠΩΝ ΤΩΝ ΠΗΓΩΝ ΚΑΙ ΑΝΑΠΤΥΞΗΣ ΚΑΤΑΛΛΗΛΟΥ ΥΠΟΛΟΓΙΣΤΙΚΟΥ ΕΡΓΑΛΕΙΟΥ
ΑΝΑΔΟΧΟΣ	Κοινωπραξία: ΗΡC ΡΑΣΕCΟ-ΔΡΑΧΙΣ-ΑΣΙΝ
ΘΕΜΑ	ΤΕΛΙΚΗ ΧΑΡΤΟΓΡΑΦΙΚΗ ΑΠΕΙΚΟΝΙΣΗ
ΡΥΠΟΣ	SO ₂
ΠΕΡΙΟΔΟΣ ΑΝΑΦΟΡΑΣ	Υπερβάσεις Ημερήσιος Οριακής Τιμής
ΚΛΙΜΑΚΑ	1:4,500,000
Οκτώβριος 2015	

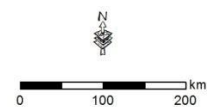
NO₂: Ανθρώπινη υγεία - Ωριαίες Υπερβάσεις LV



Υπόμνημα
Αρ. Υπερβάσεων (200µg/m³)

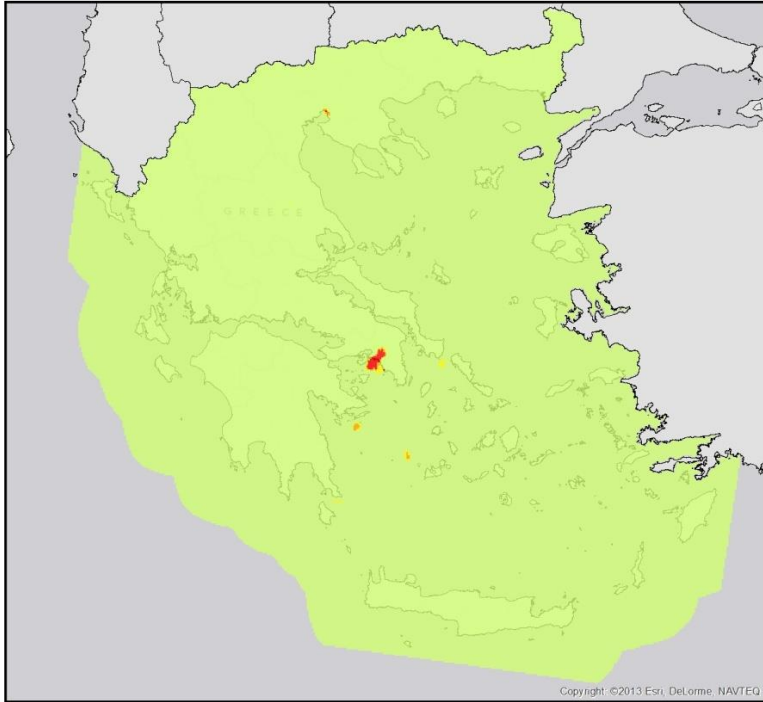
< 18
 > 18

LV: 100 µg/m³



ΕΛΛΗΝΙΚΗ ΔΗΜΟΚΡΑΤΙΑ	
ΥΠΟΥΡΓΕΙΟ ΠΕΡΙΒΑΛΛΟΝΤΟΣ ΚΑΙ ΕΝΕΡΓΕΙΑΣ	
ΕΡΓΟ	ΕΠΙΚΑΙΡΟΠΟΙΗΣΗ ΤΗΣ ΧΑΡΤΟΓΡΑΦΙΚΗΣ ΑΠΕΙΚΟΝΙΣΗΣ ΤΗΣ ΑΤΜΟΣΦΑΙΡΙΚΗΣ ΡΥΠΑΝΣΗΣ ΜΕΘΩ ΤΗΣ ΚΑΤΑΓΡΑΦΗΣ ΑΤΜΟΣΦΑΙΡΙΚΩΝ ΕΚΠΟΜΠΩΝ ΤΩΝ ΠΗΓΩΝ ΚΑΙ ΑΝΑΠΤΥΞΗΣ ΚΑΤΑΛΛΗΛΟΥ ΥΠΟΛΟΓΙΣΤΙΚΟΥ ΕΡΓΑΛΕΙΟΥ
ΑΝΑΔΟΧΟΣ	Κοινωπραξία: ΗΡC ΡΑΣΕCΟ-ΔΡΑΧΙΣ-ΑΣΙΝ
ΘΕΜΑ	ΤΕΛΙΚΗ ΧΑΡΤΟΓΡΑΦΙΚΗ ΑΠΕΙΚΟΝΙΣΗ
ΡΥΠΟΣ	NO ₂
ΠΕΡΙΟΔΟΣ ΑΝΑΦΟΡΑΣ	Έτος (2012)
ΚΛΙΜΑΚΑ	1:4,500,000
Οκτώβριος 2015	

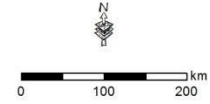
NO₂: Μέση Ετήσια Τιμή



Υπόμνημα
NO₂ (Ετήσια μέση τιμή)
µg/m³

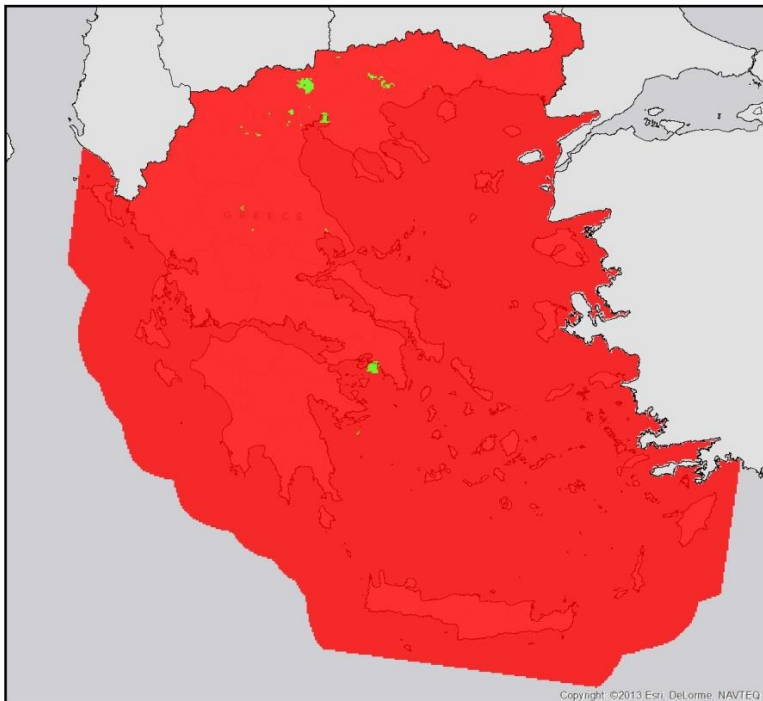
- NO₂ < LAT
- LAT < NO₂ < UAT
- UAT < NO₂ < LV
- NO₂ > LV

LAT: 26 µg/m³
 UAT: 32 µg/m³
 LV: 40 µg/m³



ΕΛΛΗΝΙΚΗ ΔΗΜΟΚΡΑΤΙΑ	
ΥΠΟΥΡΓΕΙΟ ΠΕΡΙΒΑΛΛΟΝΤΟΣ ΚΑΙ ΕΝΕΡΓΕΙΑΣ	
ΕΡΓΟ	ΕΠΙΚΑΙΡΟΠΟΙΗΣΗ ΤΗΣ ΧΑΡΤΟΓΡΑΦΙΚΗΣ ΑΠΕΙΚΟΝΙΣΗΣ ΤΗΣ ΑΤΜΟΣΦΑΙΡΙΚΗΣ ΡΥΠΑΝΣΗΣ ΜΕΣΩ ΤΗΣ ΚΑΤΑΓΡΑΦΗΣ ΑΤΜΟΣΦΑΙΡΙΚΩΝ ΕΚΠΟΜΠΩΝ ΤΩΝ ΠΗΓΩΝ ΚΑΙ ΑΝΑΠΤΥΞΗΣ ΚΑΤΑΛΛΗΛΟΥ ΥΠΟΛΟΓΙΣΤΙΚΟΥ ΕΡΓΑΛΕΙΟΥ
ΑΝΑΔΟΧΟΣ	Κοινωπραξία: ΗΡC ΡΑΣΕCΟ-ΔΡΑΧΙΣ-ΑΣΩΝ
ΘΕΜΑ	ΤΕΛΙΚΗ ΧΑΡΤΟΓΡΑΦΙΚΗ ΑΠΕΙΚΟΝΙΣΗ
ΡΥΠΟΣ	NO ₂
ΠΕΡΙΟΔΟΣ ΑΝΑΦΟΡΑΣ	Έτος (2012)
ΚΑΙΜΑΚΑ	1:4.500.000
Οκτώβριος 2015	

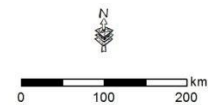
O₃: Μέγιστη ημερήσια 8ωρη τιμή-Υπερβάσεις Οριακής Τιμής



Υπόμνημα
O₃ (Ημερήσια μέγιστη 8ωρη)
Αρ. Υπερβάσεων (120µg/m³)

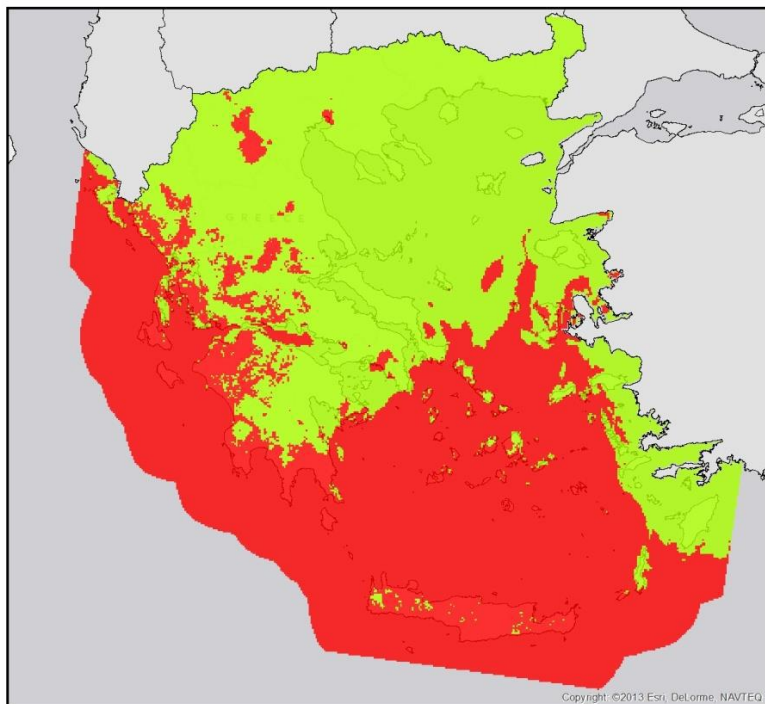
- < 25
- > 25

LV: 120 µg/m³



ΕΛΛΗΝΙΚΗ ΔΗΜΟΚΡΑΤΙΑ	
ΥΠΟΥΡΓΕΙΟ ΠΕΡΙΒΑΛΛΟΝΤΟΣ ΚΑΙ ΕΝΕΡΓΕΙΑΣ	
ΕΡΓΟ	ΕΠΙΚΑΙΡΟΠΟΙΗΣΗ ΤΗΣ ΧΑΡΤΟΓΡΑΦΙΚΗΣ ΑΠΕΙΚΟΝΙΣΗΣ ΤΗΣ ΑΤΜΟΣΦΑΙΡΙΚΗΣ ΡΥΠΑΝΣΗΣ ΜΕΣΩ ΤΗΣ ΚΑΤΑΓΡΑΦΗΣ ΑΤΜΟΣΦΑΙΡΙΚΩΝ ΕΚΠΟΜΠΩΝ ΤΩΝ ΠΗΓΩΝ ΚΑΙ ΑΝΑΠΤΥΞΗΣ ΚΑΤΑΛΛΗΛΟΥ ΥΠΟΛΟΓΙΣΤΙΚΟΥ ΕΡΓΑΛΕΙΟΥ
ΑΝΑΔΟΧΟΣ	Κοινωπραξία: ΗΡC ΡΑΣΕCΟ-ΔΡΑΧΙΣ-ΑΣΩΝ
ΘΕΜΑ	ΤΕΛΙΚΗ ΧΑΡΤΟΓΡΑΦΙΚΗ ΑΠΕΙΚΟΝΙΣΗ
ΡΥΠΟΣ	O ₃
ΠΕΡΙΟΔΟΣ ΑΝΑΦΟΡΑΣ	Έτος (2012)
ΚΑΙΜΑΚΑ	1:4.500.000
Οκτώβριος 2015	

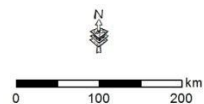
PM 10: Ημερήσιες τιμές - Υπερβάσεις Οριακής Τιμής LV



Υπόμνημα
PM 10 (Ημερήσια τιμή)
Αρ. Υπερβάσεων (50µg/m³)

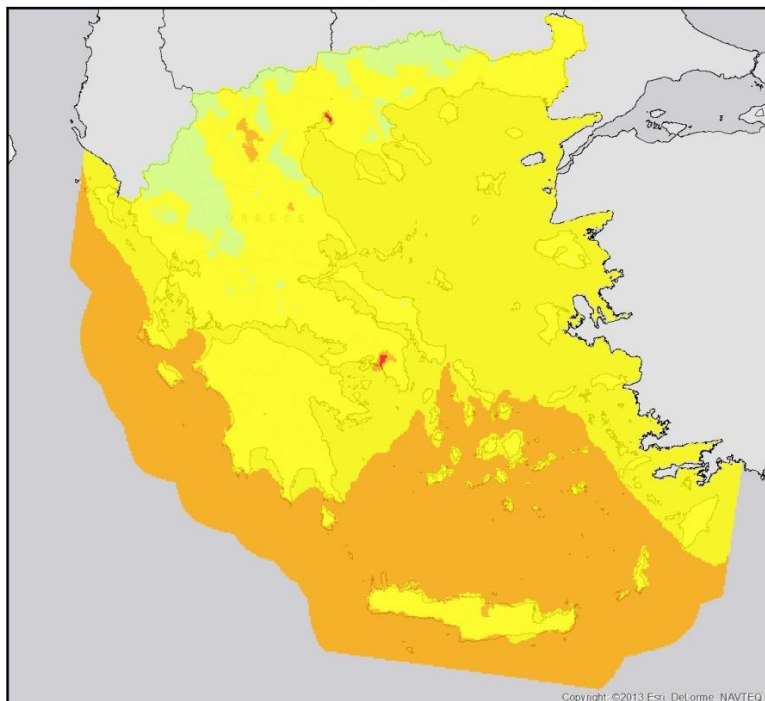
■ < 35
■ > 35

LV: 50 µg/m³



ΕΛΛΗΝΙΚΗ ΔΗΜΟΚΡΑΤΙΑ	
ΥΠΟΥΡΓΕΙΟ ΠΕΡΙΒΑΛΛΟΝΤΟΣ ΚΑΙ ΕΝΕΡΓΕΙΑΣ	
ΕΡΓΟ	ΕΠΙΚΑΙΡΟΠΟΙΗΣΗ ΤΗΣ ΧΑΡΤΟΓΡΑΦΙΚΗΣ ΑΠΕΙΚΟΝΙΣΗΣ ΤΗΣ ΑΤΜΟΣΦΑΙΡΙΚΗΣ ΡΥΠΑΝΣΗΣ ΜΕΣΩ ΤΗΣ ΚΑΤΑΓΡΑΦΗΣ ΑΤΜΟΣΦΑΙΡΙΚΩΝ ΕΚΠΟΜΩΝ ΤΩΝ ΠΗΓΩΝ ΚΑΙ ΑΝΑΠΤΥΞΗΣ ΚΑΤΑΛΛΗΛΟΥ ΥΠΟΛΟΓΙΣΤΙΚΟΥ ΕΡΓΑΛΕΙΟΥ
ΑΝΑΔΟΧΟΣ	Κοινοπραξία: ΗΡC ΡΑΣΕCΟ-ΔΡΑΧΙΣ-ΑΣΩΝ
ΘΕΜΑ	ΤΕΛΙΚΗ ΧΑΡΤΟΓΡΑΦΙΚΗ ΑΠΕΙΚΟΝΙΣΗ
ΡΥΠΟΣ	PM 10
ΠΕΡΙΟΔΟΣ ΑΝΑΦΟΡΑΣ	Έτος (2012)
ΚΑΙΜΑΚΑ	1:4.500.000
Οκτώβριος 2015	

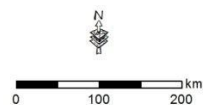
PM 10: Μέση Ετήσια Τιμή



Υπόμνημα
PM10
(µg/m³)

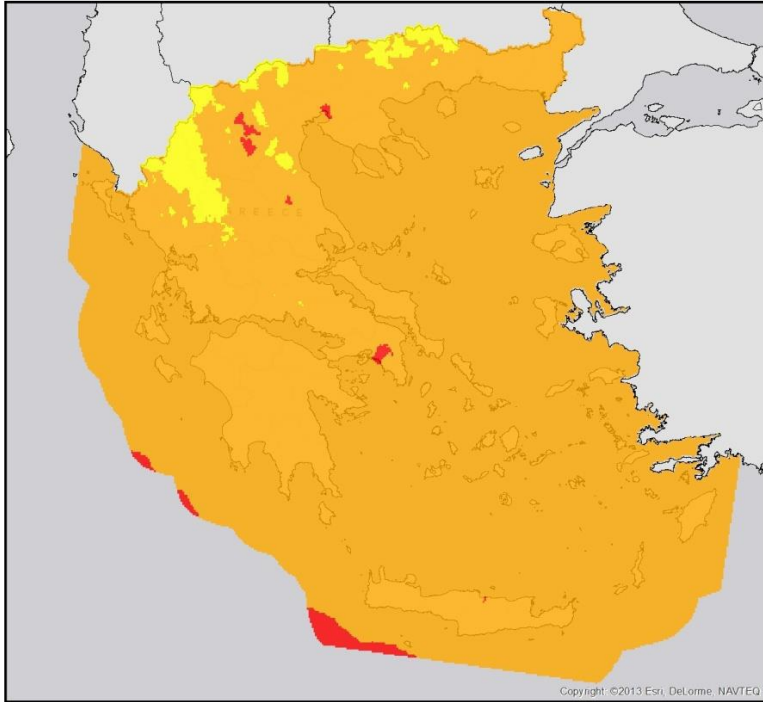
■ PM 10 < LAT
■ LAT < PM 10 < UAT
■ UAT < PM 10 < LV
■ > LV

LAT: 20 µg/m³
 UAT: 28 µg/m³
 LV: 40 µg/m³



ΕΛΛΗΝΙΚΗ ΔΗΜΟΚΡΑΤΙΑ	
ΥΠΟΥΡΓΕΙΟ ΠΕΡΙΒΑΛΛΟΝΤΟΣ ΚΑΙ ΕΝΕΡΓΕΙΑΣ	
ΕΡΓΟ	ΕΠΙΚΑΙΡΟΠΟΙΗΣΗ ΤΗΣ ΧΑΡΤΟΓΡΑΦΙΚΗΣ ΑΠΕΙΚΟΝΙΣΗΣ ΤΗΣ ΑΤΜΟΣΦΑΙΡΙΚΗΣ ΡΥΠΑΝΣΗΣ ΜΕΣΩ ΤΗΣ ΚΑΤΑΓΡΑΦΗΣ ΑΤΜΟΣΦΑΙΡΙΚΩΝ ΕΚΠΟΜΩΝ ΤΩΝ ΠΗΓΩΝ ΚΑΙ ΑΝΑΠΤΥΞΗΣ ΚΑΤΑΛΛΗΛΟΥ ΥΠΟΛΟΓΙΣΤΙΚΟΥ ΕΡΓΑΛΕΙΟΥ
ΑΝΑΔΟΧΟΣ	Κοινοπραξία: ΗΡC ΡΑΣΕCΟ-ΔΡΑΧΙΣ-ΑΣΩΝ
ΘΕΜΑ	ΤΕΛΙΚΗ ΧΑΡΤΟΓΡΑΦΙΚΗ ΑΠΕΙΚΟΝΙΣΗ
ΡΥΠΟΣ	PM 10
ΠΕΡΙΟΔΟΣ ΑΝΑΦΟΡΑΣ	Έτος (2012)
ΚΑΙΜΑΚΑ	1:4.500.000
Οκτώβριος 2015	

PM 2.5: Μέση Ετήσια Τιμή

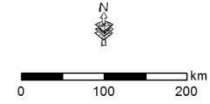


Υπόμνημα

PM2.5 ($\mu\text{g}/\text{m}^3$)

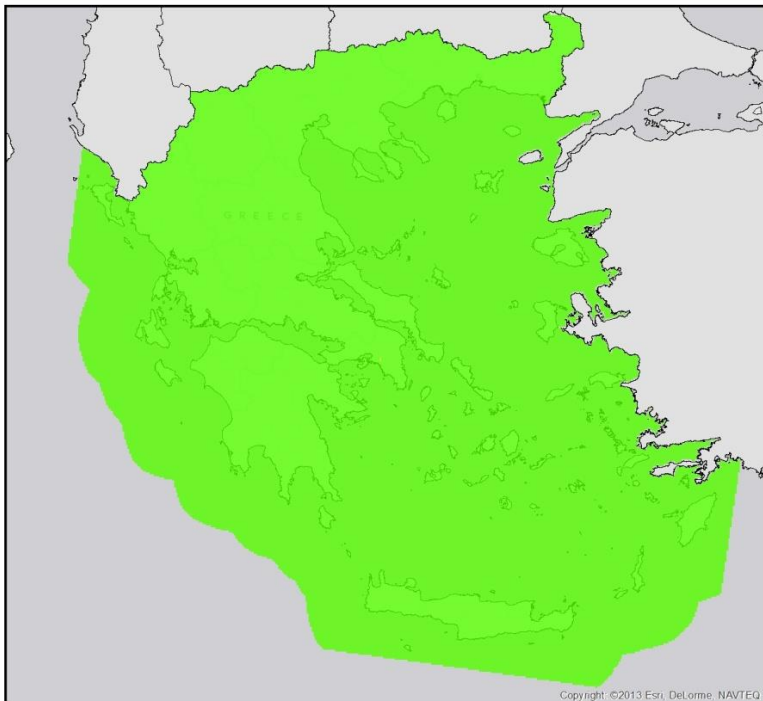
- PM2.5 < LAT
- LAT < PM2.5 < UAT
- UAT < PM2.5 < LV
- PM2.5 > LV

LAT: 12 $\mu\text{g}/\text{m}^3$
 UAT: 17 $\mu\text{g}/\text{m}^3$
 LV: 25 $\mu\text{g}/\text{m}^3$



ΕΛΛΗΝΙΚΗ ΔΗΜΟΚΡΑΤΙΑ	
ΥΠΟΥΡΓΕΙΟ ΠΕΡΙΒΑΛΛΟΝΤΟΣ ΚΑΙ ΕΝΕΡΓΕΙΑΣ	
ΕΡΓΟ	ΕΠΙΚΑΙΡΟΠΟΙΗΣΗ ΤΗΣ ΧΑΡΤΟΓΡΑΦΙΚΗΣ ΑΠΕΙΚΟΝΙΣΗΣ ΤΗΣ ΑΤΜΟΣΦΑΙΡΙΚΗΣ ΡΥΠΑΝΣΗΣ ΜΕΣΩ ΤΗΣ ΚΑΤΑΓΡΑΦΗΣ ΑΤΜΟΣΦΑΙΡΙΚΩΝ ΕΚΠΟΜΠΩΝ ΤΩΝ ΠΗΓΩΝ ΚΑΙ ΑΝΑΠΤΥΞΗΣ ΚΑΤΑΛΛΗΛΟΥ ΥΠΟΛΟΓΙΣΤΙΚΟΥ ΕΡΓΑΛΕΙΟΥ
ΑΝΑΔΟΧΟΣ	Κοινοπραξία: ΗΡC ΡΑΣΕCΟ-ΔΡΑΧΙΣ-ΑΣΩΝ
ΘΕΜΑ	ΤΕΛΙΚΗ ΧΑΡΤΟΓΡΑΦΙΚΗ ΑΠΕΙΚΟΝΙΣΗ
ΡΥΠΟΣ	PM 2.5
ΠΕΡΙΟΔΟΣ ΑΝΑΦΟΡΑΣ	Έτος (2012)
ΚΑΙΜΑΚΑ	1:4,500,000
Οκτώβριος 2015	

CO: Μέγιστη ετήσια τιμή των μεγίστων ημερησίων θωρων

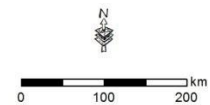


Υπόμνημα

CO (mg/m^3)

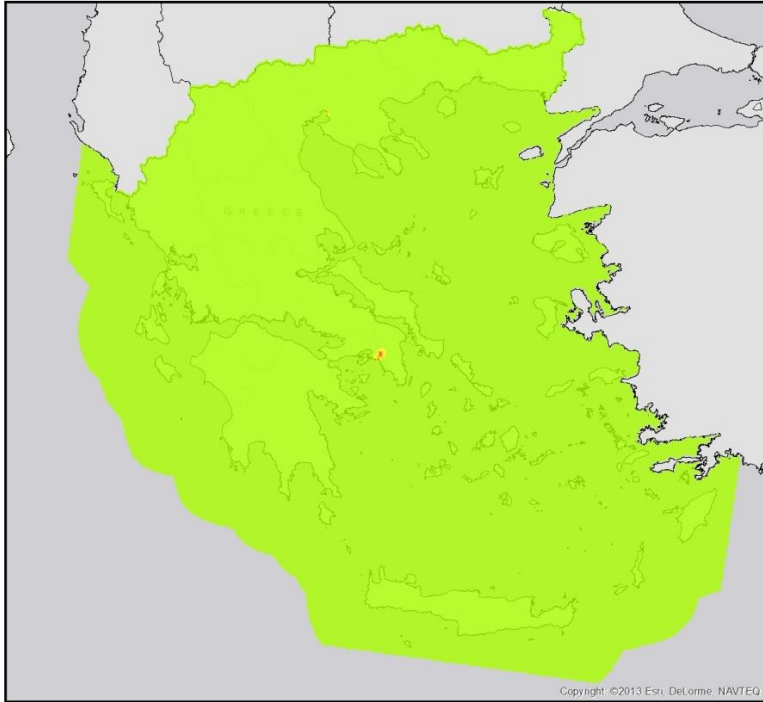
- CO < LAT
- LAT < CO < UAT
- UAT < CO < LV
- CO > LV

LAT: 5 mg/m^3
 UAT: 7 mg/m^3
 LV: 10 mg/m^3



ΕΛΛΗΝΙΚΗ ΔΗΜΟΚΡΑΤΙΑ	
ΥΠΟΥΡΓΕΙΟ ΠΕΡΙΒΑΛΛΟΝΤΟΣ ΚΑΙ ΕΝΕΡΓΕΙΑΣ	
ΕΡΓΟ	ΕΠΙΚΑΙΡΟΠΟΙΗΣΗ ΤΗΣ ΧΑΡΤΟΓΡΑΦΙΚΗΣ ΑΠΕΙΚΟΝΙΣΗΣ ΤΗΣ ΑΤΜΟΣΦΑΙΡΙΚΗΣ ΡΥΠΑΝΣΗΣ ΜΕΣΩ ΤΗΣ ΚΑΤΑΓΡΑΦΗΣ ΑΤΜΟΣΦΑΙΡΙΚΩΝ ΕΚΠΟΜΠΩΝ ΤΩΝ ΠΗΓΩΝ ΚΑΙ ΑΝΑΠΤΥΞΗΣ ΚΑΤΑΛΛΗΛΟΥ ΥΠΟΛΟΓΙΣΤΙΚΟΥ ΕΡΓΑΛΕΙΟΥ
ΑΝΑΔΟΧΟΣ	Κοινοπραξία: ΗΡC ΡΑΣΕCΟ-ΔΡΑΧΙΣ-ΑΣΩΝ
ΘΕΜΑ	ΤΕΛΙΚΗ ΧΑΡΤΟΓΡΑΦΙΚΗ ΑΠΕΙΚΟΝΙΣΗ
ΡΥΠΟΣ	CO
ΠΕΡΙΟΔΟΣ ΑΝΑΦΟΡΑΣ	Έτος (2012)
ΚΑΙΜΑΚΑ	1:4,500,000
Οκτώβριος 2015	

Βενζόλιο: Μέση Ετήσια Τιμή



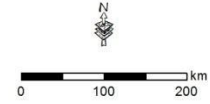
Υπόμνημα

benzene

<VALUE>

- benzene < LAT
- LAT < benzene < UAT
- UAT < benzene < LV
- benzene > LV

LAT: 2 µg/m³
 UAT: 3.5 µg/m³
 LV: 5 µg/m³



ΕΛΛΗΝΙΚΗ ΔΗΜΟΚΡΑΤΙΑ	
ΥΠΟΥΡΓΕΙΟ ΠΕΡΙΒΑΛΛΟΝΤΟΣ ΚΑΙ ΕΝΕΡΓΕΙΑΣ	
ΕΡΓΟ	ΕΠΙΚΑΙΡΟΠΟΙΗΣΗ ΤΗΣ ΧΑΡΤΟΓΡΑΦΙΚΗΣ ΑΠΕΙΚΟΝΙΣΗΣ ΤΗΣ ΑΤΜΟΣΦΑΙΡΙΚΗΣ ΡΥΠΑΝΣΗΣ ΜΕΣΩ ΤΗΣ ΚΑΤΑΓΡΑΦΗΣ ΑΤΜΟΣΦΑΙΡΙΚΩΝ ΕΚΠΟΜΠΩΝ ΤΩΝ ΠΗΓΩΝ ΚΑΙ ΑΝΑΠΤΥΞΗΣ ΚΑΤΑΛΛΗΛΟΥ ΥΠΟΛΟΓΙΣΤΙΚΟΥ ΕΡΓΑΛΕΙΟΥ
ΑΝΑΔΟΧΟΣ	Κοινοπραξία: ΗΡC ΡΑΣΕCΟ-ΔΡΑΧΙΣ-ΑΣΩΝ
ΘΕΜΑ	ΤΕΛΙΚΗ ΧΑΡΤΟΓΡΑΦΙΚΗ ΑΠΕΙΚΟΝΙΣΗ
ΡΥΠΟΣ	benzene
ΠΕΡΙΟΔΟΣ ΑΝΑΦΟΡΑΣ	Έτος (2012)
ΚΑΙΜΑΚΑ	1:4,500,000
Οκτώβριος 2015	

Pb: Μέση Ετήσια Τιμή



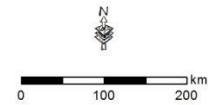
Υπόμνημα

Pb (Ετήσια μέση τιμή)

(µg/m³)

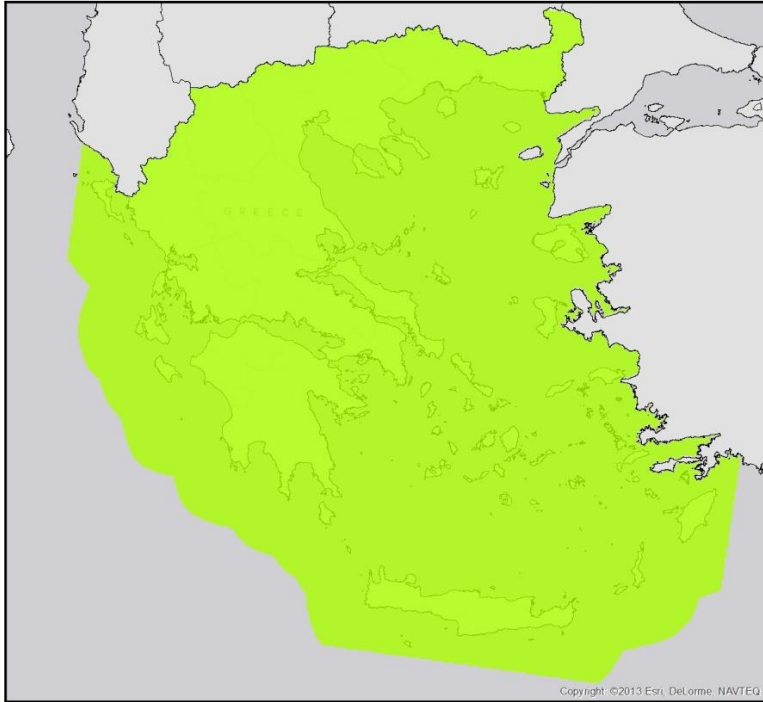
- Pb < LAT
- LAT < Pb < UAT
- UAT < Pb < LV
- Pb > LV

LAT: 0.25 µg/m³
 UAT: 0.35 µg/m³
 LV: 0.55 µg/m³



ΕΛΛΗΝΙΚΗ ΔΗΜΟΚΡΑΤΙΑ	
ΥΠΟΥΡΓΕΙΟ ΠΕΡΙΒΑΛΛΟΝΤΟΣ ΚΑΙ ΕΝΕΡΓΕΙΑΣ	
ΕΡΓΟ	ΕΠΙΚΑΙΡΟΠΟΙΗΣΗ ΤΗΣ ΧΑΡΤΟΓΡΑΦΙΚΗΣ ΑΠΕΙΚΟΝΙΣΗΣ ΤΗΣ ΑΤΜΟΣΦΑΙΡΙΚΗΣ ΡΥΠΑΝΣΗΣ ΜΕΣΩ ΤΗΣ ΚΑΤΑΓΡΑΦΗΣ ΑΤΜΟΣΦΑΙΡΙΚΩΝ ΕΚΠΟΜΠΩΝ ΤΩΝ ΠΗΓΩΝ ΚΑΙ ΑΝΑΠΤΥΞΗΣ ΚΑΤΑΛΛΗΛΟΥ ΥΠΟΛΟΓΙΣΤΙΚΟΥ ΕΡΓΑΛΕΙΟΥ
ΑΝΑΔΟΧΟΣ	Κοινοπραξία: ΗΡC ΡΑΣΕCΟ-ΔΡΑΧΙΣ-ΑΣΩΝ
ΘΕΜΑ	ΤΕΛΙΚΗ ΧΑΡΤΟΓΡΑΦΙΚΗ ΑΠΕΙΚΟΝΙΣΗ
ΡΥΠΟΣ	Pb
ΠΕΡΙΟΔΟΣ ΑΝΑΦΟΡΑΣ	Έτος (2012)
ΚΑΙΜΑΚΑ	1:4,500,000
Οκτώβριος 2015	

As: Μέση Ετήσια Τιμή

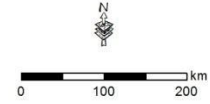


Υπόμνημα

As (Ετήσια μέση τιμή) (ng/m³)

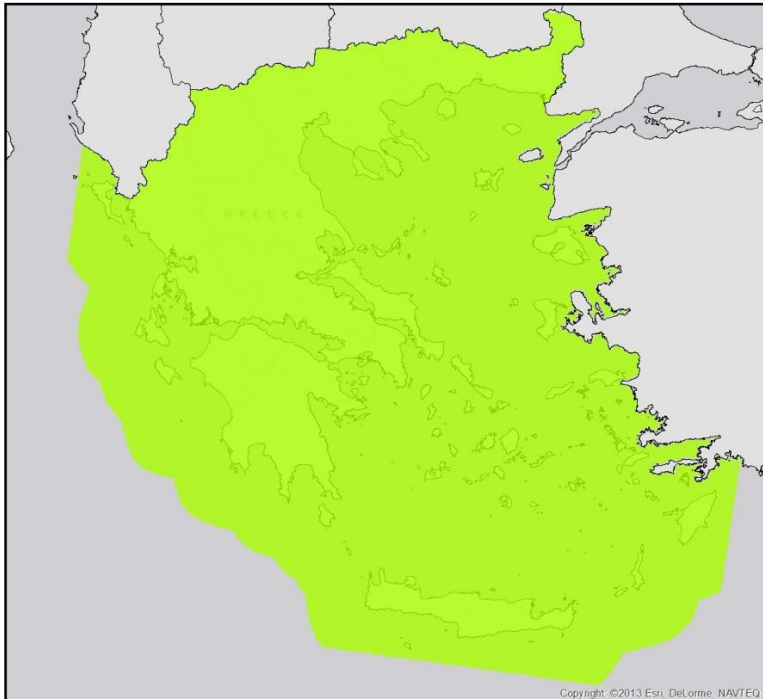
- As < LAT
- LAT < As < UAT
- UAT < As < LV
- As > LV

LAT: 2.4 ng/m³
 UAT: 3.6 ng/m³
 LV: 6 ng/m³



ΕΛΛΗΝΙΚΗ ΔΗΜΟΚΡΑΤΙΑ	
ΥΠΟΥΡΓΕΙΟ ΠΕΡΙΒΑΛΛΟΝΤΟΣ ΚΑΙ ΕΝΕΡΓΕΙΑΣ	
ΕΡΓΟ	ΕΠΙΚΑΙΡΟΠΟΙΗΣΗ ΤΗΣ ΧΑΡΤΟΓΡΑΦΙΚΗΣ ΑΠΕΙΚΟΝΙΣΗΣ ΤΗΣ ΑΤΜΟΣΦΑΙΡΙΚΗΣ ΡΥΠΑΝΣΗΣ ΜΕΣΩ ΤΗΣ ΚΑΤΑΓΡΑΦΗΣ ΑΤΜΟΣΦΑΙΡΙΚΩΝ ΕΚΠΟΜΠΩΝ ΤΩΝ ΠΗΓΩΝ ΚΑΙ ΑΝΑΠΤΥΞΗΣ ΚΑΤΑΛΛΗΛΟΥ ΥΠΟΛΟΓΙΣΤΙΚΟΥ ΕΡΓΑΛΕΙΟΥ
ΑΝΑΔΟΧΟΣ	Κοινοπραξία: HPC PASECO-DRAXIS-ΑΣΩΝ
ΘΕΜΑ	ΤΕΛΙΚΗ ΧΑΡΤΟΓΡΑΦΙΚΗ ΑΠΕΙΚΟΝΙΣΗ
ΡΥΠΟΣ	As
ΠΕΡΙΟΔΟΣ ΑΝΑΦΟΡΑΣ	Έτος (2012)
ΚΑΙΜΑΚΑ	1:4,500,000
Οκτώβριος 2015	

Cd: Μέση Ετήσια Τιμή

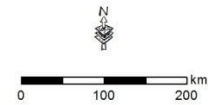


Υπόμνημα

Cd (Ετήσια μέση τιμή) (ng/m³)

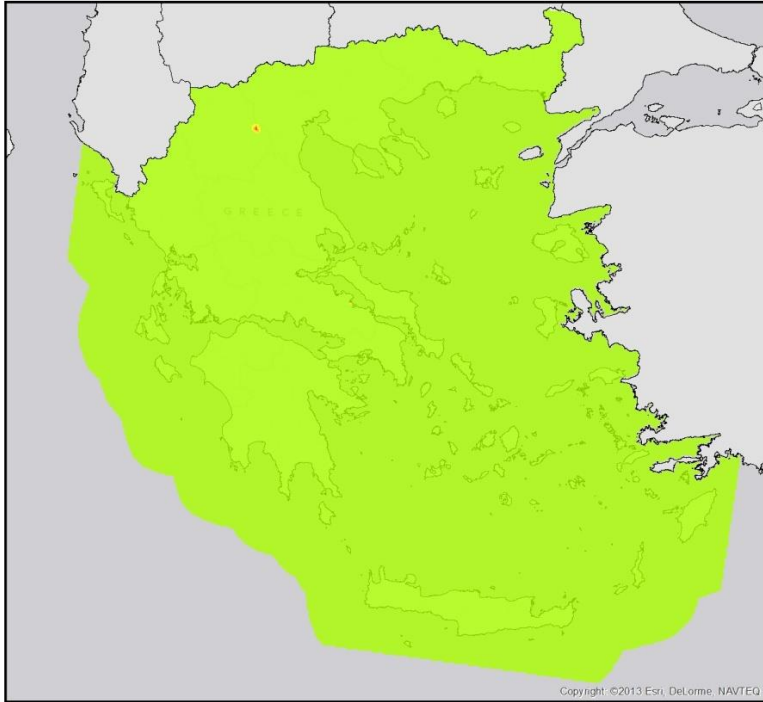
- Cd < LAT
- LAT < Cd < UAT
- UAT < Cd < LV
- Cd > LV

LAT: 2 ng/m³
 UAT: 3 ng/m³
 LV: 5 ng/m³



ΕΛΛΗΝΙΚΗ ΔΗΜΟΚΡΑΤΙΑ	
ΥΠΟΥΡΓΕΙΟ ΠΕΡΙΒΑΛΛΟΝΤΟΣ ΚΑΙ ΕΝΕΡΓΕΙΑΣ	
ΕΡΓΟ	ΕΠΙΚΑΙΡΟΠΟΙΗΣΗ ΤΗΣ ΧΑΡΤΟΓΡΑΦΙΚΗΣ ΑΠΕΙΚΟΝΙΣΗΣ ΤΗΣ ΑΤΜΟΣΦΑΙΡΙΚΗΣ ΡΥΠΑΝΣΗΣ ΜΕΣΩ ΤΗΣ ΚΑΤΑΓΡΑΦΗΣ ΑΤΜΟΣΦΑΙΡΙΚΩΝ ΕΚΠΟΜΠΩΝ ΤΩΝ ΠΗΓΩΝ ΚΑΙ ΑΝΑΠΤΥΞΗΣ ΚΑΤΑΛΛΗΛΟΥ ΥΠΟΛΟΓΙΣΤΙΚΟΥ ΕΡΓΑΛΕΙΟΥ
ΑΝΑΔΟΧΟΣ	Κοινοπραξία: HPC PASECO-DRAXIS-ΑΣΩΝ
ΘΕΜΑ	ΤΕΛΙΚΗ ΧΑΡΤΟΓΡΑΦΙΚΗ ΑΠΕΙΚΟΝΙΣΗ
ΡΥΠΟΣ	Cd
ΠΕΡΙΟΔΟΣ ΑΝΑΦΟΡΑΣ	Έτος (2012)
ΚΑΙΜΑΚΑ	1:4,500,000
Οκτώβριος 2015	

Ni: Μέση Ετήσια Τιμή



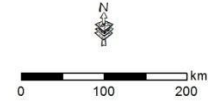
Υπόμνημα

Ni (Ετήσια μέση τιμή)

<VALUE>

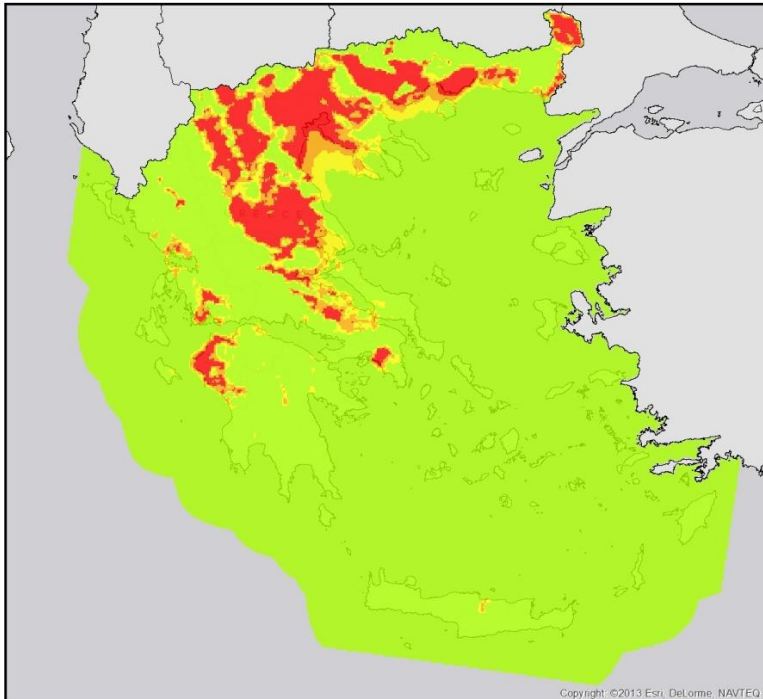
- Ni < LAT
- LAT < Ni < UAT
- UAT < Ni < LV
- Ni > LV

LAT: 10 ng/m3
UAT: 14 ng/m3
LV: 20 ng/m3



ΕΛΛΗΝΙΚΗ ΔΗΜΟΚΡΑΤΙΑ	
ΥΠΟΥΡΓΕΙΟ ΠΕΡΙΒΑΛΛΟΝΤΟΣ ΚΑΙ ΕΝΕΡΓΕΙΑΣ	
ΕΡΓΟ	ΕΠΙΚΑΙΡΟΠΟΙΗΣΗ ΤΗΣ ΧΑΡΤΟΓΡΑΦΙΚΗΣ ΑΠΕΙΚΟΝΙΣΗΣ ΤΗΣ ΑΤΜΟΣΦΑΙΡΙΚΗΣ ΡΥΠΑΝΣΗΣ ΜΕΣΩ ΤΗΣ ΚΑΤΑΓΡΑΦΗΣ ΑΤΜΟΣΦΑΙΡΙΚΩΝ ΕΚΠΟΜΠΩΝ ΤΩΝ ΠΗΓΩΝ ΚΑΙ ΑΝΑΠΤΥΞΗΣ ΚΑΤΑΛΛΗΛΟΥ ΥΠΟΛΟΓΙΣΤΙΚΟΥ ΕΡΓΑΛΕΙΟΥ
ΑΝΑΔΟΧΟΣ	Κοινοπραξία: ΗΡC ΡΑΣΕCΟ-ΔΡΑΧΙΣ-ΑΣΩΝ
ΘΕΜΑ	ΤΕΛΙΚΗ ΧΑΡΤΟΓΡΑΦΙΚΗ ΑΠΕΙΚΟΝΙΣΗ
ΡΥΠΟΣ	Ni
ΠΕΡΙΟΔΟΣ ΑΝΑΦΟΡΑΣ	Έτος (2012)
ΚΑΙΜΑΚΑ	1:4.500.000
Οκτώβριος 2015	

BaP: Μέση Ετήσια Τιμή



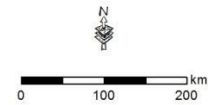
Υπόμνημα

BaP (Ετήσια μέση τιμή)

(ng/m3)

- BaP < LAT
- LAT < BaP < UAT
- UAT < BaP < LV
- BaP > LV

LAT: 0.4 ng/m3
UAT: 0.6 ng/m3
LV: 1 ng/m3

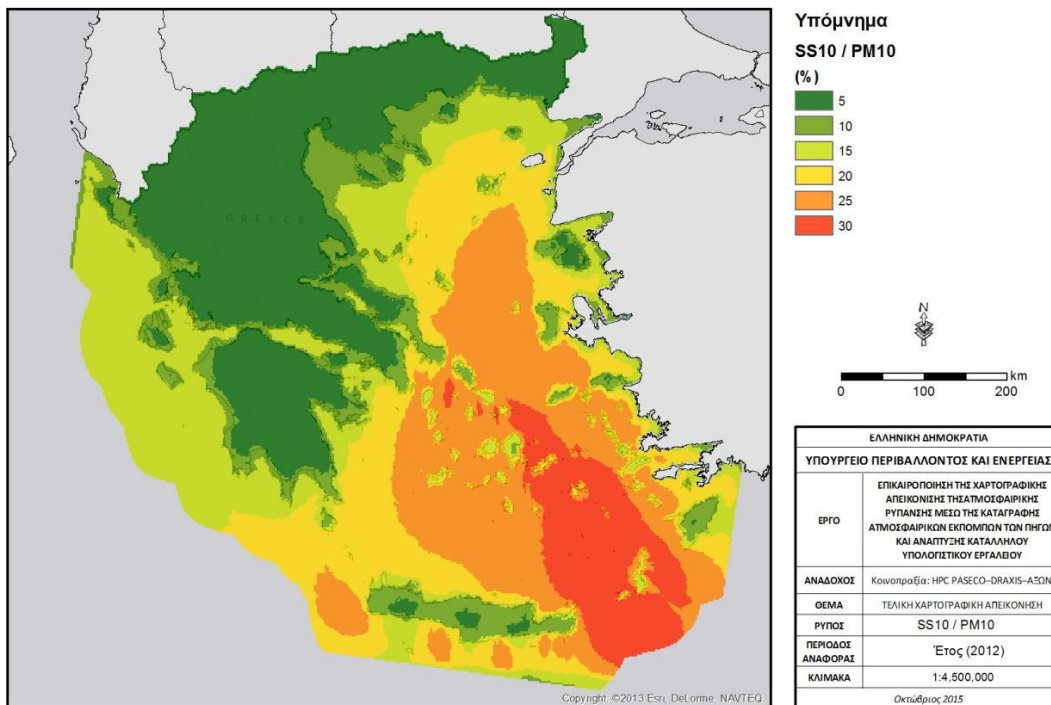


ΕΛΛΗΝΙΚΗ ΔΗΜΟΚΡΑΤΙΑ	
ΥΠΟΥΡΓΕΙΟ ΠΕΡΙΒΑΛΛΟΝΤΟΣ ΚΑΙ ΕΝΕΡΓΕΙΑΣ	
ΕΡΓΟ	ΕΠΙΚΑΙΡΟΠΟΙΗΣΗ ΤΗΣ ΧΑΡΤΟΓΡΑΦΙΚΗΣ ΑΠΕΙΚΟΝΙΣΗΣ ΤΗΣ ΑΤΜΟΣΦΑΙΡΙΚΗΣ ΡΥΠΑΝΣΗΣ ΜΕΣΩ ΤΗΣ ΚΑΤΑΓΡΑΦΗΣ ΑΤΜΟΣΦΑΙΡΙΚΩΝ ΕΚΠΟΜΠΩΝ ΤΩΝ ΠΗΓΩΝ ΚΑΙ ΑΝΑΠΤΥΞΗΣ ΚΑΤΑΛΛΗΛΟΥ ΥΠΟΛΟΓΙΣΤΙΚΟΥ ΕΡΓΑΛΕΙΟΥ
ΑΝΑΔΟΧΟΣ	Κοινοπραξία: ΗΡC ΡΑΣΕCΟ-ΔΡΑΧΙΣ-ΑΣΩΝ
ΘΕΜΑ	ΤΕΛΙΚΗ ΧΑΡΤΟΓΡΑΦΙΚΗ ΑΠΕΙΚΟΝΙΣΗ
ΡΥΠΟΣ	BaP
ΠΕΡΙΟΔΟΣ ΑΝΑΦΟΡΑΣ	Έτος (2012)
ΚΑΙΜΑΚΑ	1:4.500.000
Οκτώβριος 2015	

Επιπλέον, στον παρακάτω χάρτη παρουσιάζεται το ποσοστό του θαλάσσιου άλατος στη συγκέντρωση των αιωρούμενων σωματιδίων ΑΣ₁₀. Η παρουσία

του θαλάσσιου άλατος στα ΑΣ₁₀ οφείλεται στην έντονη εξάτμιση που ευνοείται από τη θερμοκρασία και τον άνεμο.

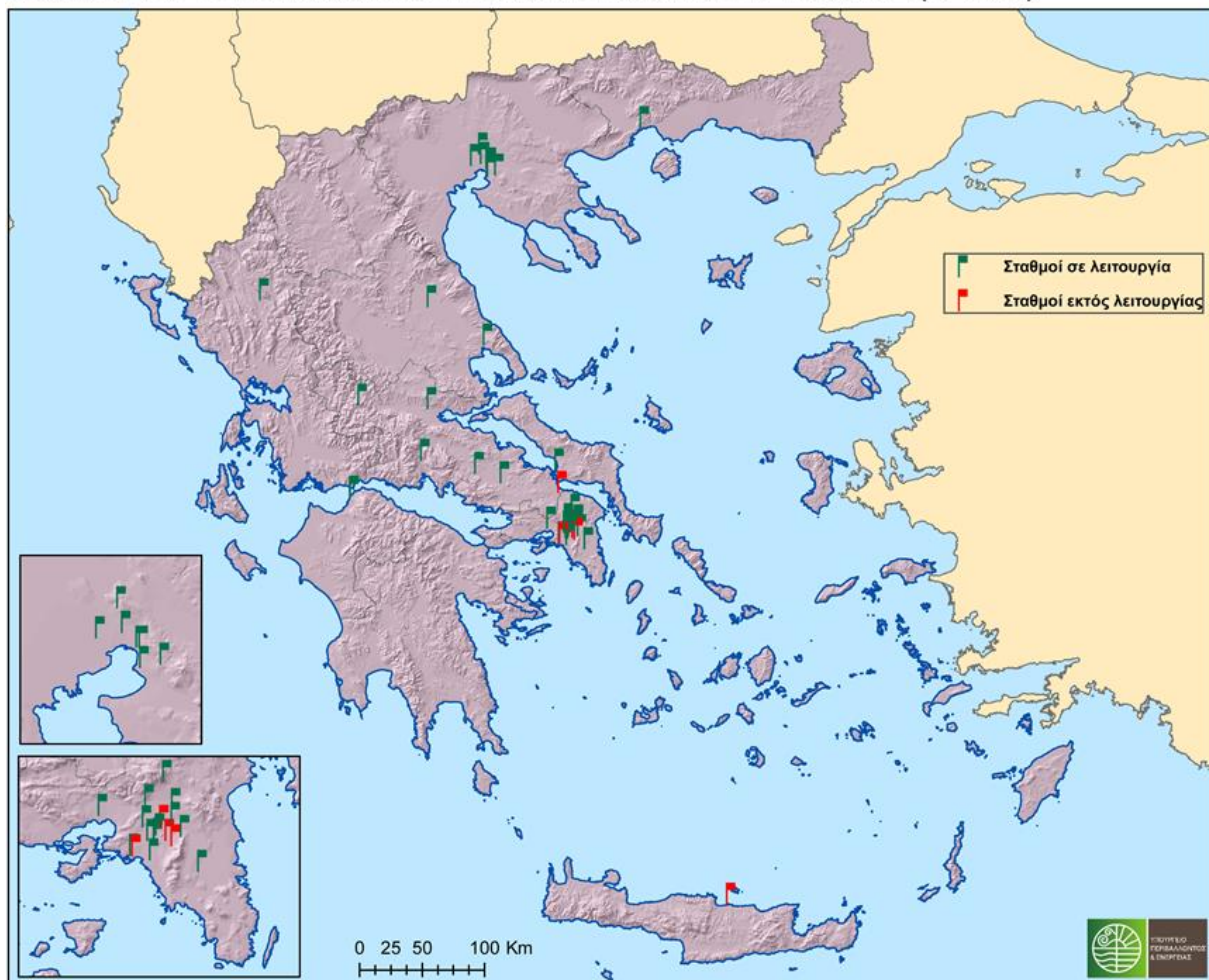
Ποσοστό Σωματιδίων θαλάσσιου άλατος στα αιωρούμενα σωματίδια



ΠΑΡΑΡΤΗΜΑ Χ

Χάρτης σταθμών μέτρησης ατμοσφαιρικής ρύπανσης του ΕΔΠΑΡ

ΕΘΝΙΚΟ ΔΙΚΤΥΟ ΠΑΡΑΚΟΛΟΥΘΗΣΗΣ ΑΤΜΟΣΦΑΙΡΙΚΗΣ ΡΥΠΑΝΣΗΣ (ΕΔΠΑΡ)



LIST OF CAPTIONS

1. TABLES

- 1.1 General characteristics of monitoring sites, operated by the Ministry of the Environment & Energy
- 1.2 Measured air pollutants and measurement methods.
- 4.1 Alert thresholds for initiation of short-term response measures
- 4.2. PM₁₀ concentration levels for short-term response measures
- 5.1 Comparison of annual mean PM₁₀ ($\mu\text{g}/\text{m}^3$) values with the respective limit value for each year
- 5.2 Comparison of annual mean NO₂ ($\mu\text{g}/\text{m}^3$) values with the respective limit value for each year
- 5.3 Number of days of exceedances O₃ target value for the protection of human health during 2016-2018

2. ANNEXES

- ANNEX I. Main air pollutants
- ANNEX II. Temporal variation of mean annual values of air pollutants at all monitoring sites
- ANNEX III. Variation of mean monthly values of pollutants at all stations for 2018
- ANNEX IV. Air quality limit and target values
- ANNEX V. Air pollution statistics for the year 2018 at monitoring sites
- ANNEX VI. Results of measurements at Enofyta site
- ANNEX VII. Results of measurements at Aliartos site (site used for the EMEP project)
- ANNEX VIII. Air pollution monitoring stations operated by regional authorities
- ANNEX IX Mapping air quality in the Greek territory
- ANNEX X Map of National Air Pollution Monitoring Network

3. FIGURES

- 1.1 Map of the greater Athens area showing the locations of air-pollution monitoring sites.
- 2.1 Temporal variation of mean annual CO values in mg/m^3
- 2.2 Temporal variation of mean annual SO₂ values in $\mu\text{g}/\text{m}^3$
- 2.3 Temporal variation of mean annual C₆H₆ values in $\mu\text{g}/\text{m}^3$
- 2.4 Temporal variation of mean annual NO values in $\mu\text{g}/\text{m}^3$
- 2.5 Temporal variation of mean annual NO₂ values in $\mu\text{g}/\text{m}^3$
- 2.6 Temporal variation of mean annual O₃ values in $\mu\text{g}/\text{m}^3$
- 2.7 Temporal variation of mean annual PM₁₀ values in $\mu\text{g}/\text{m}^3$
- 2.8 Temporal variation of mean annual PM_{2.5} values in $\mu\text{g}/\text{m}^3$
- 2.9 Monthly variation of CO values at Patission site during 2018
- 2.10 Monthly variation of SO₂ values at Piraeus site during 2018
- 2.11 Monthly variation of O₃ values at Ag. Paraskevi site during 2018
- 2.12 Monthly variation of NO₂ values at Patission site during 2018

- 2.13 Monthly variation of NO values at Patission site during 2018
- 2.14 Monthly variation of PM₁₀ values at Aristotelous site during 2018
- 2.15 Monthly variation of PM_{2,5} values at Aristotelous site during 2018
- 2.16 Monthly variation of C₆H₆ values at Patission site during 2018
- 2.17 Daily variation of CO, NO, NO₂, SO₂, C₆H₆ at Patission site, PM₁₀ PM_{2,5} at Aristotelous site, O₃ at Ag. Paraskevi during 2018
- 2.18 Hourly variation of CO values at Patission site during 2018
- 2.19 Hourly variation of SO₂ values at Piraeus site during 2018
- 2.20 Hourly variation of NO values at Patission site during 2018
- 2.21 Hourly variation of C₆H₆ values at Patission site during 2018
- 2.22 Hourly variation of NO₂ values at Patission site during 2018
- 2.23 Hourly variation of O₃ values at Ag. Paraskevi site during 2018
- 2.24 Hourly variation of PM₁₀ values at Aristotelous site during 2018
- 2.25 Hourly variation of PM_{2,5} values at Aristotelous site during 2018
- 3.1 Frequencies (percentage) of wind directions at Patission site for 2018
- 3.2 Rose of mean wind speed (m/sec) per direction at Patission site for 2018
- 3.3 Pollution rose of NO₂ (µg/m³) at Patission site for 2018
- 3.4 Pollution rose of O₃ (µg/m³) at Thrakomakedones site for 2018
- 3.5 Pollution rose of CO (mg/m³) at Patission site for 2018
- 3.6 Pollution rose of NO (µg/m³) at Patission site for 2018
- 3.7 Pollution rose of SO₂ (µg/m³) at Elefsina site for 2018
- 3.8 Pollution rose of PM₁₀ (µg/m³) at Lykovrisi site for 2018
- 3.9 Pollution rose of PM_{2,5} (µg/m³) at Lykovrisi site for 2018
- 3.10 Pollution rose of benzene (µg/m³) at Patission site for 2018
- 5.1 Number of days of daily values of PM₁₀ exceeding the value of 50 µg/m³, for each monitoring site during 2018
- 5.2 Number of hourly values of O₃, exceeding the value of 180 µg/m³, for each monitoring site during 2018

SUMMARY

The greater Athens area, like most metropolitan areas in the world, has air pollution problems. These problems are the result of high population density and the accumulation of major economic activities in the region, while the intense sunshine contributes to the high levels of photochemical air pollution especially during the summer months. The air pollution problems are often exacerbated by factors that favour the accumulation of air pollutants over the city, such as, topography (basin surrounded by mountains), narrow and deep street canyons and adverse meteorological conditions such as temperature inversions, low wind speed, high temperature, extensive periods of dryness e.t.c .

The main characteristics of the air pollution in Greece for 2018 can be summarised as follows:

- The temporal variation of the measured air pollutant concentrations in the greater Athens area, since 1984, shows a general decline of the concentrations of certain air pollutants. This decrease is mainly observed in the concentrations of the primary air pollutants, such as CO and SO₂.
- The main air pollution problem in Athens is tropospheric ozone, a product of the combination of intense sunshine with considerable emissions of ozone precursors.
- Particulate matter with aerodynamic diameter less than 10µm (PM₁₀) violate 24h limit value for some monitoring stations mainly due to Saharan dust events.
- Benzene exceed the limit value at one kerb site.
- Concentration values of SO₂, NO₂, and CO are higher at the downtown monitoring sites, while for O₃, typically higher values are observed at the suburban sites. Topography and low mixing - layer height combined with southwestern local winds of low speed (sea breeze) in Athens often result in ozone accumulation in the northern and north-eastern suburbs, especially during the summertime afternoon hours .
- NO₂ exceedances of the annual limit value were observed at kerb sites.
- SO₂ and CO concentrations during the winter period are higher than those during summer period. The maximum CO values coincide with traffic peaks.